

BACHELORTHESIS  
Fabian Mahler

# Optische Datenkommunikation im Batteriemodul von Elektrofahrzeugen

---

FAKULTÄT TECHNIK UND INFORMATIK  
Department Informations- und Elektrotechnik

Faculty of Computer Science and Engineering  
Department of Information and Electrical Engineering

Fabian Mahler

# Optische Datenkommunikation im Batteriemodul von Elektrofahrzeugen

Bachelorarbeit eingereicht im Rahmen der Bachelorprüfung  
im Studiengang *Bachelor of Science Elektro- und Informationstechnik*  
am Department Informations- und Elektrotechnik  
der Fakultät Technik und Informatik  
der Hochschule für Angewandte Wissenschaften Hamburg

Betreuender Prüfer: Prof. Dr.-Ing. Karl-Ragmar Riemschneider  
Zweitgutachter: Prof. Dr. Pawel Adam Buczek

Eingereicht am: 30. September 2021

**Fabian Mahler**

**Thema der Arbeit**

Optische Datenkommunikation im Batteriemodul von Elektrofahrzeugen

**Stichworte**

Mikrocontroller, Datenübertragung, Kommunikation, IrDA, UART, Funktionsaufbau, Batteriezelle, Batteriemodul, Lichtleitkörper, IrDA-Transceiver, IrDA-SIR, Matlab, C-Quellcode, Sensoren

**Kurzzusammenfassung**

Die vorliegende Arbeit befasst sich mit den Thematiken der optischen Datenkommunikation mittels Infrarot-Transceiver-Modulen und eines Lichtleitkörpers. Es wird ein Funktionsaufbau konstruiert, der sich an den Abmessungen einer realen Fahrzeugbatterie orientiert. Die Datenübertragung ist eine Anlehnung an die IrDA-SIR-Spezifikation. Die Kommunikation erfolgt nach dem Master-Slave Prinzip. Für die Konzeption des Übertragungsprotokolls werden reale Datenmengen betrachtet und evaluiert.

---

**Fabian Mahler**

**Title of Thesis**

Optical data communication in the battery module of electric vehicles

**Keywords**

microcontroller, data transfer, communication, IrDA, UART, function model, battery cell, battery module, light conductor, IrDA transceiver, IrDA SIR, Matlab, c source code, sensors

**Abstract**

The present thesis deals with the topics of optical data communication by means of infrared transceiver modules and a light conductor. A function model is designed that is based on the dimensions of a real vehicle battery. The data transmission is based on the IrDA-SIR specification. Communication takes place according to the master slave principle. Real data amounts are considered and evaluated for the conception of the transmission protocol.

# Inhaltsverzeichnis

<b>1</b>	<b>Einführung</b>	<b>1</b>
1.1	Ausgangssituation . . . . .	1
1.2	Zielsetzung . . . . .	2
<b>2</b>	<b>Grundlagen und Vorarbeiten</b>	<b>4</b>
2.1	Vorarbeiten . . . . .	4
2.1.1	Übertragung mit Hilfe von elektrischen Leitern . . . . .	5
2.1.2	Übertragung mit Hilfe von Power-Line-Communication . . . . .	6
2.1.3	Übertragung mit Hilfe von elektromagnetischen Radiowellen . . . . .	7
2.1.4	Übertragung mit Hilfe von einem Lichtleitkörper . . . . .	8
2.1.5	Vergleich der Ansätze der Datenübertragung . . . . .	9
2.2	IrDA . . . . .	10
2.2.1	Einführung . . . . .	10
2.2.2	IrDA Protocol Stack . . . . .	10
2.2.3	Datenübertragung . . . . .	12
2.2.4	IrDA-Hardware . . . . .	12
2.3	Komponenten . . . . .	14
2.3.1	Mikrocontroller . . . . .	14
2.3.2	Batteriezellencontroller . . . . .	15
2.3.3	Überwachungsmodul . . . . .	16
2.3.4	Lichtleitkörper . . . . .	16
<b>3</b>	<b>Konzeption</b>	<b>18</b>
3.1	Datenübertragung . . . . .	18
3.1.1	Master-Slave-Prinzip . . . . .	18
3.1.2	Adressierung . . . . .	18
3.1.3	Synchronisierung . . . . .	20
3.1.4	Kalibrierung des Systemtakts . . . . .	21

3.1.5	Übertragungsprotokoll . . . . .	24
3.2	Konzeption des Funktionsdemonstrators . . . . .	31
<b>4</b>	<b>Entwicklung und Implementierung</b>	<b>35</b>
4.1	Konstruktion des Funktionsdemonstrators . . . . .	35
4.2	Controllersoftware . . . . .	37
4.2.1	Software des Batteriezellen- und Batteriemodulcontrollers . . . . .	37
4.3	PC Software zur Steuerung und Visualisierung . . . . .	43
<b>5</b>	<b>Test und Erprobung</b>	<b>46</b>
5.1	Funktionstest . . . . .	46
5.1.1	Software Batteriezellencontroller . . . . .	46
5.1.2	Software Batteriemodulcontroller . . . . .	46
5.1.3	PC Software zur Steuerung und Visualisierung . . . . .	47
5.1.4	Gesamtes Messsystems . . . . .	47
5.2	Auswertung . . . . .	48
<b>6</b>	<b>Zusammenfassung</b>	<b>49</b>
6.1	Bewertung der Thesis . . . . .	49
6.2	Offene Punkte und Ausblick . . . . .	50
	<b>Literaturverzeichnis</b>	<b>51</b>
<b>A</b>	<b>Anhang</b>	<b>53</b>
A.1	Prüfprotokolle . . . . .	53
A.1.1	Batteriezellencontroller . . . . .	53
A.1.2	Batteriemodulcontroller . . . . .	54
A.1.3	PC Software zur Steuerung und Visualisierung . . . . .	55
A.2	Konfiguration . . . . .	56
A.2.1	APP Abhängigkeit der DAVE-APPs des Batteriemodulcontrollers . . . . .	56
A.2.2	Hardwaresignalverbindungen der DAVE-APPs des Batteriemodul- controllers . . . . .	57
A.2.3	Konfiguration der DAVE-APPs des Batteriemodulcontrollers . . . . .	58
A.3	Quelltexte . . . . .	61
A.3.1	Quelltexte Batteriemodulcontroller . . . . .	61
A.3.2	Quelltext Matlab . . . . .	112

**Selbstständigkeitserklärung**

**124**

# 1 Einführung

## 1.1 Ausgangssituation

Elektrofahrzeuge werden weltweit immer beliebter als Alternative zu Verbrennungsmotoren. Die Gründe hierfür sind sehr vielfältig. Im Fokus stehen dabei Nachhaltigkeitsbewusstsein, staatliche Subventionen und steuerliche Vorteile sowie weniger anfallende Kosten pro gefahrenem Kilometer.

Die anfänglichen Nachteile, wie etwa eine geringe Reichweite und oder eine lange Ladezeit der Akkumulatoren, konnten in den vergangenen Jahren durch innovative Lösungen deutlich verbessert werden. So sind die aktuellen Reichweiten von Elektrofahrzeugen für den Nahbereich ausreichend, für Langstrecken ist jedoch noch Spielraum nach oben.

Die Komplexität, der in einem Elektrofahrzeug installierten Technik, ist dabei deutlich höher, als in einem vergleichbarem Fahrzeug mit Verbrennungsmotor. Die Leistungselektronik, die für den Antrieb benötigt wird, wird nach aktuellem Stand mit Lithium-Ionen-Batterien realisiert. Ein Batteriemodul besteht dabei aus mehreren verschalteten Batteriezellen. In einem BMW i3 sind so beispielsweise 96 Batteriezellen in 8 Batteriemodulen mit einer Gesamtsystemspannung von 360 Volt verbaut [9].

Für die Funktionalität eines Elektrofahrzeuges ist es notwendig, dass Daten von den Batteriezellen abgefragt werden können. Die Steuerelektronik benötigt beispielsweise Informationen über den Ladestand, die Temperatur der Zelle, die Leistungsabfrage uvm.

Die Übertragung der benötigten Daten, kann mittels diverser Ansätze realisiert werden. Aktueller Stand der Technik ist eine Übertragung mittels elektrischer Leitungen. Es gibt dabei noch andere Ansätze der Datenübertragung, etwa die Datenübertragung mittels elektromagnetischer Strahlung und der optischen Übertragung, die im Abschnitt 2.1 genauer untersucht werden, mit Darstellung der jeweiligen Vor- und Nachteile.

Im folgenden Abschnitt werden die Ziele dieser Arbeit definiert.



## 1.2 Zielsetzung

Ziel dieser Arbeit ist es, einen Laboraufbau auf Basis von Vorarbeiten zu entwickeln. Dazu gehört die Optimierung des Lichtleitkörpers durch Simulation und Labormuster, die Entwicklung und der Aufbau von Zellcontrollerplatinen, die Neuentwicklung des Modulcontrollers und der Entwurf entsprechender Controller- und Auswertesoftware.

Als Teilaufgabe soll eine Implementierung eines Datenformats erfolgen. Dieses soll die Aufgaben der Synchronisation, Addressierung, Datenübertragung und Fehlersicherung umfassen. Hierbei ist auf eine effiziente Nutzung der verfügbaren Datenrate zu achten. Als übergeordneter Teil soll eine Abschätzung des Datenvolumen im Modul erfolgen. Dem soll gegenübergestellt werden, welche Datenraten im IrDA-Format praktisch umsetzbar sind.

Anhand des entstehenden Laboraufbaus sollen wichtige Fragesellungen für die zukünftige Anwendung erarbeitet werden. Dazu gehören beispielsweise Abschätzungen der Sendeleistung und der mechanischen Toleranzen, dazu Aussagen zu Einflussfaktoren auf die Zuverlässigkeit der Übertragung.

Die folgende Übersicht zeigt die Inhalte dieser Thesis mit Entwicklungsstand.

	Theoretische Überlegung	Konzeptionell	Implementiert
Funktionsdemonstrator			
Betrachtung von Zeitverhalten und Synchronität			
Fehlersicherungskonzepte bei der Datenübertragung			
Abschätzung des Overhead des zu adaptierenden Übertragungsprotokolls			
Erweiterung der Batteriemodulcontrollersoftware um UDP-Schnittstelle			
PC-Software zur Visualisierung und Steuerung des Batteriemodulcontrollers			
Test der Komponenten und des gesamten Aufbaus			

Abbildung 1.1: Inhalte dieser Thesis mit Entwicklungsstand

## 2 Grundlagen und Vorarbeiten

### 2.1 Vorarbeiten

In diesem Abschnitt der Thesis wird auf die Vorarbeiten zu der gegebenen Thematik eingegangen.

Die Vorarbeiten dieser Thesis beschäftigen sich mit der Fragestellung, wie die Übertragung von Informationen zwischen einem Batteriezellencontroller und einem Hauptsteuergerät in einer Batterie eines Elektrofahrzeugs realisiert werden kann.

Wichtige Aspekte dabei sind die Robustheit, Störsicherheit und Realisierbarkeit des jeweiligen Kommunikationsansatzes.

### 2.1.1 Übertragung mit Hilfe von elektrischen Leitern

Bei dieser Art der Kommunikation handelt es sich um das Daisy-Chain Prinzip. Hier sind die Busteilnehmer in einer Kette seriell miteinander verbunden. Die Busteilnehmer beziehungsweise Module besitzen dabei jeweils einen Eingang, an dem der vorgeschaltete Busteilnehmer angeschlossen ist und einen Ausgang an den der nachfolgende Busteilnehmer angeschlossen ist. Potenzialtrennende Komponenten der Zellcontroller dienen der Verbindung des Datenbusses mit den Zellcontrollern und des Hauptsteuergeräts.

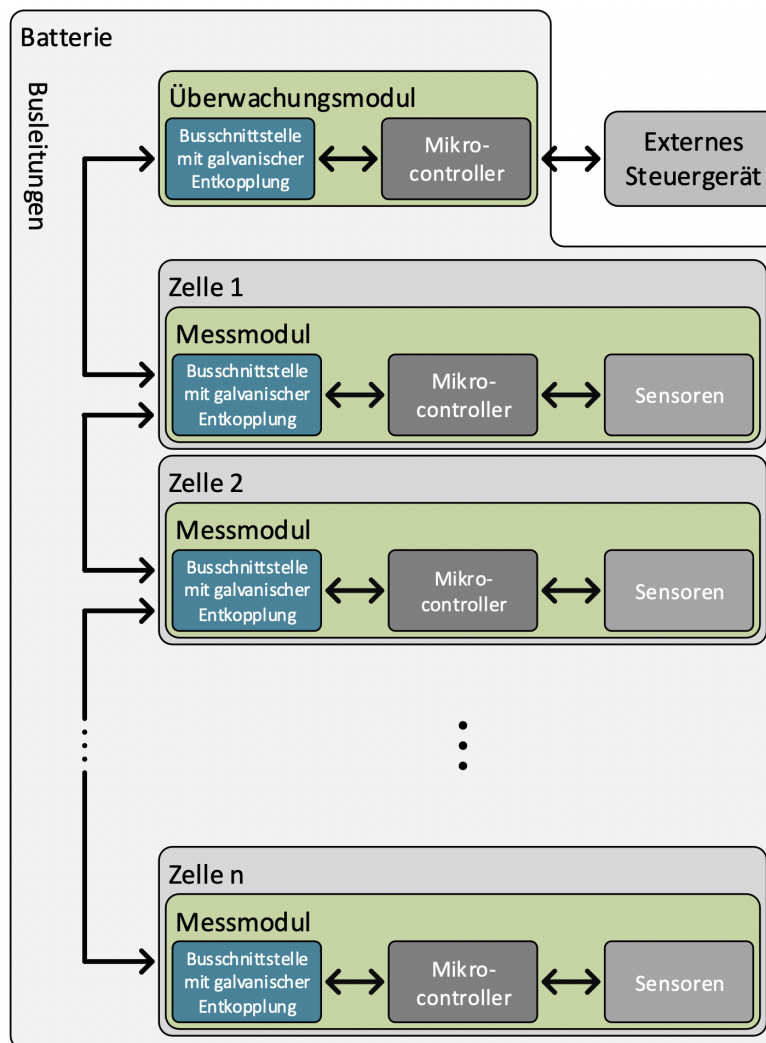


Abbildung 2.1: Aufbau Kommunikation der Busteilnehmer mittels Daisy-Chain Topologie [8, S. 3]

### 2.1.2 Übertragung mit Hilfe von Power-Line-Communication

Bei der Datenübertragung mit Hilfe der Power-Line-Communication (PLC) wird die Hauptstromleitung der Batterie als Übertragungsmedium verwendet. Das Datensignal kann von den Busteilnehmern kapazitiv oder induktiv ein- und ausgekoppelt werden.

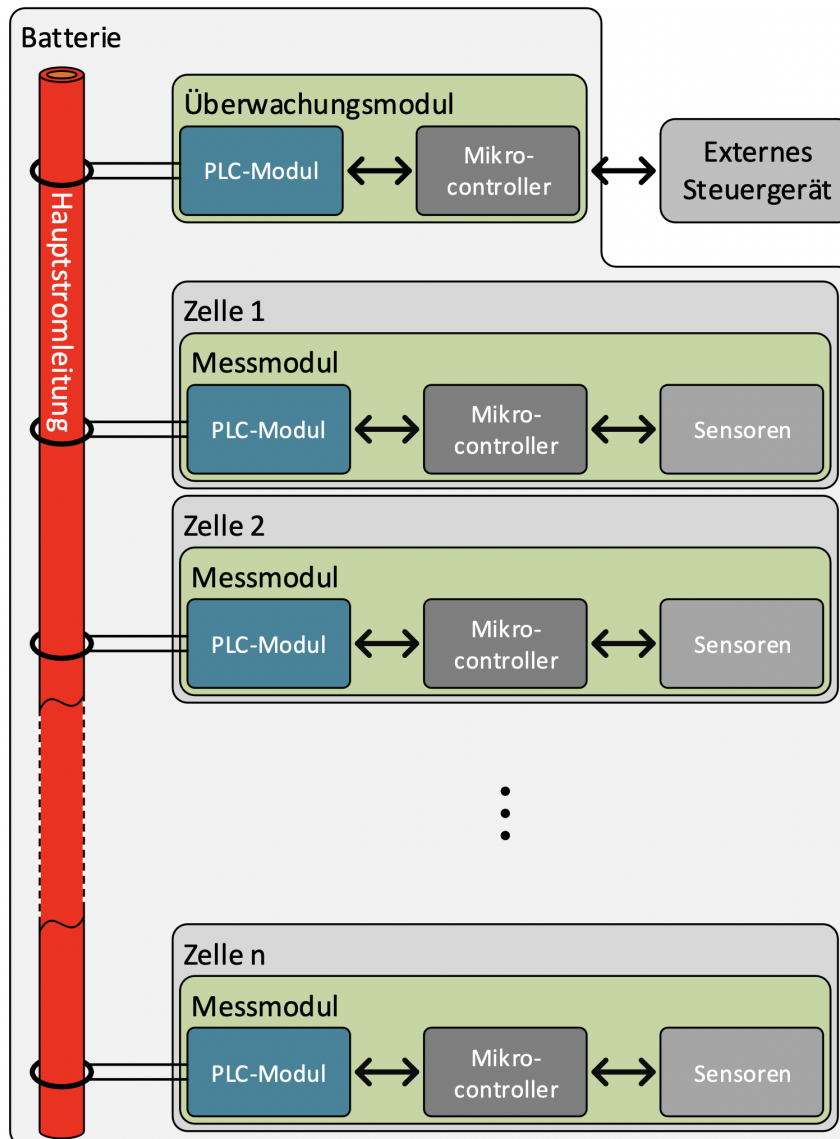


Abbildung 2.2: Aufbau Kommunikation der Busteilnehmer mittels Power-Line-Communication Topologie [8, S. 4]

### 2.1.3 Übertragung mit Hilfe von elektromagnetischen Radiowellen

Bei dieser Art der Datenübertragung werden die Daten mit Hilfe von elektromagnetischen Radiowellen übertragen. Die Zellcontroller sowie das Hauptsteuergerät sind dabei mit einer Antenne ausgestattet, die zum Senden und Empfangen der Daten benötigt wird.

Diese Thematik wird umfassend im Rahmen einer Bachelor- und Masterthesis von Nico Sassano bearbeitet [10] [11].

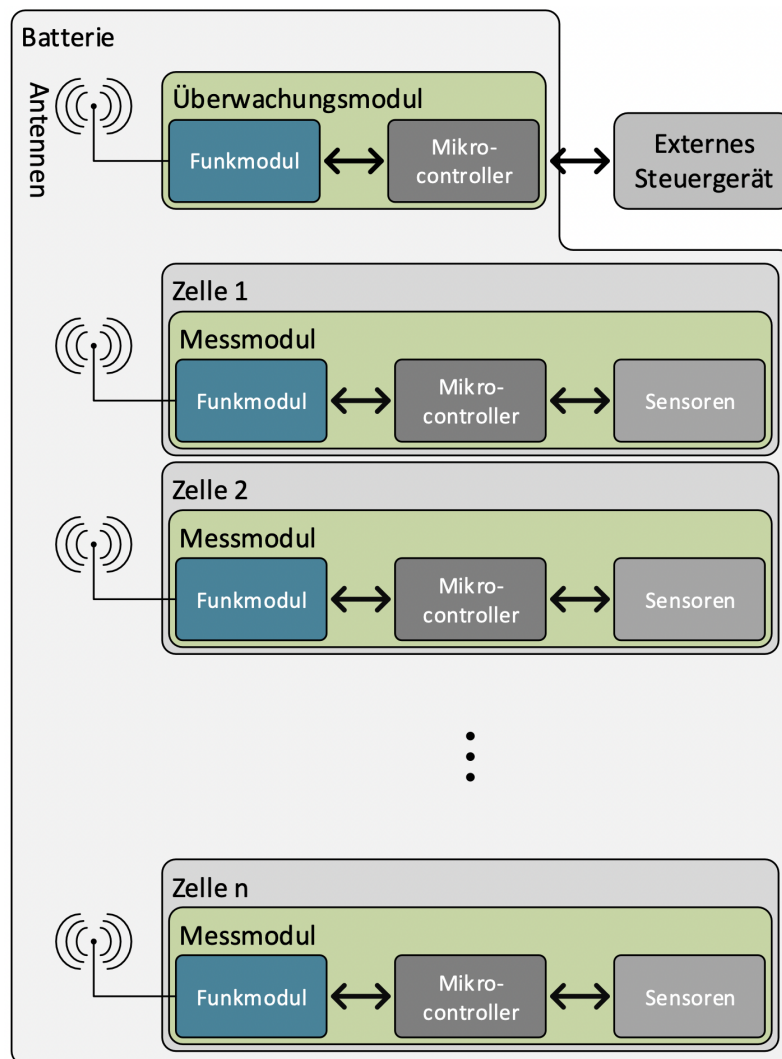


Abbildung 2.3: Aufbau Kommunikation der Busteilnehmer mit Hilfe elektromagnetischer Radiowellen [8, S. 5]

### 2.1.4 Übertragung mit Hilfe von einem Lichtleitkörper

Bei dieser Art der Datenübertragung werden die Daten mittels Lichtimpulsen auf einen Lichtleitkörper gegeben. Die Busteilnehmer sind mit Infrarotdioden an den Lichtwellenleiter gekoppelt, die zum Senden und Empfangen der Lichtimpulse dienen.

Diese Thematik wird im Rahmen einer Bachelorthesis von Jonas Ernsting [8] behandelt und dient als Ausgangspunkt für diese Thesis.

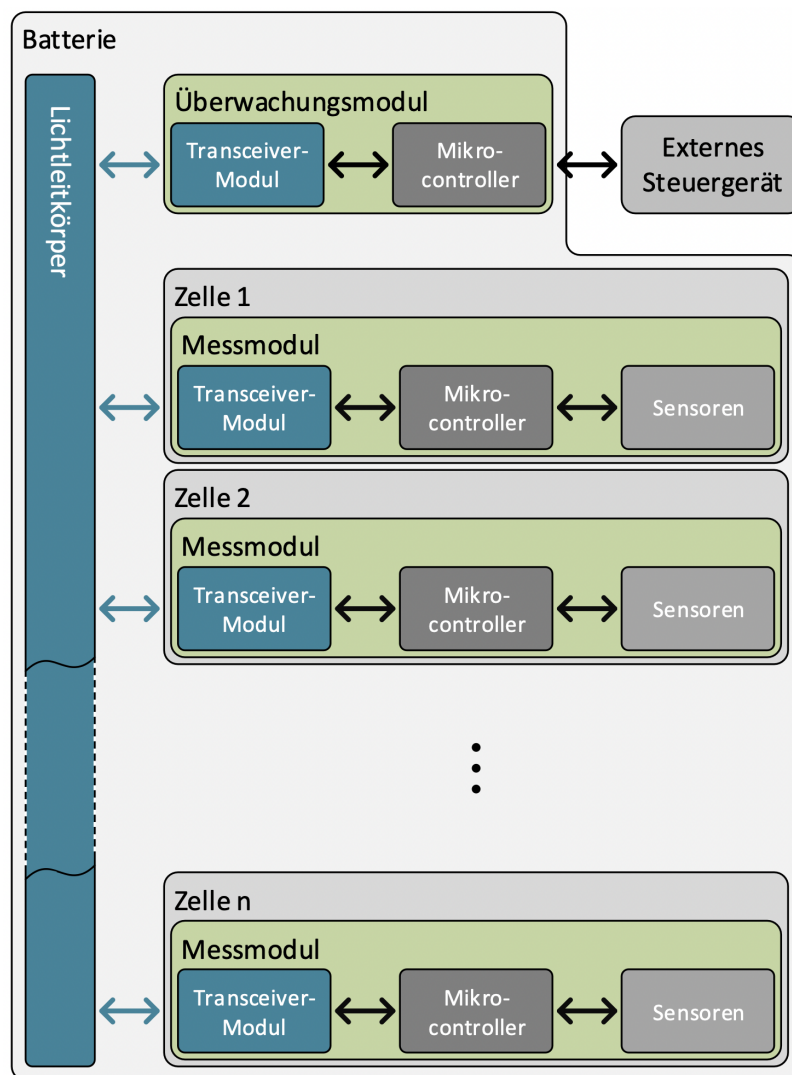


Abbildung 2.4: Aufbau Kommunikation der Busteilnehmer mit Hilfe eines Lichtleitkörpers [8, S. 6]

### 2.1.5 Vergleich der Ansätze der Datenübertragung

Grundlegend betrachtet, besitzt jeder Ansatz der Datenübertragung seine spezifischen Vor- und Nachteile. Diese werden nachfolgend qualitativ bewertet und gegenübergestellt.

Der größte Vorteil der Daisy-Chain Topologie ist seine einfache Implementierbarkeit. Es werden für jeden Busteilnehmer zwei Leitungen benötigt, um eine Busanbindung zu realisieren. Ein Nachteil hingegen ist ein nicht-dynamisches Prioritätsschema, das die Priorität der Busteilnehmer regelt.

Die Übertragung mit Hilfe der Power-Line-Communication hat den Vorteil, dass keine zusätzlichen Leitungen benötigt werden. Da die Daten ein- und ausgekoppelt werden, muss auf EMV-Einflüsse geachtet werden.

Der Ansatz der Übertragung mit elektromagnetischen Wellen besitzt den Vorteil, dass er sich durch eine gute Erweiterbarkeit des virtuellen Busses auszeichnet, da neue Busteilnehmer nicht wie bei den anderen Ansätzen verdrahtet werden müssen. Ebenfalls hier sind EMV-relevante Aspekte bei der Implementierung zu berücksichtigen.

Die Datenübertragung über einen Lichtleitkörper bietet den Vorteil, dass der Bus galvanisch getrennt ist von den Busteilnehmern. Ebenfalls sind EMV-relevante Aspekte hier nicht vorhanden. Zu den Nachteilen gehören hier Störanfälligkeiten durch Ablagerungen von Staub und Dreck, sowie die eventuelle Funktionsbeeinträchtigung durch Kondensatbildung. Weitere relevante Aspekte dieses Ansatzes sind Gegenstand dieser Thesis.

Zusammenfassend betrachtet, lässt sich sagen, dass für die Implementierung in einem Elektrofahrzeug mehrere Aspekte in Hinsicht auf Störanfälligkeit, Robustheit, und Implementierbarkeit zu beachten sind. So ist davon auszugehen, dass in einem Elektrofahrzeug die Störanfälligkeit durch EMV-Einflüsse sehr hoch ist. Zudem muss bei der Implementierung eines Ansatzes auf mechanische Belastbarkeit, beziehungsweise Robustheit geachtet werden. Sonstige Einflüsse wie Temperatureinfluss, Kondensatentwicklung oder Verschmutzung der Komponenten sind ebenfalls zu betrachten.

Darüber hinaus muss darauf geachtet werden, dass der Installationsaufwand in einem definierten Rahmen bleibt. Das heißt, dass Komponenten ohne großen Aufwand installiert und gegebenenfalls einfach getauscht werden können, ohne dass zum Beispiel ein ganzes Batteriemodul entfernt werden muss.



## 2.2 IrDA

### 2.2.1 Einführung

IrDA (Infrared Data Association) ist ein Verbund von Unternehmen, die sich mit der Standardisierung von Infrarottransceivern und Protokollspezifikationen auseinandersetzen. Ziel ist die Schaffung eines kostengünstigen, energiesparenden halbduplex Übertragungsstandard für Infrarottransceiver.

### 2.2.2 IrDA Protocol Stack

Der IrDA Protocol Stack ist vergleichbar mit dem OSI-Referenzmodell für Netzwerkprotokolle. In der folgenden Abbildung dargestellt ist der IrDA Protocol Stack.

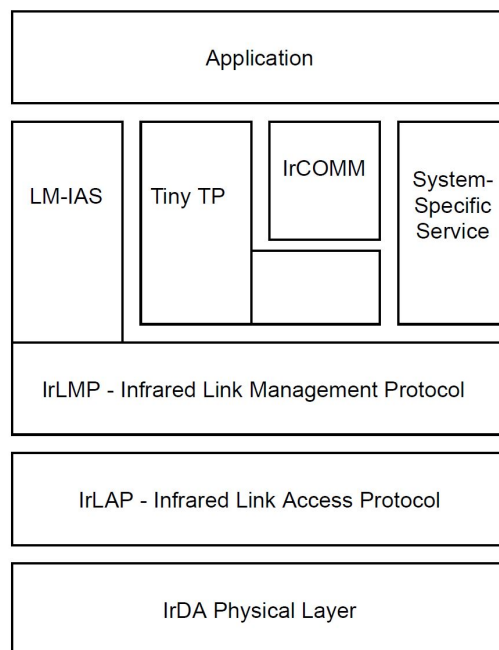


Abbildung 2.5: Aufbau des IrDA Protocol Stack, modifiziert nach: [12, S. 21]

Der unterste Layer des Protocol Stack besteht aus dem IrDA-Physical-Layer. In diesem Layer sind die Informationen über Übertragungsgeschwindigkeit, Modulation und Codierung definiert. Die folgende Tabelle fasst diese Informationen zusammen.

Bezeichnung	Datenrate	Modulation	Codierung
Serial Infrared SIR	9.6 kbit/s bis 115.2 kbit/s	RZI 3/16 Pulse	16 Bit CRC-CCIT
Medium Infrared MIR	0.576 Mbit/s bis 1.152 Mbit/s	RZI 1/4 Pulse	16 Bit CRC-CCIT
Fast Infrared FIR	4 Mbit/s	4 PPM	32 Bit CRC
Very Fast Infrared VFIR	16 Mbit/s	NRZI HHH(1,13)	32 Bit CRC
Ultra Fast Infrared UFIR	96 Mbit/s	NRZI 8B10B Code	32 Bit CRC
Giga IR	512 Mbit/s und 1Gbit/s	2- bzw. 4 ASK	32 Bit CRC

Tabelle 2.1: Übersicht: Übertragungsraten im IrDA-Physical-Layer mit Modulation und Codierung

Für eine Verbindung mit UART-Schnittstellen wird das Serial-Infrared verwendet, da dieses äquivalente Übertragungsraten aufweist.

Die zweite Schicht der IrDA-Protocol-Stack bildet das Infrared-Link-Access-Protocol. IrLAP ist eine Adaption des High-Level Data Link Control (HDLC), welches ein normiertes Netzwerkprotokoll der OSI-Referenzmodellschicht 2 zuzuordnen ist. Die Aufgabe des IrLAP ist es, Kommunikationspartner zu ermitteln, die Zugriffskontrolle zu regeln, Adresskonflikte zu lösen, den Verbindungs- und Informationsaustausch zu initiieren und die Trennung zu verwalten. Die nächste Abbildung zeigt das Funktionsprinzip des IrLAP.

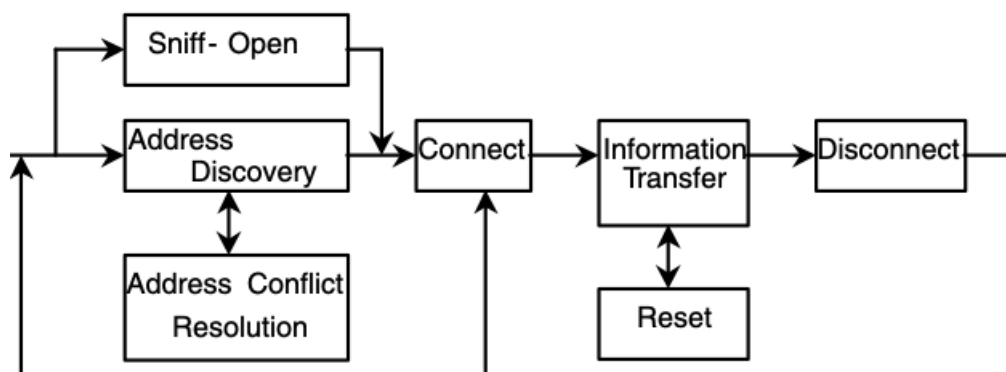


Abbildung 2.6: Funktionsweise des IrLAP [12, S. 21]

Zu Beginn des Verbindungsaufbaus wird nach verfügbaren Kommunikationsteilnehmern gesucht (Sniffing). Parallel dazu werden die Adressen der potenziellen Teilnehmer überprüft. Bei Auftreten eines Adressierungsfehlers, wird eine Adressenskonfliktlösung initiiert. Nach der erfolgreichen Verbindung mit einem Kommunikationspartner beginnt der Datentransfer. Während der Datenübertragung ist IrLAP für Fehlererkennung, erneute

Übertragung und Datenflusskontrolle verantwortlich. Zuletzt wird die aktive Verbindung getrennt.

Die dritte Schicht des IrDA-Protocol-Stack besteht aus dem Infrared-Link-Management-Protocol. Die Aufgaben des IrLAP sind die Verwaltung der verfügbaren Anwendungen und Funktionen zwischen den kommunizierenden Endgeräten. Darüber hinaus wird die fehlerfreie Datenübertragung überwacht. Zudem stellt das IrLAP Funktionen zum Multiplexen bereit, sodass mehrere Geräte gleichzeitig Daten senden und empfangen können.

Die übergeordneten Schichten des IrDA-Protocol-Stack werden hier nicht weiter erläutert.

### 2.2.3 Datenübertragung

Die IrDA-Datenübertragung verwendet am häufigsten eine USB-zu-UART oder die serielle Schnittstelle eines Mikrocontrollers. Die angestrebte Übertragungsgeschwindigkeit beträgt 115.2 kbit/s (SIR), die ebenfalls die maximale Übertragungsgeschwindigkeit von UART ist. Die verwendete Wellenlänge für die Übertragung beträgt 850 nm bis 900 nm.

### 2.2.4 IrDA-Hardware

In diesem Abschnitt wird auf die für diese Thesis relevante IrDA-Hardware eingegangen. Dabei handelt es sich um den TFDU4101 von Vishay Semiconductors [13], der zum Senden und Empfangen der Infrarot Lichtimpulse verwendet wird. Dieser ist in der folgenden Abbildung dargestellt.

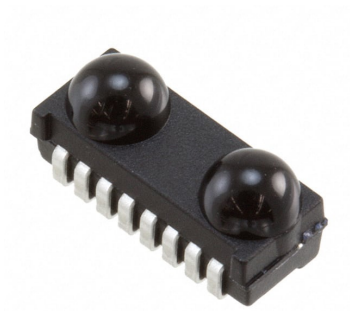


Abbildung 2.7: Infrarot Transceiver-Modul TFDU 4101 von Vishay Semiconductors [7]

Dieser Transceiver ist für Serial Infrared konzipiert mit einer Übertragungsrate von 115.2 kbit/s. In das Gehäuse integriert sind eine Foto-Diode zum Empfangen von Daten, ein Infrarot-Emitter (IRED) zum Senden von Daten und ein energiesparender Steuer-IC. Aufgrund der verwendeten internen Hardware sind Übertragungsrreichweiten von über einen Meter ohne Lichtleitkörper erzielbar.

## 2.3 Komponenten

### 2.3.1 Mikrocontroller

Im Rahmen dieser Thesis werden Mikrocontroller programmiert, die nach dem Master-Slave Prinzip miteinander kommunizieren. Es werden dabei der Infineon XMC 2Go und der Infineon XMC4700 verwendet. In den folgenden Abbildungen sind die Mikrocontroller abgebildet.



Abbildung 2.8: Mikrocontroller Infineon XMC 2Go [5]

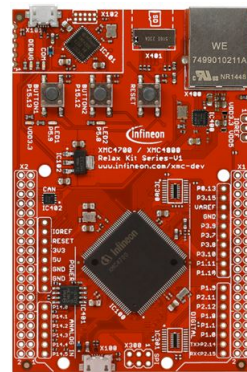


Abbildung 2.9: Mikrocontroller Infineon XMC4700 Relax Kit [6]

In Abbildung 2.8 dargestellt ist der XMC 2Go. Dieser wird später in einem Master-Slave-Netz als Slave eingesetzt. In Abbildung 2.9 dargestellt ist der XMC4700. Dieser Mikrocontroller wird später als Master eingesetzt und dient als Kommunikationsschnittstelle mit einem Computer. Der XMC4700 verfügt über eine RJ45-Ethernet-Schnittstelle, die für die Kommunikation mit einem Computer eingesetzt wird. Beide Mikrocontroller verfügen über einen ARM-Cortex-Prozessor mit ARM-Architektur.

### 2.3.2 Batteriezellencontroller

Für diese Arbeit wird im späteren Verlauf ein Funktionsdemonstrator auf Basis der Vorarbeit von Jonas Ernsting [8] konstruiert. Die Aufgabe des Funktionsdemonstrators ist es, einen Batterieblock mit zwölf Batteriezellen zu simulieren. Für die Batteriezellen wird ein Batteriezellencontroller entwickelt, der beispielhaft Sensordaten, wie etwa Batterietemperatur, Leistungsabruf, Ladestand usw., mit zwei Potentiometern abrufen und anschließend an den Mastercontroller übermittelt. Auf dem Batteriezellencontroller befindet sich ein XMC 2Go, der die Daten verwaltet. Nachfolgend dargestellt ist der Batteriezellencontroller.

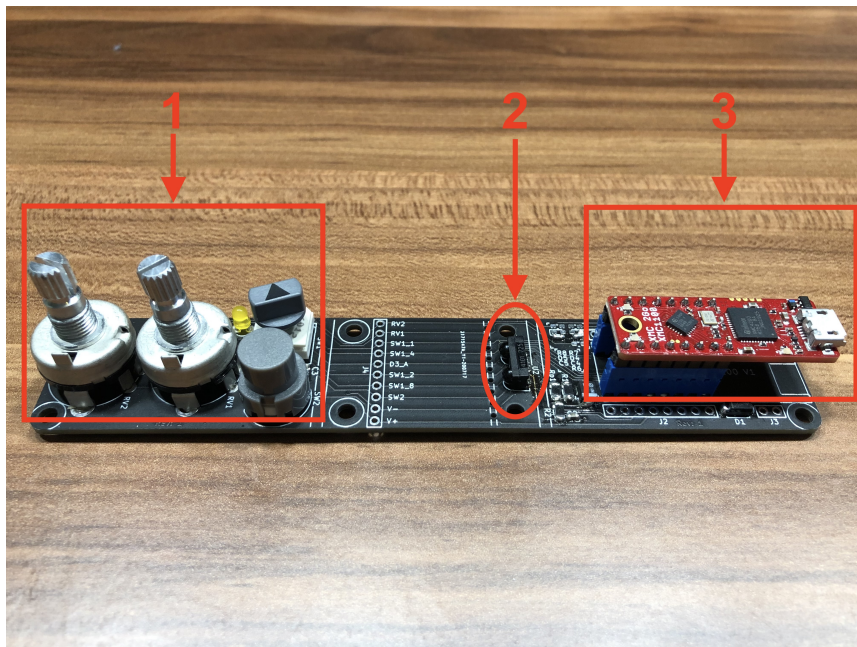


Abbildung 2.10: Batteriezellencontroller für den Funktionsdemonstrator. 1 Zeigt die Bedienelemente zur Simulation von Sensorwerten, 2 zeigt den IrDA-Transceiver, 3 zeigt den Mikrocontroller

Auf der Platine des Batteriezellencontrollers ist rechts der XMC 2Go Mikrocontroller zu erkennen (Nummer 3 im Bild). Mittig auf der Platine, vor dem XMC 2Go, ist der IrDA Transceiver zu erkennen (Nummer 2 im Bild) . Darüber hinaus sind links auf der Platine die zwei Potentiometer zu erkennen, mit denen beispielhafte Sensorwerte an den Mikrocontroller übergeben werden können. Ebenfalls befindet sich ein hexadezimaler Kodierschalter auf der Platine, mit dem eine Absolutadresse eingestellt werden kann.

Diese dient später der Adressierung. Unter dem Kodierschalter ist ein Druckknopf zu erkennen. Mit dem Druckknopf kann eine Änderung der eingestellten Adresse mit dem Kodierschalter quittiert werden. Zuletzt befindet sich eine gelbe LED auf der Platine. Die LED dient als Aktivitätsanzeige (Alle Elemente befinden sich in Bereich 1 im Bild).

### 2.3.3 Überwachungsmodul

Das Überwachungsmodul dient dem Master als Kommunikationsschnittstelle mit den Batteriezellencontrollern. Die Platine besteht dabei aus der Basis der Batteriezellencontrollerplatine. Das Überwachungsmodul ist in der folgenden Abbildung dargestellt.

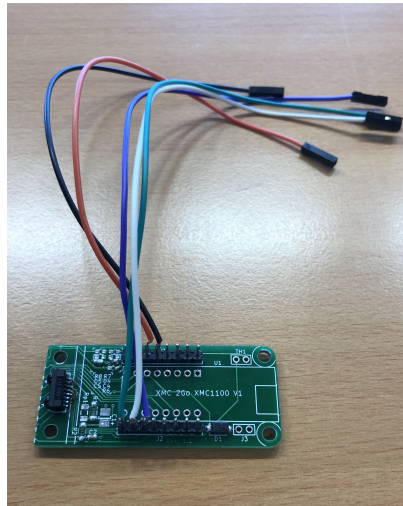


Abbildung 2.11: Überwachungsmodul als Schnittstelle für den Mastercontroller

Auf der Platine zu erkennen sind diverse Leitungen, die für die Kommunikation mit dem Mastercontroller dienen. Darüber hinaus ist vorne an der Platine ein TFDU4101 IrDA Transceiver angebracht, um mit den Batteriezellencontrollern kommunizieren zu können.

### 2.3.4 Lichtleitkörper

Da die Batteriezellencontroller über optische Signale miteinander kommunizieren sollen ist es essentiell, dass die Lichtsignale über ein Medium übertragen werden, damit alle Batteriezellencontroller miteinander verbunden sind. Zwar lassen sich mit dem

TFDU4101 Übertragungreichweiten von über einem Meter erreichen, dies setzt aber voraus, dass die Kommunikationspartner sich direkt sehen. Da die Batteriezellencontroller nebeneinander angeordnet werden, wären somit nicht mehr alle Controller ansprechbar. Demnach ist es erforderlich, dass es einen Lichtleitkörper gibt, der die optischen Signale an alle Batteriezellencontroller gezielt reflektiert. Der Lichtleitkörper ist in der folgenden Abbildung dargestellt.

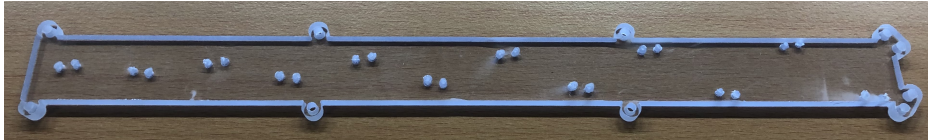


Abbildung 2.12: Lichtleitkörper als Datenbus, der dargestellte Lichtleitkörper basiert auf Basis von Reflexbohrungen

Der Lichtleitkörper besteht aus gefrästem Plexiglas und basiert auf dem Prinzip der Reflexbohrung. An den Stellen wo die IrDA-Transceiver platziert sind befinden sich jeweils zwei Bohrungen, die die Lichtimpulse so reflektieren, dass diese sich im Bereich der Linsen der Transceiver sammeln.

Im Rahmen der Vorarbeit [8] wurde ein Lichtleitkörper auf der Basis ausgerichteter Reflektorflächen entworfen, der für diese Arbeit verwendet wird. Der alternative Lichtleitkörper ist in der folgenden Abbildung zu erkennen.

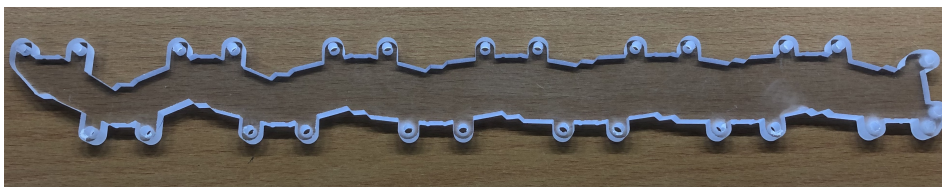


Abbildung 2.13: Lichtleitkörper auf der Basis von ausgerichteten Reflektorflächen



## 3 Konzeption

### 3.1 Datenübertragung

#### 3.1.1 Master-Slave-Prinzip

Die Mikrocontroller sind alle mittels der IrDA-Transceiverdioden an den Lichtleitkörper angebunden. Damit es auf dem Datenbus keine Datenkollisionen gibt, muss die geteilte Ressource durch ein hierarchisches Zugriffsverfahren aufgeteilt werden. Es gibt insgesamt 12 Batteriezellencontroller, die von einem übergeordneten Mikrocontroller gesteuert werden sollen. Es bietet sich daher an, die Kommunikation mittels Master-Slave-Prinzip zu realisieren. Der Master ist dabei der XMC4700 Controller, die Slavecontroller bestehen aus den steuerungs XMC 2Go Controllern auf dem Batteriezellencontroller. Dieser Controller übernimmt die Regelung des Zugriffs des Datenbusses. Ein großer Vorteil dieser Topologie ist, dass der Mastercontroller den Ressourcenzugriff verwaltet. Somit ist das Risiko der Datenkollision um einiges reduziert. Ein Nachteil dieser Topologie ist, dass die Slavecontroller untereinander nicht kommunizieren können.

Der Mastercontroller spricht einen Batteriezellencontroller an, der dann mit einer entsprechenden Antwort antwortet. Ein Batteriezellencontroller kann von sich aus nicht auf die geteilte Ressource zugreifen, bis er explizit vom Mastercontroller angesprochen wird.

#### 3.1.2 Adressierung

Wenn ein Datenpaket auf dem Datenbus gesendet wird, können alle Busteilnehmer dieses Datenpaket empfangen. Auf das Master-Slave-Prinzip bezogen bedeutet das, dass ein vom Mastercontroller gesendetes Datenpaket von jedem Batteriezellencontroller gelesen werden kann. Es ist somit notwendig, ein Datenpaket mit einer Empfangsadresse zu versehen. So wird sichergestellt, dass nur der Batteriezellencontroller die Nachricht empfängt, für den sie vorgesehen ist.

Dabei lassen sich verschiedene Ansätze der Adressierung realisieren. Zum einen gibt es den Ansatz der fixen Adressierung. Hier lassen sich die vergeben Adressen nach einmaliger Vergabe nicht mehr ändern. Ein anderer Ansatz sieht eine variable Adressierung vor. Bei diesem Ansatz lassen sich Adressen nach der Erstvergabe wieder ändern. Dies ließe sich zum Beispiel in der Steuersoftware implementieren, sodass von einem externen Steuergerät die Adressen der Batteriezellencontroller nachträglich geändert werden.

Eine variable Adressierung besitzt zudem den Vorteil, dass sich Batteriezellencontroller beliebig austauschen und umplatzieren lassen, ohne dass die Kommunikation durch eine Änderung der festen Adressen unterbrochen würde.

Der Adressbereich für diese Arbeit beschränkt sich auf 12 Busteilnehmer, den Mastercontroller eingeschlossen. Somit ist die Adressierung innerhalb eines halben Byte möglich:

$$2^4 = 16 \tag{3.1}$$

Es stehen nach Gleichung (3.1) 16 mögliche Adressen zur Verfügung. Diese sind in der folgenden Tabelle zusammengefasst mit entsprechender binärer Codierung.

<b>Modul</b>	<b>Adresse(n)</b>	<b>binäre Codierung</b>
Mastermodul	0	0000
Batteriezellencontroller 1 bis 12	1 bis 12	0001 bis 1100
Freie Adressen	13 bis 15	1101 bis 1111

Tabelle 3.1: Darstellung der Adressierung der einzelnen Module mit entsprechender binärer Codierung

Der Mastercontroller kann von den Batteriezellencontrollern mit der Adresse 0 angesprochen werden. Die Batteriezellencontroller können mit den binär codierten Adressen 1 ... 12 vom Mastercontroller angesprochen werden. Der Adressbereich 13 ... 15 ist nicht vergeben. Es ist denkbar eine Broadcastadresse zu implementieren, mit der alle Batteriezellencontroller gleichzeitig angesprochen werden können.

#### 3.1.3 Synchronisierung

Für die Datenübertragung zwischen einem Sender und einem Empfänger ist es notwendig, dass der Sender und der Empfänger synchronisiert sind. Wenn dies nicht gewährleistet ist, sind Bitfehler in der Übertragung die Folge und eine Auswertung der übertragenen Nachricht ist nicht mehr möglich.

Konkret hier bedeutet das, dass der Master beim Senden eines Datenpakets mit den Batteriezellencontrollern synchronisiert sein muss.

Die Kommunikation mit dem UART-Übertragungsprotokoll erfolgt seriell und asynchron. Das heißt, dass die zu übertragenden Daten nacheinander übertragen werden. Es wird zu Beginn einer Nachricht ein Startbit gesendet, mit dessen Hilfe dem Empfänger mitgeteilt wird, dass ein Datenpaket zu erwarten ist. Das Ende eines Datenpakets wird mit einem Stoppbit angezeigt.

Bei den meisten Übertragungsprotokollen werden neben dem Datenbus keine zusätzlichen Taktleitungen verlegt, mit der der Sender und der Empfänger synchronisiert werden. Es ist also für eine synchronisierte Übertragung der Daten erforderlich, dass der Takt aus dem Datenpaket entnommen werden kann. Das heißt, es muss eine Taktrückgewinnung des Sendetakts erfolgen.

Für die Übertragung des Sendetakts gibt es verschiedene Ansätze. Mit Hilfe eines Datenheaders kann der Takt zurückgewonnen werden. Der Nachteil eines Datenheaders ist, dass dieser bereits zu dem Payload, also den Nutzdaten gehört. Aus diesem Grund wird alternativ eine Präambel verwendet. Die Präambel ist dem Payload vorangestellt, so dass mehr Bits für den Payload zur Verfügung stehen. Die Präambel besteht aus einer fest definierten, wechselhaften Abfolge von Nullen und Einsen, bei deren Flankenwechsel der Takt aus den gesendeten Daten zurückgewonnen werden kann. In der folgenden Abbildung ist eine Präambel dargestellt.

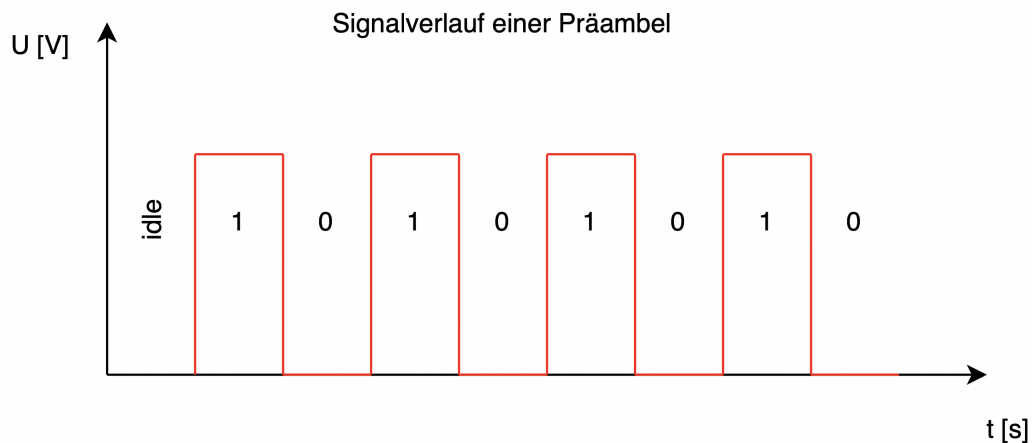


Abbildung 3.1: Signalverlauf einer ein Byte großen Präambel eines Datenpakets zum Einsynchronisieren des Datenempfängers

In der Abbildung ist der Signalverlauf einer Präambel eines Datenpakets auf dem Datenbus mit den entsprechenden Signalpegeln zu erkennen. Mit der Bitfolge 10101010 kann der Empfänger der Nachricht den Sendetakt rekonstruieren, indem er die Flankenwechsel der Bitfolge auswertet. Die Präambel des Datenpakets lässt sich so innerhalb eines Byte übertragen. Nach der Präambel folgen weitere zum Overhead des Datenpakets gehörende Daten. In der Abbildung 3.1 wird von unipolaren Signalpegeln ausgegangen, dies kann aber auf bipolare Signale äquivalent übertragen werden.

### 3.1.4 Kalibrierung des Systemtakts

Für die Überlegungen der Synchronisation ist es darüber hinaus notwendig, die Taktcharakteristiken der Mikrocontroller zu betrachten. Taktabweichungen zwischen Sender und Empfänger können für eine fehlerhafte Übertragung sorgen, da der Abtastzeitpunkt mit jedem weiteren Bit vor oder hinter den Sendesignalpuls verschoben werden kann. Der XMC4700 Relax Kit verfügt über einen internen RC- Oszillator, der über Fast-Clock-Parameter und Slow-Clock-Parameter verfügt. Dieser Oszillator ist für die CPU und die On-Chip Peripherie verfügbar. Ebenfalls lässt sich eine externe Taktquelle zur Erzeugung des Systemtakts anschließen. Der interne RC-Oszillator weist zum einen eine nominale Frequenz von 36.5 MHz und zum anderen eine geteilte nominale Frequenz von 32.768 kHz [4, S. 82 ff.]. Die Taktfrequenz unterliegt dabei Schwankungen, die durch verschiedene Kalibrierungsansätze und Schwankungen der Versorgungsspannung geschuldet sind. Die Abweichungen sind in den beiden folgenden Tabellen zusammengefasst.

Parameter	Wert			Einheit	Anmerkung
	Min.	Typ.	Max.		
Nominale Frequenz	-	36.5	-	MHz	nicht kalibriert
	-	24	-	MHz	kalibriert
Genauigkeit	-0.5	-	0.5	%	automatische Kalibrierung
	-15	-	15	%	Fabrik-Kalibrierung
	-25	-	25	%	unkalibriert
	-7	-	7	%	Schwankung der Versorgungsspannung 3.13 V Vddp 3.63 V
Start-up Zeit	-	50	-	$\mu$ s	

Tabelle 3.2: Zusammenfassung des Fast-Internal-Clock Parameter [4, S. 82]

Parameter	Wert			Einheit	Anmerkung
	Min.	Typ.	Max.		
Nominale Frequenz	-	32.768	-	kHz	
Genauigkeit	-4	-	4	%	VBat = const. 0 °C TA 85 °C
	-5	-	5	%	VBat = const. TA 0°C or TA 85 °C
	-5	-	5	%	2.4 V VBat , TA = 25 °C
	-7	-	7	%	1.95 V VBat < 2.4 V, TA = 25 °C
Start-up Zeit	-	50	-	$\mu$ s	

Tabelle 3.3: Zusammenfassung des Slow-Internal-Clock Parameter [4, S. 83]

Anhand der beiden Tabellen 3.2 und 3.3 wird ersichtlich, dass der Takt stark beeinflussbar durch Temperaturschwankungen und Schwankungen der Versorgungsspannung ist. Aus Tabelle 3.2 lässt sich entnehmen, dass ein unkalibrierter Mikrocontroller eine Taktabweichung von bis zu  $\pm 25$  Prozent aufweisen kann. Bei Abweichungen der Versorgungsspannung sind Abweichungen von  $\pm 7$  Prozent möglich. Der Mikrocontroller XMC 2Go verfügt über ähnliche Taktcharakteristiken wie der XMC 4700 Relax Kit [2].

Für die Kalibrierung des internen Oszillators gibt es verschiedene Ansätze. Einer davon ist die Kalibrierung mit Hilfe eines externen Referenztakts. Dabei wird der externe Referenztakt von der Capture Compare Unit 4 (CCU4) des Mikrocontrollers erfasst und mit dem internen Takt verglichen. Bei einer Abweichung wird mit einer Auswertesoftware ein Frequenzteiler auf den internen Takt angewendet. Diese Methode der Kalibrierung ist in der folgenden Abbildung schematisch dargestellt.

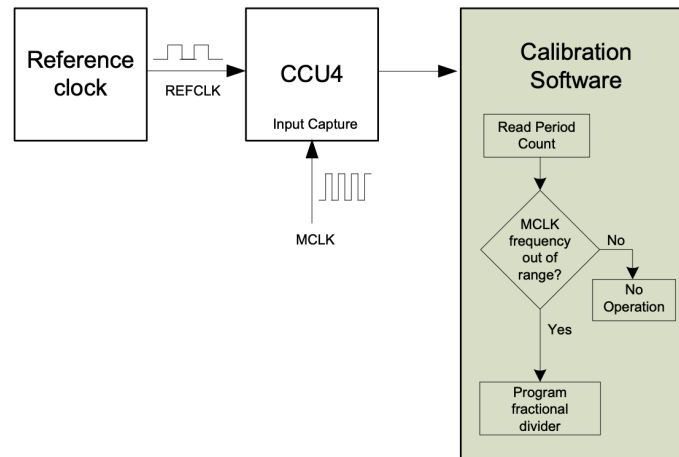


Abbildung 3.2: Schematische Darstellung der Kalibrierung des internen Takts MCLK mit Hilfe einer externen Taktquelle REFCLK [3, S. 3]

In Abbildung 3.3 ist der Ablauf der Kalibrierung des internen Takts des Mikrocontrollers zu erkennen. Die Capture Compare Unit 4 liest den externen eingespeisten Takt ein und eine Auswertesoftware, in Abbildung 3.3 grün hinterlegte Box, vergleicht anschließend die Abweichung des internen mit dem externen Takt. Bei der Abweichung eines bestimmten Bereichs wird ein Frequenzteiler auf den internen Takt angewendet, bis der interne Takt innerhalb einer bestimmten Toleranz ist.

### 3.1.5 Übertragungsprotokoll

Als Übertragungsprotokoll wird ein serielles Protokoll gewählt. Die Batteriezellencontroller kommunizieren mit dem Batteriemodulcontroller mit Hilfe der Universal-Interface-Channel (USIC) der Mikrocontroller. Dieses Interface ist als Universal-Asynchronous-Receive-Transmit (UART) mit der 8E1 Notation konfiguriert. Die 8 gibt die Anzahl der Datenbits an, E gibt an, dass es sich um eine Even-Parity, also gerade Parität handelt und die 1 gibt ein Stoppbit an.

Im Rahmen der Vorarbeit von Jonas Ernsting ist ein Übertragungsprotokoll für die Kommunikation mittels IrDA-Transceivern entwickelt worden [8, S. 17 ff.]. Grundlage ist eine UART-Standardübertragung, bei dem das Sendesignalpegel invertiert und die Bitdauer gekürzt ist. Dieses Protokoll sieht jeweils ein Start- und Stoppbit vor, 4 Bit für Daten beziehungsweise ein Kommando, 4 Bit für die Empfangsadresse und ein Paritätsbit.

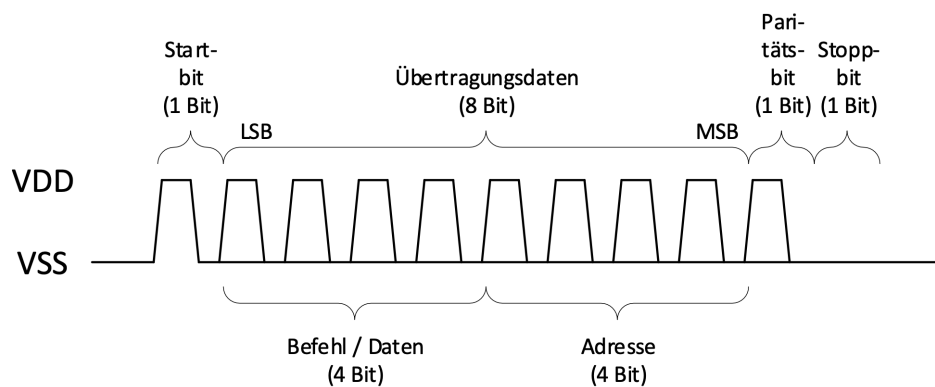


Abbildung 3.3: Paketaufbau und Signalverlauf der UART-Übertragung in Anlehnung an eine IrDA-SIR-Spezifikation nach Jonas Ernsting [8, S. 20]

Untersuchungen haben ergeben, dass eine Datenübertragung fehlerfrei bis zu einer Taktrate von

$$f_{MAX} = 162006 \text{ Bit/s}$$

möglich ist [8, S. 23].

Eine weitere Untersuchung hat ergeben, dass die Anhebung der Datenrate zur Reduzierung des Einflusses der Taktabweichung nicht effizient ist [8, S. 24]. Eine bessere Variante ist die direkte Reduzierung der Taktabweichung, die mit der in Abschnitt 3.1.3

beschriebenen Methode zu Kalibrierung des internen Oszillators des Mikrocontrollers vorgenommen werden kann.

Das von Jonas Ernsting entwickelte Übertragungsprotokoll soll an das von Nico Sassano adaptiert werden. Es ist im Rahmen seiner Bachelorthesis ein Übertragungsprotokoll entwickelt worden, dass für die Übertragung mittels Radiowellen konzipiert wurde [10, S. 37 ff.]. Die Besonderheit bei dem Protokoll ist, dass die Nutzdatenlänge dynamisch je nach zu sendenden Daten variiert, sodass es keine fest definierte Länge der Nutzdaten gibt.

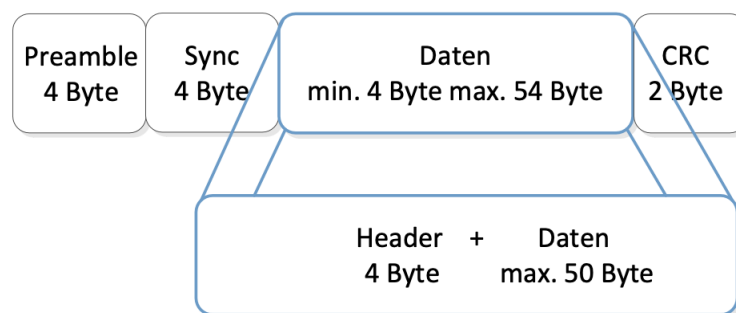


Abbildung 3.4: Paketaufbau einer Datenübertragung nach Nico Sassano [10, S. 38]

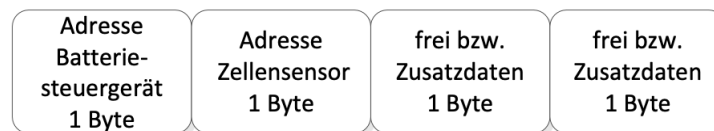


Abbildung 3.5: Header einer Uplink-Übertragung nach Nico Sassano [10, S. 39]

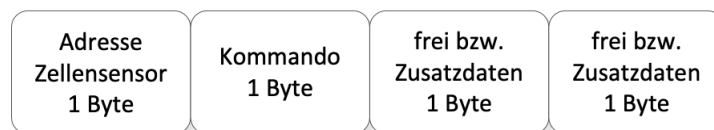


Abbildung 3.6: Header einer Downlink-Übertragung nach Nico Sassano [10, S. 39]

Das Übertragungsprotokoll von Nico Sassano sieht eine Paketgröße von 64 Byte vor. Diese ist die maximale Paketgröße, die von seiner verwendeten Hardware gesendet werden kann. Das Paket besteht dabei aus einer 4 Byte großen Präambel, einem 4 Byte großen



Synchronisierer, einem 4 Byte großen Header, 50 Byte Nutzdaten und einem 2 Byte großen CRC Prüffeld, wie in Abbildung 3.4 dargestellt.

Der Header des Datenpakets ist dabei davon abhängig, ob ein Paket von einem Batteriezellencontroller zum Batteriemodulcontroller oder entgegengesetzt gesendet wird. In Abbildung 3.5 ist der Header einer Uplink-Datenübertragung zu erkennen und bedeutet, dass ein Batteriezellencontroller an den Batteriemodulcontroller sendet. Dabei ist ein Byte für die Adresse des Batteriemodulcontrollers, ein Byte für die Absenderadresse des Batteriezellencontrollers und 2 Byte Reserve vorgesehen. In Abbildung 3.6 ist der Header für die Downlink-Datenübertragung abgebildet. Hier ist ein Byte für die Zieladresse des Batteriezellencontrollers, ein Byte des verschickten Kommandos und zwei Byte Reserve vorgesehen. Der Overhead ist definiert als alle Daten eines Datenpakets, die nicht zu den Nutzdaten gehören. Das können beispielsweise Daten für Fehlererkennung, Adressierung oder Synchronisierung sein. Der Overhead bei diesem Übertragungsprotokoll beträgt konstant 14 Byte bei Uplink- und Downlink-Übertragung.

#### **Adaption der Übertragungsprotokolle**

Für die Adaption des Übertragungsprotokolls soll zunächst abgeschätzt werden, welcher Overhead für das Datenpaket zu erwarten ist. Dazu werden die Sensoren aus der Tabelle [1] betrachtet. Die Sensoren sind in der folgenden Grafik zusammenfassend dargestellt.

Sensor	Sensortyp	Anbringung	Messrate	Schnittstelle	I2C Adressen	Messsignal	Bit-Auflösung
Temperatursensor	Halbleitersensor (AS6204)	Sensoren in der Zelle	0,25 -	I2C (4 Adressen);	1001000 (0x48)	digital	12
			10,7 Conv/s	GPIO Alert nicht vorgesehen	1001001 (0x49)		
					1001010 (0x4A)		
					1001011 (0x4B)		
Optischer Sensor (HAW)	Glasfasersensor	Sensoren in der Zelle	1 Hz	Seriell, UART	n/a	analog ausgewertet, dig. Schnittstelle	10
-	-	Sensoren an der Zelle	5 Perioden je Freq.Linie (5 Hz - 5 kHz)	ISO-UART (2MBit/s)per Jumper zu PC oder µC	n/a	digital	12-16
			20 Hz	ISO-UART (2MBit/s)per Jumper zu PC oder µC	n/a	digital	14-16
Temperatursensor	Temp on Chip	Sensoren an der Zelle	10 Hz	ISO-UART (2MBit/s)per Jumper zu PC oder µC	n/a	digital	9-11
Spannungssensor	HAW- VAC (mit OPs)	Sensoren an der Zelle	2-10 Perioden je Freq.Linie (0,1 Hz - 10 kHz)	SPI + 2x CS, DAC, ADC	n/a	0 V - 3,3 V	12
			variabel bis 10 kHz	ADC	n/a	0 V - 3,3 V	12
-	HAW- Hallsensor (ACS716)	Sensoren an der Zelle	120 kHz	ADC	n/a	0 V - 3,3 V	12
Zellinnendruck und Zellausdehnung	Drucksensor TPMS (basierend auf SP37/40)	Sensoren an der Zelle	0,5 Hz	I2C (4 Adressen);	0110110 (0x36)	analog ausgewertet, dig. Schnittstelle	7-8
			GPIO Alert nicht vorgesehen				
Strom- und Spannungsmessensork	Strommess-IC	Sensoren an der Zelle	1 0 kHz RC Tiefpass (änderbar)	ISO-UART +	1010000 (0x50)	0,5 V - 4,5 V	16
				2x ADC (V1 u. NTC) +			
				I2C zu EEPROM +			
				1x GPIO (Gain)			

Abbildung 3.7: Tabellarische Darstellung ausgewählter Sensoren zur Abschätzung des Overheads des adaptierten Übertragungsprotokolls [1].

In der Abbildung 3.7 ist eine Auswahl an Sensoren tabellarisch dargestellt. Mit - gekennzeichnete Zeilen sind dabei anonymisiert. Es handelt sich hierbei um Sensoren, die auf einer Multisensorzelle angebracht werden sollen. Die Sensoren haben diverse Aufgaben wie Spannungs- und Strommessung, Temperaturmessung und Druckmessung. Die Sensoren sind dabei sowohl aus analog- als auch digitaler Technik aufgebaut. Zudem sind einige dieser Sensoren mit einer festen 7 Bit Adresse adressierbar. Andere wiederum verzichten auf eine Adresse. Darüber hinaus ist bei einigen Sensoren eine Kalibrierung notwendig. Auffällig ist, dass die Sensoren mit einer geringen Messfrequenz arbeiten. Eine Ausnahme bilden die Sensoren für die Spannungs- und Strommessung, die mit einer deutlich höheren Messfrequenz betrieben werden.

Für die Abschätzung des Overheads, wird nun die effektive Nutzdatengröße der in der Tabelle 3.7 genannten Sensoren betrachtet. Dazu wird zum einen die minimale effektive Nutzdatengröße und die maximale effektive Nutzdatengröße betrachtet. Es ergibt sich eine Nutzdatengröße von mindesten 116 Bit und maximal 125 Bit. Die Nutzdaten sind somit in 16 Byte darstellbar.

In dem Übertragungsprotokoll der Vorarbeit [10], ist eine CRC-16 Überprüfung implementiert. Mit dieser Fehlererkennung lassen sich Mehrfach- und Bündelfehler bis zu einer Länge von 16 Bit eindeutig erkennen. Für den Overhead bedeutet das, dass 2 Byte für die CRC Prüfung als Trailer an die Nutzdaten innerhalb des Datenpakets angehängt werden. Es ist zu untersuchen, ob eine Einzelfehlererkennung und -korrektur mittels Hamming-Code effizient ist oder, ob bei einer Einzelfehlererkennung die Daten verworfen werden und neu angefragt werden. Die Einzelfehlererkennung würde zusätzlichen Overhead generieren und die Ressourcen des Mikrocontrollers belasten.

Darüber hinaus ist zu untersuchen, ob eine 1 Byte große Präambel ausreichend ist, um Sender und Empfänger bei der Datenübertragung mit SIR IrDA zu synchronisieren. Ein wichtiger Aspekt dabei ist die Messsynchronisierung. In der Übersicht 3.7 ist angegeben mit welcher Messfrequenz die Sensoren operieren. Hier ist darauf zu achten, dass die Messung und die Auswertung der Daten synchron sind. Dazu müssen die Übertragung zwischen externem Computer zum Batteriemodulcontroller und die Übertragung vom Batteriemodulcontroller zum Batteriezellencontroller betrachtet werden.

Bei der Zusammensetzung des Datenpakets ist es sinnvoll, das Datenpaket bei Uplink- und Downlink-Übertragung unterschiedlich aufzubauen. Bei der Downlink-Übertragung vom Batteriemodulcontroller zum Batteriezellencontroller ist es notwendig, dass eine Anweisung übertragen wird. Dies ist bei der Uplink-Sendung nicht erforderlich, da die

Antwort im Nutzdatenblock zurückgegeben wird, sodass das Kommandobyte für eine andere Funktionalität verwendet werden kann. Folgender Paketaufbau ist möglich:



Abbildung 3.8: Paketaufbau des adaptierten Übertragungsprotokolls



Abbildung 3.9: Header einer Uplink-Datenübertragung des adaptierten Übertragungsprotokolls

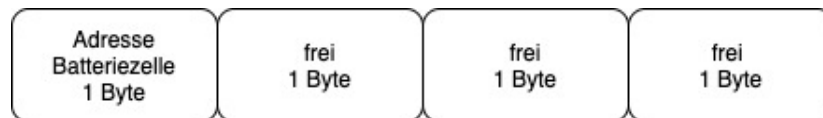


Abbildung 3.10: Header einer Downlink-Datenübertragung des adaptierten Übertragungsprotokolls

In Abbildung 3.8 ist der Paketaufbau des adaptierten Übertragungsprotokolls zu erkennen. Der Overhead des Datenpakets beträgt insgesamt 7 Byte, was geringer ist als bei der Vorarbeit [10] mit 14 Byte Overhead. Darüber hinaus ist der Header bei der Uplink- und Downlink-Übertragung unterschiedlich. Bei der Downlink-Übertragung wird neben der Zellencontrolleradresse zusätzlich ein Kommando übergeben. Für die Uplink-Übertragung ist das nicht notwendig, sodass das Byte für eine andere Funktion genutzt werden kann.

Das Übertragen der Zellencontroller-Adresse bei der Uplink-Übertragung hat den Vorteil, dass bei einem beispielhaften Broadcast-Befehl des Batteriemodulcontrollers zugeordnet werden kann, welcher Batteriezellencontroller geantwortet hat. Das ist somit eine extra Information, da bei einem Broadcast in festen Zeitfenstern für einen Zellencontrollern geantwortet werden sollte.

Mit einem 1 Byte großen Zellenadressblock, lassen sich insgesamt 256 verschiedene Batteriezellencontroller adressieren. Betrachtet man das Beispiel, welches auch in dem Einführungsabschnitt aufgeführt wird, so ist das eine für die Praxis ausreichende Größe.

Bei dem Beispiel sind 96 Batteriezellen in insgesamt 8 Batteriemodulen verbaut. Auf ein Batteriemodul skaliert, ergeben sich 12 Batteriezellen [9].

Mit einem ein Byte großen Kommandoblock lassen sich außerdem 256 verschiedene Kommandos und Anweisungen implementieren. Es ist denkbar, dass bei einer Antwort eines Batteriezellencontrollers, das gesendete Kommando als Quittierung mit in den Header der Uplink-Übertragung gelegt wird.

## 3.2 Konzeption des Funktionsdemonstrators

Der Funktionsdemonstrator wird auf der Basis der Vorarbeit von Jonas Ernsting weiterentwickelt [8]. Dieser soll für diese Arbeit als zentrales Anschauungsobjekt fungieren. Dabei stellt der Funktionsdemonstrator ein Batteriezellenmodul mit insgesamt 12 Batteriezellen und einem Batteriemodulcontroller dar.

Die Batteriezellen werden mit den Batteriezellencontrollern realisiert. Ebenfalls befindet sich der Batteriemodulcontroller auf dem Funktionsdemonstrator, der aus dem XMC 4700 Relax Kit und dem dazugehörigen Überwachungsmodul besteht. Auf den Batteriezellencontrollern wird der Lichtleitkörper installiert, um die Batteriezellencontroller und den Batteriemodulcontroller optisch miteinander zu verbinden.

Die zentrale Spannungsversorgungseinheit wird mit zwei USB-Hubs realisiert, die die Spannung an die Batteriezellencontroller verteilen. Der Modulcontroller wird über die USB-Debugschnittstelle mit Spannung versorgt, kann jedoch bei Bedarf ebenfalls über eines der USB-Hubs versorgt werden.

Das Grundgerüst bildet eine Holzplatte, auf der die Komponenten im Verlauf der Konstruktion angebracht werden. In der nachfolgenden Abbildung ist der Aufbau des Funktionsdemonstrators schematisch dargestellt.

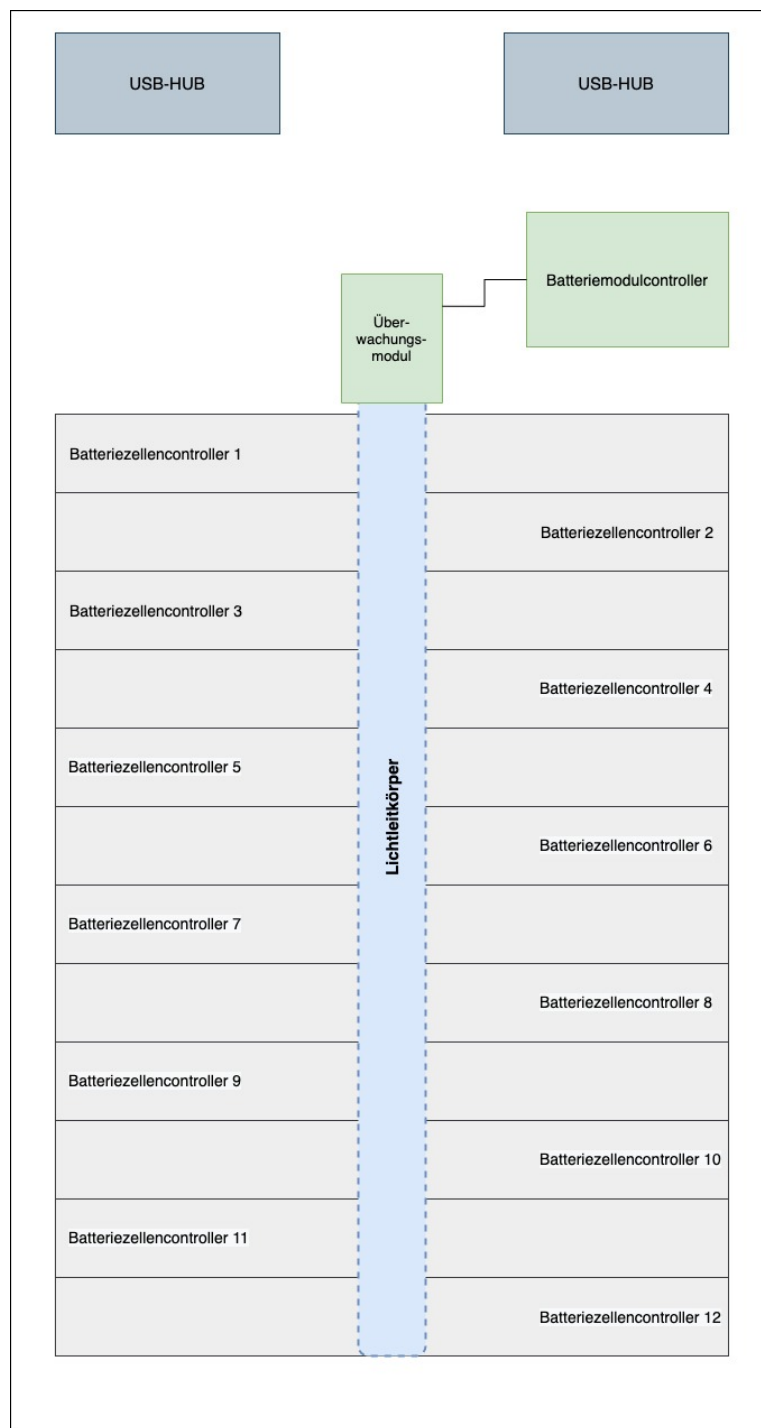


Abbildung 3.11: Schematischer Aufbau des Funktionsdemonstrators mit Anordnung der Komponenten

In Abbildung 3.11 ist der schematische Aufbau des Funktionsdemonstrators abgebildet. Die Komponenten sind so angeordnet, wie bei der späteren Installation. Es ist zu erkennen, dass der Lichtleitkörper (in Abbildung 3.11 blau dargestellt) über den Batteriezellencontrollern (in Abbildung 3.11 grau dargestellt) platziert wird. Das Überwachungsmodul des Batteriemodulcontrollers wird in 90° Versatz zu den Batteriezellencontrollern angebracht (in Abbildung 3.11 beides grün dargestellt). Die Batteriezellencontroller sind dabei abwechselnd zueinander angeordnet. Das Kabelmanagementsystem wird auf der Unterseite der Holzplatte angebracht. Dieses System regelt die Verteilung der Spannungsversorgung der Batteriezellencontroller. Die USB-Hubs (in Abbildung 3.11 dunkelgrau dargestellt) werden an der Oberseite des Aufbaus platziert.

Um die Batteriezellencontroller und das Überwachungsmodul besser auf der Holzplatte installieren zu können, wird eine Installationshilfe entwickelt. Die Installationshilfe wird später mit einem 3D-Drucker hergestellt. Diese hilft dabei, die einzelnen Platinen besser fixieren und bei Bedarf austauschen zu können. Die Installationshilfen sind in den beiden unteren Abbildungen dargestellt.

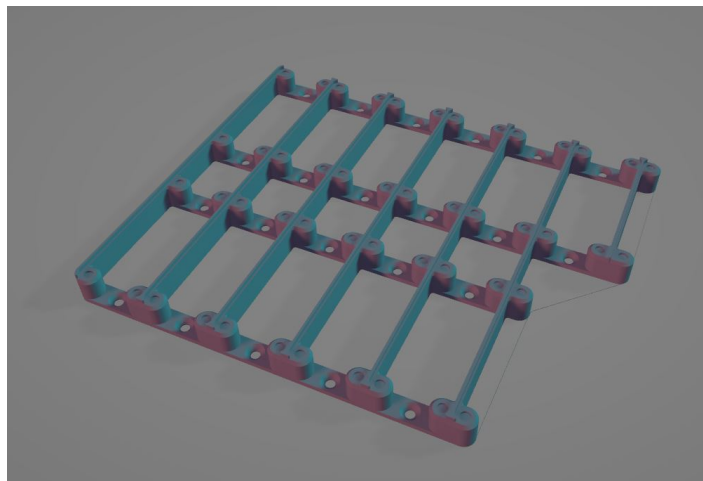


Abbildung 3.12: 3D-Ansicht der Installationshilfe für die Batteriezellencontroller

In Abbildung 3.12 ist das 3D-Modell der Installationshilfe für die Batteriezellencontroller zu erkennen. Es werden insgesamt zwei Stück nebeneinander angeordnet, um 12 Batteriezellencontroller auf der Holzplatte zu befestigen. In Abbildung 3.13 ist das 3D-Modell der Installationshilfe für das Überwachungsmodul dargestellt. Dieses wird, wie in Abbildung 3.11 zu erkennen, an der Stelle des Überwachungsmoduls auf der Holzplatte angebracht.



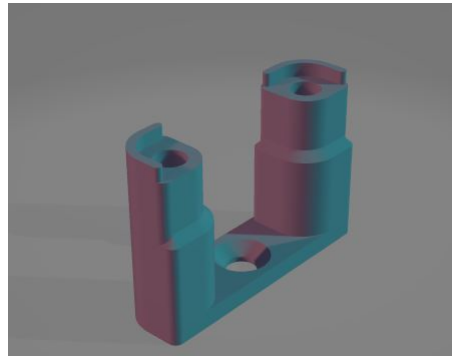


Abbildung 3.13: 3D-Ansicht der Installationshilfe für das Überwachungsmodul des Batteriemodulcontrollers

Auf der Unterseite der Holzplatte werden darüber hinaus Abstandsrollen angebracht, um die Holzplatte von der Abstellfläche zu erhöhen.

## 4 Entwicklung und Implementierung

### 4.1 Konstruktion des Funktionsdemonstrators

Der Funktionsdemonstrator wird gemäß der schematischen Darstellung 3.11 in Abschnitt 3.2 nachgebaut. Als Bodenplatte wird eine 20 mm dicke, weiß lackierte Sperrholzplatte verwendet. Diese Holzplatte wird auf ein Maß von 510 mm x 280 mm zugeschnitten. Die Installationshilfen der Controller werden mit einem 3D-Drucker produziert und anschließend auf der Holzplatte befestigt. An den Stellen, wo die spannungsversorgenden USB-Leitungen durch die Holzplatte gezogen werden, werden Bohrungen von 10 mm gefertigt. Diese Bohrungen befinden sich an den USB-Hubs und direkt vor den Batteriezellencontrollern. Der Konstruktionsfortschritt ist in der folgenden Abbildung zu erkennen.

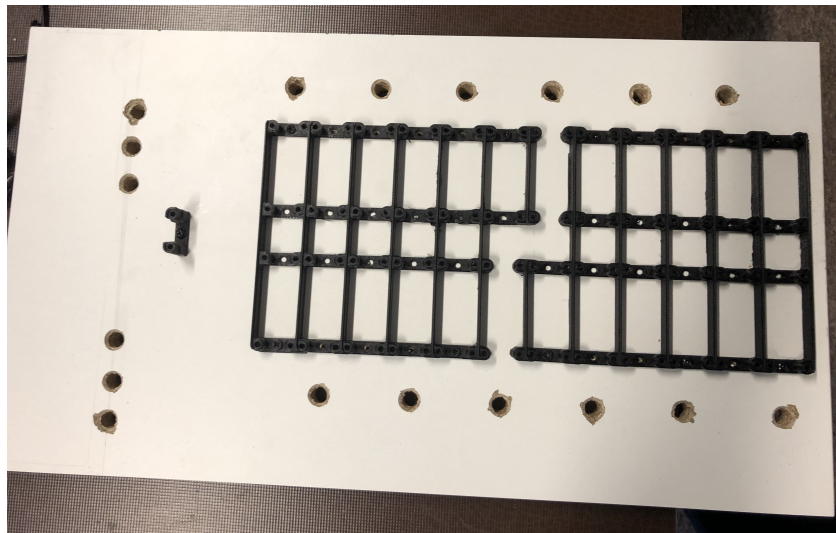


Abbildung 4.1: Zugeschnittene Holzplatte mit angebrachter Installationshilfe für die Batteriezellencontroller des Überwachungsmoduls und Bohrungen für die USB-Leitungen

Als Nächstes werden die zwei USB-Hubs an der Holzplatte angebracht. Danach werden die Batteriezellencontrollern auf der Installationshilfe platziert und mit Schrauben befestigt. Nun können die USB-Leitungen auf der Unterseite der Holzplatte angebracht und an den Batteriezellencontrollern angeschlossen werden. Um die Holzplatte von einer Ablagefläche zu erhöhen, werden an der Unterseite Abstandhalter befestigt. Daraufhin werden das Überwachungsmodul und der Batteriezellencontroller auf der Installationshilfe und auf dem Holzbrett verschraubt. Zum Schluss wird der Lichtleitkörper über den Batteriezellencontrollern platziert und befestigt. Der fertige Aufbau ist in der nachfolgenden Abbildung dargestellt.

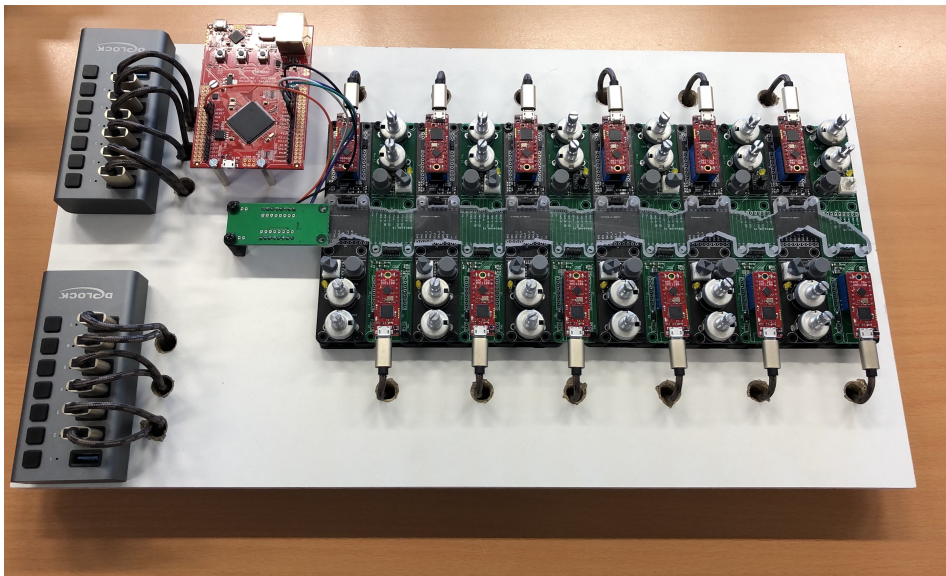


Abbildung 4.2: Fertiggestellter Aufbau des Funktionsdemonstrators

In der Abbildung sind links auf dem Brett die beiden USB-Hubs erkennbar. Der rote Controller daneben ist der Batteriemodulcontroller, der mit dem darunterliegenden Überwachungsmodul verbunden ist. Rechts daneben befinden sich die Batteriezellencontroller mit dem daraufliegenden Lichtleitkörper mit ausgerichteten Reflektorflächen.

## 4.2 **Controllersoftware**

In diesem Abschnitt wird auf die Entwicklung der Batteriemodulcontroller- und Batteriezellencontrollersoftware, sowie auf die Entwicklung der PC-Software zur Steuerung und Visualisierung eingegangen.

### 4.2.1 **Software des Batteriezellen- und Batteriemodulcontrollers**

Die Controllersoftware wird auf Basis der Vorarbeit weiterentwickelt. Die Software des Batteriemodulcontrollers soll um eine UDP-Schnittstelle erweitert werden, damit der Batteriemodulcontroller von einem Computer gesteuert und die gesendeten Daten des Batteriemodulcontrollers ausgewertet werden können. Die Quellcodedateien befinden sich im Anhang, sowie auf der CD.

Darüber hinaus soll die Software des Batteriemodulcontrollers und die der Batteriezellencontroller aus Gründen der Übersichtlichkeit in mehrere C-Quell- und Headerdateien aufgeteilt werden, da sich der Quellcode der Software zum Abschlusspunkt der Vorarbeit noch in einer Datei befindet.

Für die Programmierung wird die Entwicklungsumgebung DAVE von Infineon Technologies AG verwendet. Diese verfügt über eine komponentenbasierte Programmierung, was das Hinzufügen bestimmter Funktionen der Controllerhardware vereinfacht. Zudem verfügt die Entwicklungsumgebung über eine grafische Oberfläche der DAVE-APPs, mit der automatisch der Quellcode für die Initialisierung der Hardware generiert werden kann. Die Quellcode-Dateien und die Konfiguration der Entwicklungsumgebung befinden sich im Anhang.

Für die Übertragung der Daten mittels UDP-Verbindung werden verschiedene Befehle implementiert, die von einem externen Computer gesendet werden können. Diese sind in der folgenden Tabelle dargestellt.

Befehl/Antwort	Zeichenkette	Anmerkung
Sende Daten eines spezifischen Batteriezellencontroller	0101,No,0	Dieser Befehl sendet alle Daten eines ausgewählten Batteriezellencontrollers über die UDP-Schnittstelle
Sende Daten aller verbundenen Batteriezellencontroller	0102,0	Dieser Befehl sendet alle Daten aller verbundenen Batteriezellencontroller über die UDP-Schnittstelle
Sende alle Daten	0103,0	Dieser Befehl sendet alle Daten aller Batteriezellencontroller, unabhängig davon ob sie verbunden sind, über die UDP-Schnittstelle
Sende Adressen aller verbundenen Batteriezellencontroller	0104,0	Dieser Befehl sendet die Adressen aller verbundenen Batteriezellencontroller über die UDP-Schnittstelle
Sende Antwort: Unbekannter Befehl	UNKNOWN CMD	Wenn kein dem Batteriemodulcontroller bekannter Befehl übergeben wurde, wird mit UNKNOWN CMD geantwortet

Tabelle 4.1: Übersicht der implementierten Befehle, die von einem externen Computer an den Batteriemodulcontroller gesendet werden können

Die Befehle sind immer gleich aufgebaut. Der Befehl beginnt mit einem 4 Zeichen langen Befehl-Identifizier, gefolgt von einem Nullterminator. Beim ersten Befehl besteht die Besonderheit, dass dem Batteriemodulcontroller die Nummer des anzusprechenden Batteriezellencontrollers mit übergeben wird.

Der erste Befehl in Tabelle 4.1 fordert den Batteriemodulcontroller auf, die Daten eines bestimmten Batteriezellencontrollers an die UDP-Schnittstelle zu übergeben, an der ein externer Computer zur Auswertung der Daten angebunden ist.

Der zweite Befehl in Tabelle 4.1 fordert den Batteriemodulcontroller auf, die Daten aller Batteriezellencontroller einzuholen, die mit dem Batteriemodulcontroller verbunden sind.

Der dritte Befehl in Tabelle 4.1 fordert den Batteriemodulcontroller auf, alle verfügbaren Daten der Batteriezellencontroller einzuholen und an die UDP-Schnittstelle zu übergeben.

Der letzte Befehl in Tabelle 4.1 fordert den Batteriemodulcontroller auf, die Adressen aller verbundenen Batteriezellencontroller an die UDP-Schnittstelle zu übergeben.

Der Programmablaufplan wird gemäß der erweiterten Funktionalität bezüglich einer UDP-Schnittstelle angepasst und ist in den folgenden Grafiken dargestellt.

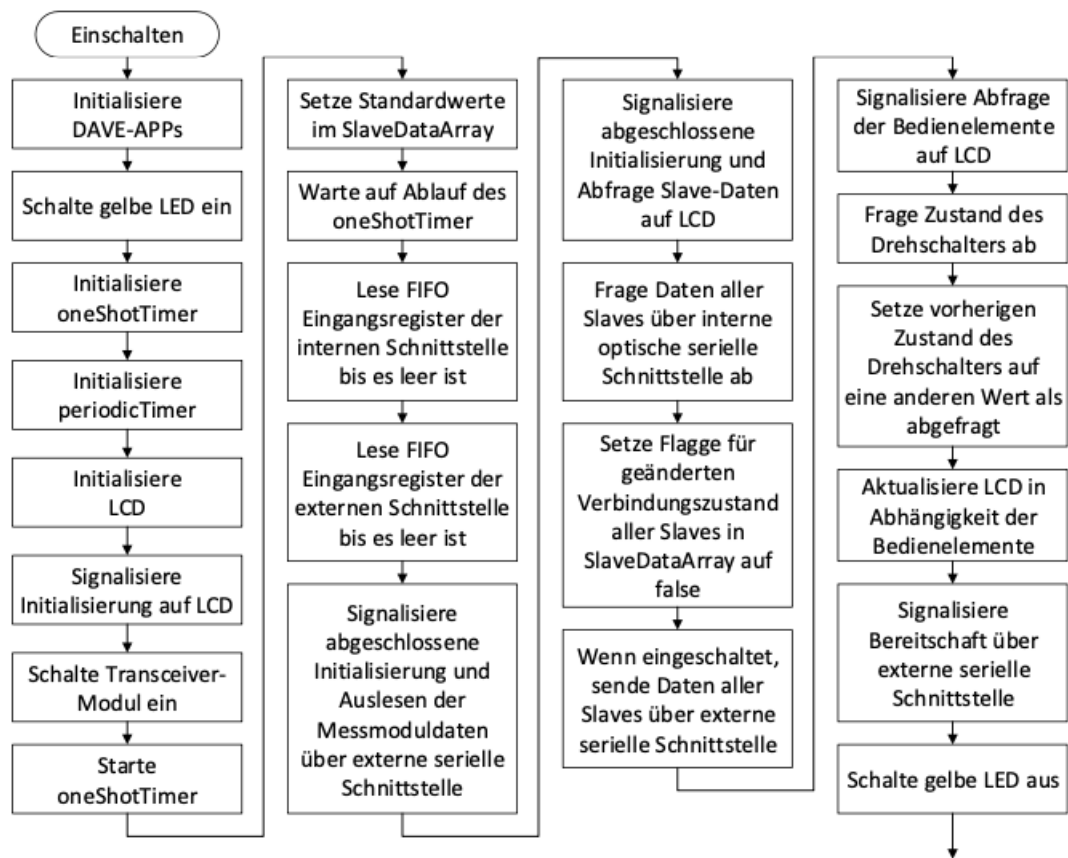


Abbildung 4.3: Vereinfachtes Flussdiagramm des Hauptprogrammablaufs im Überwachungsmodul als Master, Teil 1 [8, S. 92]

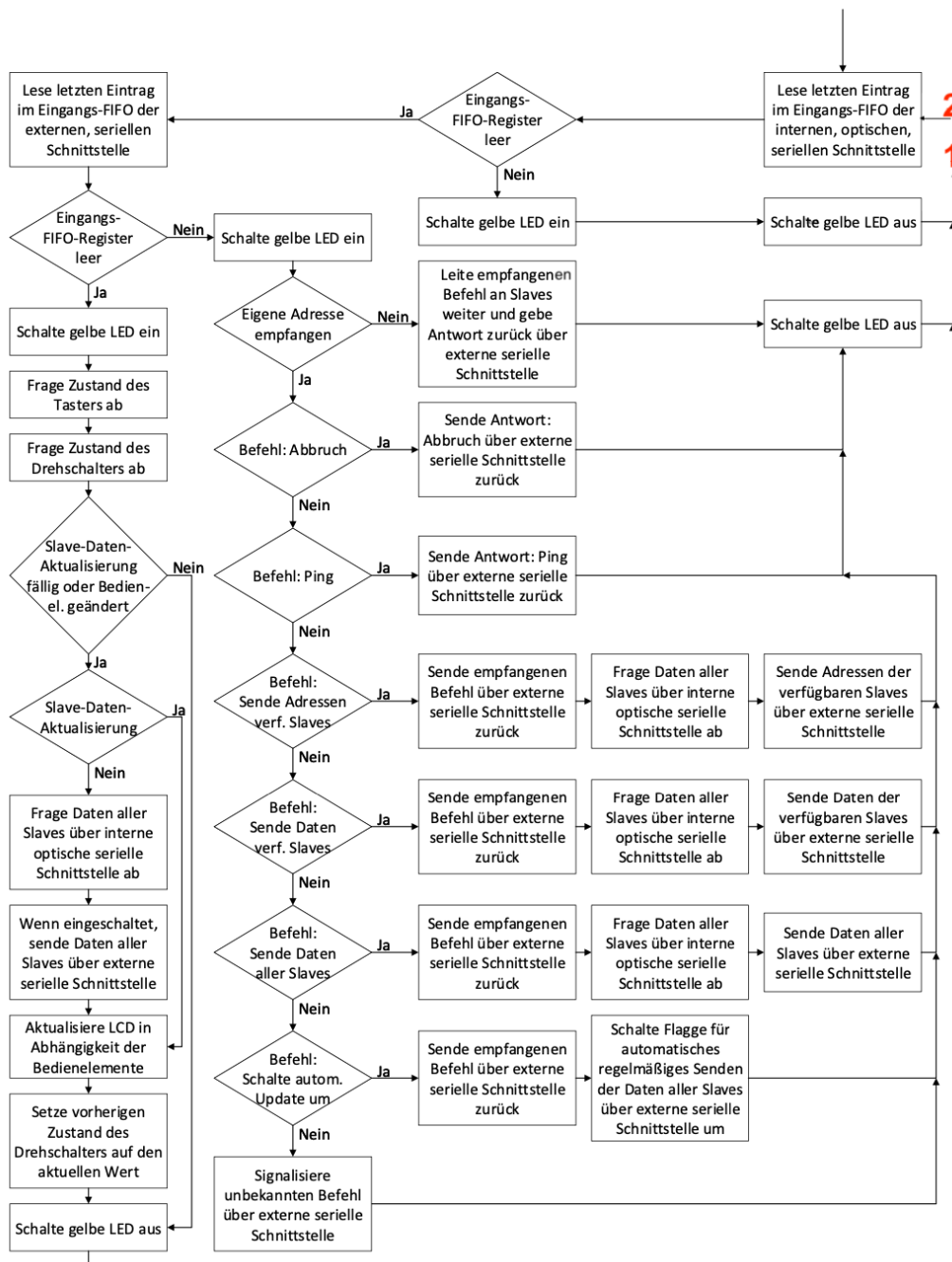


Abbildung 4.4: Vereinfachtes Flussdiagramm des Hauptprogrammablaufs im Überwachungsmodul als Master, Teil 2. Auf der rechten Seite, mit den roten Zahlen 1 und 2 gekennzeichnet, befindet sich der Einschub für die Erweiterung der UDP-Funktionalität, modifiziert nach [8, S. 93]

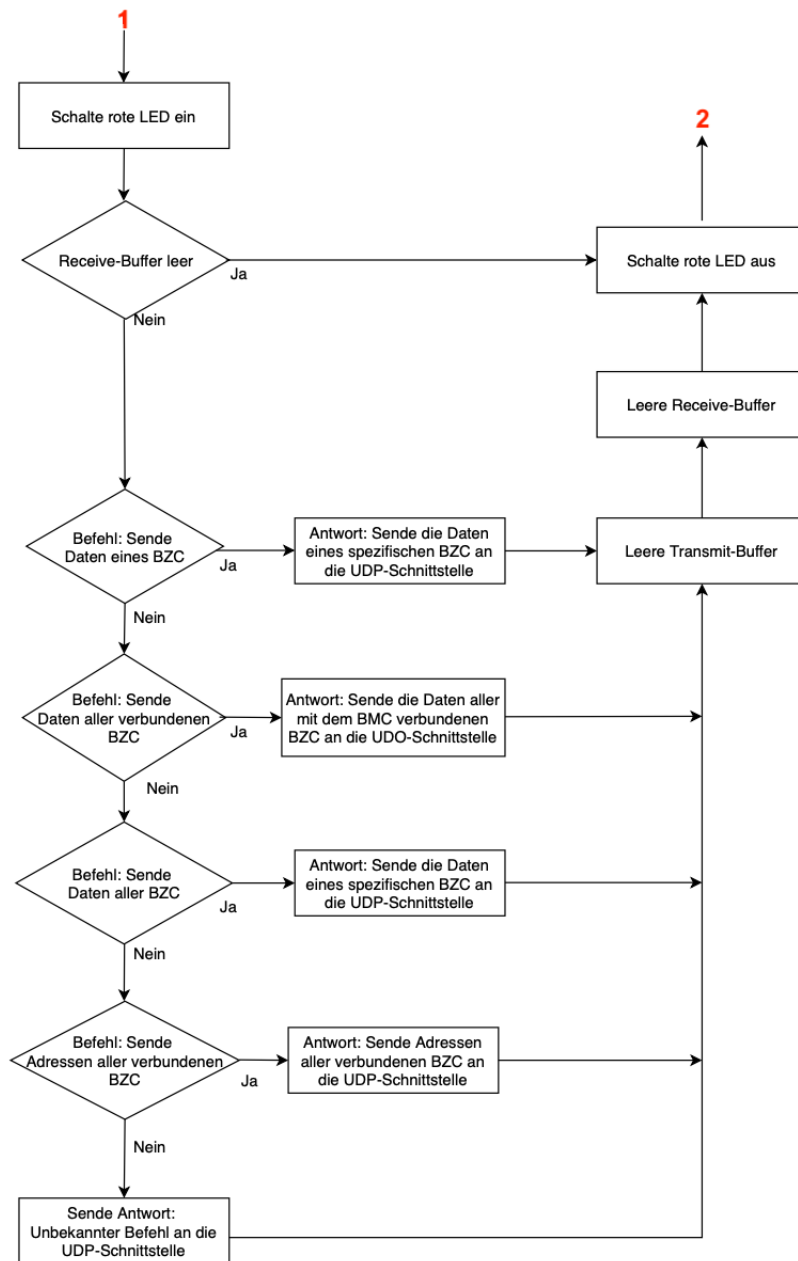


Abbildung 4.5: Vereinfachtes Flussdiagramm des Hauptprogrammablaufs im Überwachungsmodul als Master, Teil 3 mit Erweiterung um eine UDP-Schnittstelle. Die Rote 1 markiert den Beginn der Programmsequenz, die Rote 2 markiert das Ende der Programmsequenz mit Rückkehr zum Programmablauf in Abbildung 4.4. Die Abkürzung BMC steht für Batteriemodulcontroller, die Abkürzung BZC steht für Batteriezellencontroller



In Abbildung 4.5 ist der vereinfachte Programmablauf der Erweiterung um die UDP-Schnittstelle dargestellt. Zu Beginn wird eine rote Indikator-LED eingeschaltet. Daraufhin wird überprüft, ob der Receive-Buffer eine Nachricht enthält. Ist das nicht der Fall, wird die Indikator-LED wieder ausgeschaltet und die Programmschleife verlassen.

Befindet sich jedoch eine Nachricht im Receive-Buffer, so wird die Empfangene Nachricht auf ein übertragenes Kommando ausgewertet. Der Batteriemodulcontroller übergibt je nach erhaltenem Kommando die entsprechende Antwort an die UDP-Schnittstelle. Wenn kein bekanntes Kommando übermittelt wurde, antwortet der Batteriemodulcontroller mit einem *UNKNOWN CMD*.

Nach der Übergabe der Antwort an die UDP-Schnittstelle, wird der Transmit-Buffer wieder geleert und ebenso der Receive-Buffer. Anschließend wird die Indikator LED ausgeschaltet und die Programmschleife verlassen.

### 4.3 PC Software zur Steuerung und Visualisierung

Im Rahmen dieser Thesis soll eine Computer Software entwickelt werden, die über eine UDP-Schnittstelle mit dem Batteriemodulcontroller verbunden ist und die übertragenen Daten des Batteriemodulcontrollers auswertet und visualisiert, sowie den Batteriemodulcontroller mit ausgewählten Befehlen steuern kann. Die Software wird innerhalb von Matlab von The MathWorks Inc. entwickelt. Die Quellcodedatei befindet sich im Anhang, sowie auf der CD.

Die Software soll aus Gründen der einfachen Bedienbarkeit, eine Benutzergeführte Eingabe mit Hilfe des Kommandofensters innerhalb von Matlab erhalten. Die Ausgabe der Daten soll tabellarisch und wahlweise zyklisch oder sequenziell erfolgen. Darüber hinaus soll es dem Benutzer der Software möglich sein, die zu sendenden Steuerbefehle mit einer Konsoleneingabe auszuwählen.

Die Befehle, die dabei implementiert werden sollen, sind in Tabelle 4.1 dargestellt. Der Quellcode befindet sich im Anhang.

In der nachfolgenden Grafik ist der Programmablauf dargestellt.

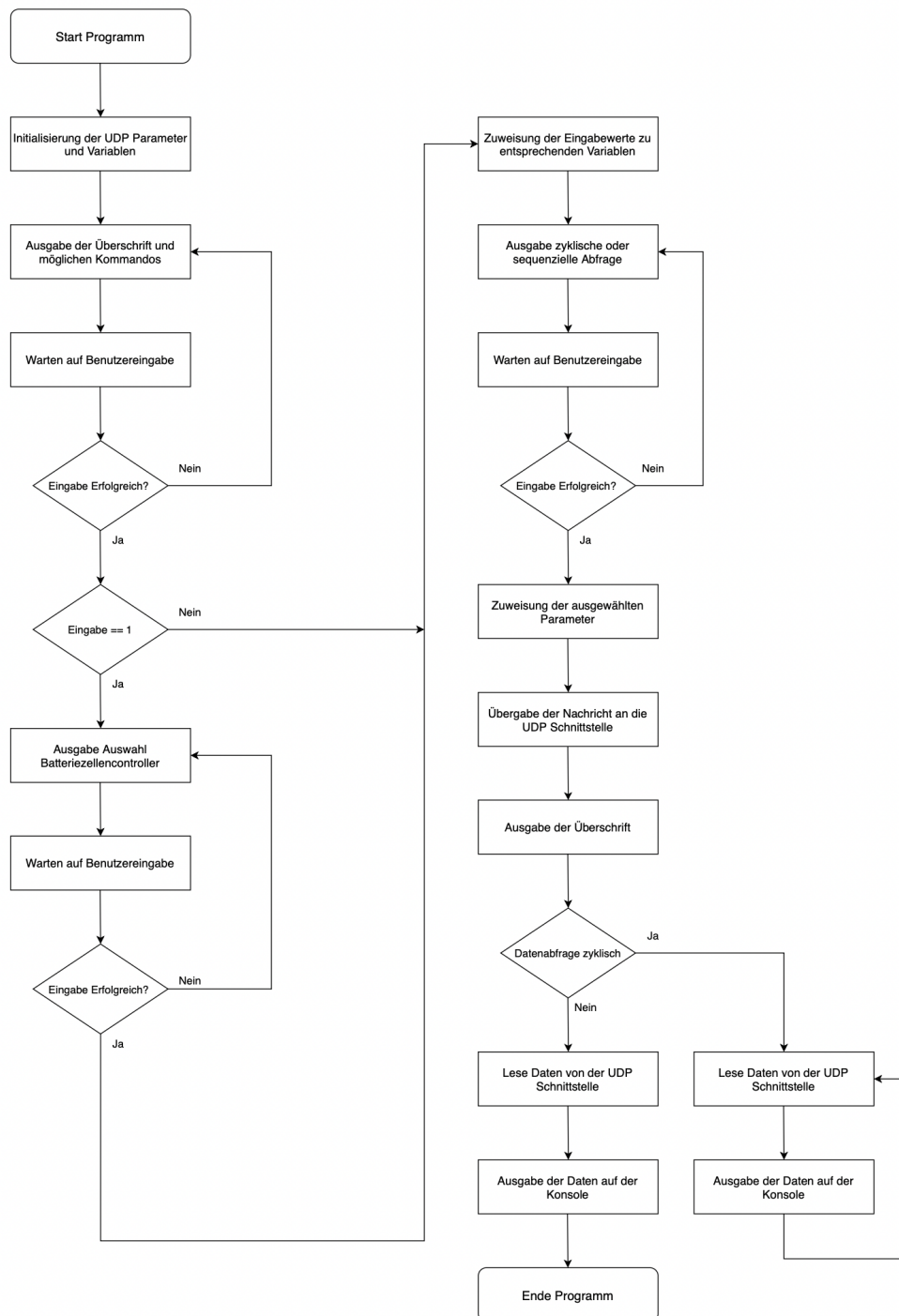


Abbildung 4.6: Vereinfachtes Flussdiagramm der PC Software zur Visualisierung und Steuerung des Batteriemodulcontrollers

Nach dem Start der Software, werden zunächst die Parameter für die UDP-Verbindung initialisiert, sowie die benötigten Hilfsvariablen. Daraufhin wird eine Überschrift ausgegeben, die zudem die verfügbaren Kommandos ausgibt. Es erfolgt danach eine benutzergeführte Eingabe, die außerdem fehlergesichert ist.

Wenn das Kommando für einen spezifischen Batteriezellencontroller ausgewählt wird, wird anschließend abgefragt, welcher Batteriezellencontroller angesteuert werden soll.

Als nächstes kann ausgewählt werden, ob die Abfrage der Daten zyklisch, oder sequenziell erfolgen soll. Nach der Benutzerabfrage werden die eingegeben Informationen in den jeweiligen Hilfsvariablen gespeichert.

Nun wird das Kommando an die UDP-Schnittstelle übergeben und anschließend die Daten abgefragt. Die Software lässt sich mit der Tastenkombination STRG+C beenden.

# 5 Test und Erprobung

## 5.1 Funktionstest

### 5.1.1 Software Batteriezellencontroller

Die Software der Batteriezellencontroller wird umfangreich auf Ihre Funktionalität geprüft. Dazu werden diverse Tests durchgeführt.

Zunächst wird überprüft, dass die Gelbe LED, die zur Indikation der Aktivität dient, funktioniert. In diesem Zusammenhang wird ebenfalls überprüft, dass die Rote LED, ebenfalls leuchtet. Damit wird festgestellt, dass die Batteriezellencontroller die eigene Adresse korrekt erkennen und den Datenverkehr ermöglichen. Darüber hinaus wird getestet, ob die Änderung der Adresse mittels des Kodierschalters und des Tasters funktioniert.

Daraufhin wird überprüft, dass der Controller die Werte der zwei Potentiometer korrekt einliest und speichert.

Für weitere Tests muss das der gesamte Aufbau in Betrieb genommen werden. Im Anhang befindet sich ein Prüfprotokoll zu dem Test der Batteriezellencontroller.

### 5.1.2 Software Batteriemodulcontroller

Wie die Software des Batteriezellencontrollers wird ebenfalls die Software des Batteriemodulcontrollers umfangreich getestet.

Zunächst wird überprüft, ob der Batteriemodulcontroller über die UART-Schnittstelle mit einem Computer kommuniziert. Dazu werden die vordefinierten Kommandos mit Hilfe der Software HyperTerminal an den Batteriemodulcontroller übergeben.

Für weitere Test muss der gesamte Aufbau in Betrieb genommen werden. Das Prüfprotokoll befindet sich im Anhang.

### 5.1.3 PC Software zur Steuerung und Visualisierung

So wie in den beiden vorigen Abschnitten wird ebenfalls die Software zur Steuerung und Visualisierung umgehend getestet. Zu dem Test gehört die Überprüfung der richtigen Parametrierung der UDP Parameter, welche mit der Kommandozeile von Matlab überprüft wird.

Weiterführende Tests bedürfen der Inbetriebnahme des gesamten Aufbaus. Das Prüfprotokoll befindet sich im Anhang.

### 5.1.4 Gesamtes Messsystems

Zunächst wird die mechanische Robustheit des gesamten Aufbaus untersucht. Dabei lässt sich feststellen, dass die Installationsplatte stabil genug ist, um mechanischen Belastungen stand zu halten. Ebenfalls sind die spannungsführenden Leitungen so installiert, dass diese mechanischen Belastungen standhalten. Die einzelnen Komponenten sind so installiert, dass diese einen festen Sitz haben.

Als nächstes werden die Batteriezellencontroller und der Batteriemodulcontroller weiter untersucht. Es ist zu erkennen, dass der Datentransfer zwischen den Controller funktioniert. Dies ist ebenfalls an der Indikator LED des Batteriemodulcontrollers zu erkennen.

Als nächstes wird die Kommunikation des Batteriemodulcontrollers mit einem Computer über die UDP-Schnittstelle getestet. Dazu werden nacheinander alle Kommandos an den Modulcontroller übergeben und die Antwort desselben ausgewertet. Dabei werden ebenfalls die Bedienbarkeit und Funktionalität der Matlab-Software getestet, sowie die richtige Parametrierung der PC-Software und die Modulcontroller-Software.

## 5.2 **Auswertung**

Bei den Funktionstest hat sich herausgestellt, dass die Funktionalität der Komponenten wie gefordert, gewährleistet und sichergestellt ist. Darüber hinaus weist der gesamte Aufbau eine gute mechanische Robustheit und Stabilität auf.

Es stehen weitere Tests zum Zeitverhalten der Komponenten aus, darunter die Anforderungen an das adaptierte Übertragungsprotokoll. Ebenfalls stehen weitere Tests zur Robustheit aus, wie etwa der Einfluss von Kondensat auf die Komponenten des Demonstrationsaufbaus.

# 6 Zusammenfassung

## 6.1 Bewertung der Thesis

Im Rahmen dieser Thesis konnte ein Funktionsdemonstrator auf Basis von Vorarbeiten reproduziert werden, um eigene Tests mit demselben durchzuführen. Des Weiteren sind theoretische Überlegungen zu den Thematiken der Synchronität und Übertragung von Nachrichten durchgeführt worden. In diesem Zusammenhang wurde betrachtet, wie das Übertragungsprotokoll der Vorarbeit an das einer anderen Vorarbeit adaptiert werden kann.

Mit Hilfe von ausgesuchten Sensoren wurde dann eine Abschätzung des zu erwartenden Overheads gemacht, bei der ebenfalls Konzepte zu der fehlersicheren Übertragung von Nachrichten diskutiert wurden.

Die bereits bestehende Software des Batteriemodulcontrollers wurde um eine lwIP-Ethernet Schnittstelle erweitert, sodass die Daten von den Batteriezellencontrollern an einen externen Computer übertragen werden können. Dabei wurde ein Matlab-Skript entwickelt, das die Daten von dem Batteriemodulcontroller abfragen und darstellen kann. Dieses verfügt zudem über eine Benutzerführung zur einfachen Bedienbarkeit.

Abschließend wurden aussagefähige Tests der einzelnen Komponenten und des gesamten Funktionsaufbaus, anhand von aussagefähigen Testmustern, durchgeführt, um dessen Funktion nachweisen zu können.

Zusammenfassend konnten so weitere wertvolle Erkenntnisse über das Thema der optischen Datenkommunikation von Batteriemodulen in Elektrofahrzeugen gewonnen werden, die einen guten Ausgangspunkt für weitere Arbeiten darstellen.



## 6.2 Offene Punkte und Ausblick

Im Rahmen von weiteren Arbeiten ist zu untersuchen, wie der Lichtleitkörper verbessert werden kann hinsichtlich Übertragung, Robustheit, Fertigungsvarianten usw. Darüber hinaus sind weitere Untersuchungen zu der verwendeten Hardware durchzuführen, etwa wie die Sendeleistung verbessert werden kann, Energieverbrauch gesenkt werden kann und wie die Effizienz verbessert werden kann.

Außerdem sind weitere Untersuchungen zum Thema Zeitverhalten des theoretisch betrachteten Übertragungsprotokolls durchzuführen und weitere Konzepte der Synchronisation zwischen Batteriemodulcontroller und Batteriezellencontroller zu erarbeiten. In diesem Zusammenhang ist auch die Thematik der Messsynchronisation für den Funktionsaufbau weiter zu untersuchen.

# Literaturverzeichnis

- [1] *E4.1.1 Anforderungen-Sensorverfahren-v03-2020-09-04*. Hochschule für Angewandte Wissenschaften Hamburg, 2021
- [2] AG, Infineon T.: *Evaluation Board For XMC1000 Family XMC 2Go Kit with XMC1100 Kit Version 1.0*. Infineon Technologies AG, 2014. – URL [https://www.infineon.com/dgdl/Board\\_Users\\_Manual\\_XMC\\_2Go\\_Kit\\_with\\_XMC1100\\_R1.0.pdf?fileId=db3a3043444ee5dc014453d6c75078c6](https://www.infineon.com/dgdl/Board_Users_Manual_XMC_2Go_Kit_with_XMC1100_R1.0.pdf?fileId=db3a3043444ee5dc014453d6c75078c6)
- [3] AG, Infineon T.: *Oscillator handling*. Infineon Technologies AG, 2016. – URL [https://www.infineon.com/dgdl/Infineon-ApplicationNote\\_AP32321\\_Oscillator\\_Handling-AN-v01\\_00-EN.pdf?fileId=5546d46253f65057015471bc512f774b](https://www.infineon.com/dgdl/Infineon-ApplicationNote_AP32321_Oscillator_Handling-AN-v01_00-EN.pdf?fileId=5546d46253f65057015471bc512f774b)
- [4] AG, Infineon T.: *XMC4700 / XMC4800 Microcontroller Series for Industrial Applications*. Infineon Technologies AG, 2018. – URL [https://www.infineon.com/dgdl/Infineon-XMC4700-XMC4800-DS-v01\\_01-EN.pdf?fileId=5546d462518ffd850151908ea8db00b3](https://www.infineon.com/dgdl/Infineon-XMC4700-XMC4800-DS-v01_01-EN.pdf?fileId=5546d462518ffd850151908ea8db00b3)
- [5] AG, Infineon T.: *KIT-XMC-2GO-XMC1100-V1*. Infineon Technologies AG, 2021. – URL [https://www.infineon.com/cms/de/product/evaluation-boards/kit\\_xmc\\_2go\\_xmc1100\\_v1/](https://www.infineon.com/cms/de/product/evaluation-boards/kit_xmc_2go_xmc1100_v1/)
- [6] AG, Infineon T.: *KIT-XMC47-RELAX-V1*. Infineon Technologies AG, 2021. – URL [https://www.infineon.com/cms/de/product/evaluation-boards/kit\\_xmc47\\_relax\\_v1/](https://www.infineon.com/cms/de/product/evaluation-boards/kit_xmc47_relax_v1/)
- [7] ELECTRONICS, Digi-Key: *TFDU4101-TR3*. Digi-Key Electronics, 2021. – URL <https://www.digikey.ch/product-detail/de/vishay-semiconductor-opto-division/TFDU4101-TR3/751-1070-1-ND/1681420>

- [8] ERNSTING, Jonas: *Funktionsdemonstrator für die optische Messdatenübertragung in Fahrzeugbatterien*. Hochschule für Angewandte Wissenschaften Hamburg, 2021
- [9] H, M.: *Anzahl Akkuzellen in E-Autos*. e-auto-journal.de, 2018. – URL <https://e-auto-journal.de/anzahl-akkuzellen-in-e-autos/>
- [10] SASSANO, Nico: *Hard- und Softwareentwicklung für einen drahtlos kommunizierenden Batterie-Zellensensor mit funksynchronisierter Messung*. Hochschule für Angewandte Wissenschaften Hamburg, 2013. – URL <https://reposit.haw-hamburg.de/handle/20.500.12738/6310>
- [11] SASSANO, Nico: *Entwicklung eines Messsystems zur funksynchronisierten elektrochemischen Impedanzspektroskopie an Batterie-Zellen*. Hochschule für Angewandte Wissenschaften Hamburg, 2015. – URL <https://reposit.haw-hamburg.de/handle/20.500.12738/75849>
- [12] SEMICONDUCTORS, Vishay: *Infrared Data Communication According the IrDA® Standard Part 2: Protocol IrDA Protocol Stack*. Vishay Semiconductors, 2021. – URL <https://www.vishay.com/docs/82504/protocol.pdf>
- [13] SEMICONDUCTORS, Vishay: *TFDU4101 Product Information*. Vishay Semiconductors, 2021. – URL <https://www.vishay.com/product?docid=81288&tab=documents>

# A Anhang

## A.1 Prüfprotokolle

### A.1.1 Batteriezellencontroller

#### Test Zellcontroller-Software

Lfd. Nr.	Inhalt	Bemerkung
Z1	Rote LED Datentransfer	Erfolgt (visuell)
Z2	Gelbe LED Datentransfer	Erfolgt (visuell)
Z3	Variation Potentiometer	Erfolgt (Debugger)
Z4	Kodierschalter + Taster	Adressänderung + Bestätigung (Debugger)
Z5	IrDA Transceiver Übertragung	Erfolgt (Debugger)
Z6	Auswertung erhaltene Kommando	Erfolgt (Debugger)
Z7	DAVE APPS korrekt parametriert	Erfolgt (Debugger)
Z8	Korrekte Datenübergabe	Erfolgt (Debugger)

### A.1.2 Batteriemodulcontroller

#### Test Modulcontroller-Software

Lfd. Nr.	Inhalt	Bemerkung
M1	Rote LED Datentransfer IrDA	Erfolgt (visuell)
M2	Rote LED Datentransfer UDP	Erfolgt (visuell)
M3	IrDA Transceiver Übertragung	Erfolgt (Debugger)
M4	Auswertung erhaltene Kommando UART	Erfolgt (Debugger)
M5	Auswertung erhaltene Kommando UDP	Erfolgt (Debugger)
M6	DAVE APPS korrekt parametrisiert	Erfolgt (Debugger)
M7	Korrekte Datenabfrage der Zellencontroller	Erfolgt (Debugger)

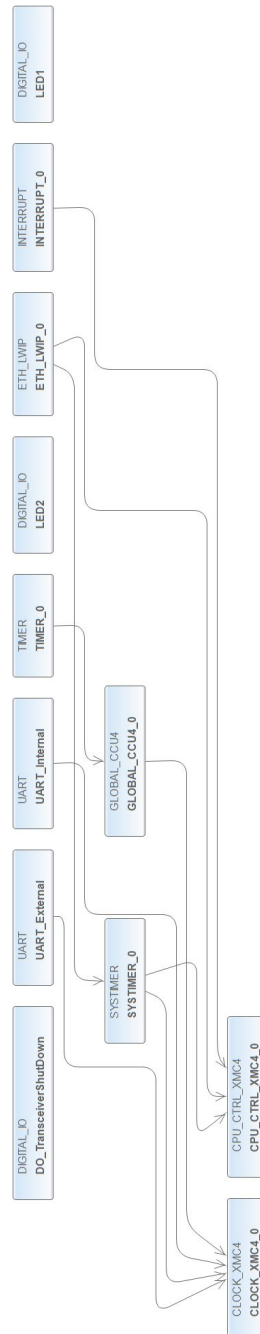
### A.1.3 PC Software zur Steuerung und Visualisierung

#### Test Matlab-Software

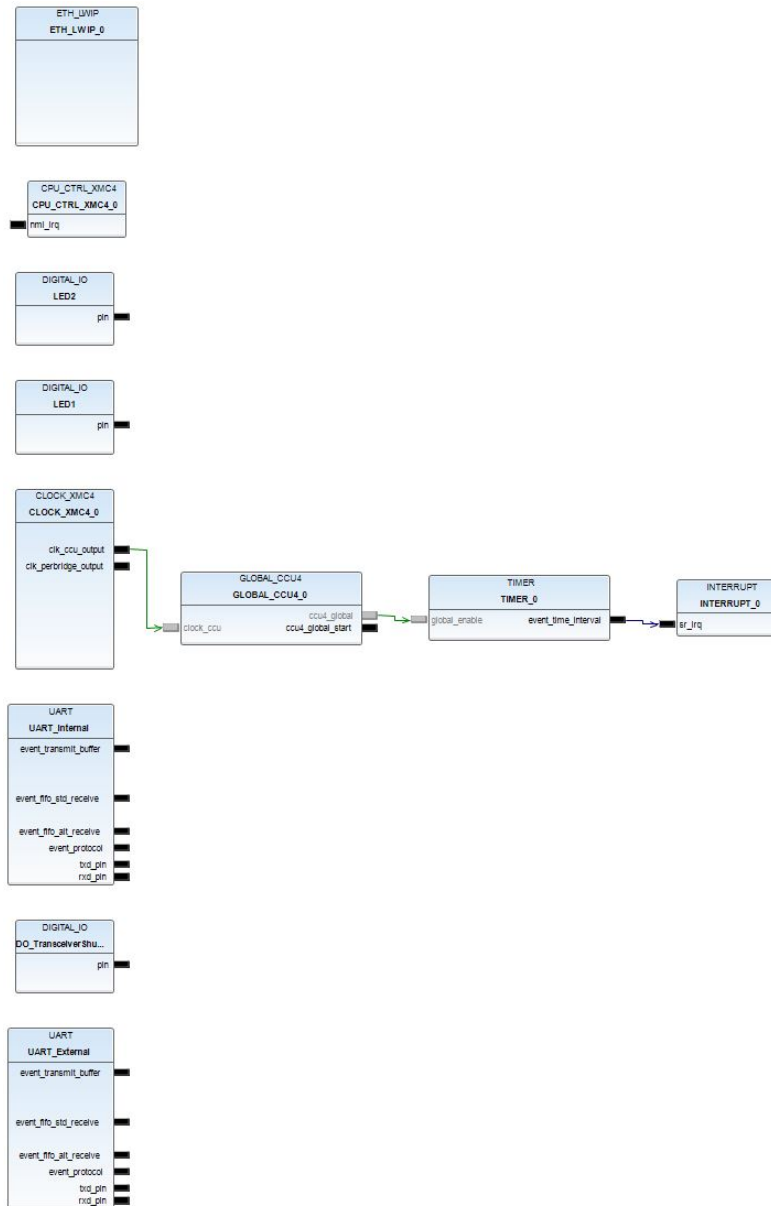
Lfd. Nr.	Inhalt	Bemerkung
MA1	Ausgabe der Überschriften	Erfolgt (Debugger)
MA2	Verarbeitung der Benutzereingaben	Erfolgt (Debugger)
MA3	Fehlerbehandlung	Erfolgt (Debugger)
MA4	Übergabe der Nachricht an UDP Schnittstelle	Erfolgt (Debugger)
MA5	Visualisierung der empfangenen Daten	Erfolgt (Debugger)
MA6	UDP Schnittstelle korrekt parametrisiert	Erfolgt (Debugger)
MA7	Übergabe von Kommandos an UDP-Schnittstelle	Erfolgt (Debugger)

## A.2 Konfiguration

### A.2.1 APP Abhängigkeit der DAVE-APPs des Batteriemodulcontrollers



## A.2.2 Hardwareverbindungen der DAVE-APPs des Batteriemodulcontrollers





### A.2.3 Konfiguration der DAVE-APPs des Batteriemodulcontrollers

<b>Registerkarte</b>	<b>Einstellung</b>	<b>Wert</b>
Interrupt Settings	Enable interrupt at initialization	true
Interrupt priority	Preemption priority	63
Interrupt priority	Subpriority	0
Interrupt handler	Timer0_Handler	

Tabelle A.1: Konfiguration der DAVE-APP INTERRUPT mit dem Namen INTERRUPT\_0

<b>Registerkarte</b>	<b>Einstellung</b>	<b>Wert</b>
General Settings	Select timer module	CCU4
General Settings	Time interval [usec]	1000
General Settings	Start after initialization	false
Event Settings	Time interval event	true

Tabelle A.2: Konfiguration der DAVE-APP TIMER mit dem Namen TIMER\_0

Registerkarte	Einstellung	Wert
General Settings	Enable netif hostname	XMC4700
General Settings	Enable callback to notify netif status changed	false
General Settings	Enable RTOS	false
General Settings	Enable debug messages	false
General Settings	Enable assertions and error messages	false
General Settings	Enable statistics collection	false
Network Interface	MII interface mode	RMII
Network Interface	PHY device	KSZ8081RNB
Network Interface	PHY address	0
Network Interface	Enable autonegotiation	true
Network Interface	MAC address	00:03:19:45:00:00
Network Interface	Number of receive buffers	4
Network Interface	Number of transmit buffers	4
Network Interface	Enable promiscuous mode	false
Network Interface	Accept broadcast frames	true
Network Interface	Poll for received data	false
Network Interface	Preemption priority	62
Network Interface	Subpriority	0
IP Settings	Use DHCP	false
IP Settings	IP address	192.168.10
IP Settings	Subnet mask	255.255.255.0
IP Settings	Gateway address	192.168.0.1
IP Settings	Enable IP options	false
IP Settings	Enable IP fragmentation	false
IP Settings	Enable IP reassembly	false
IP Settings	Max. transmission unit (MTU)	1500
IP Settings	Default time to live (TTL)	255
Protocol Settings	ARP table size	10
Protocol Settings	Enable AUTOIP	false
Protocol Settings	Enable ICMP	false
Protocol Settings	Enable IGMP	false
Protocol Settings	Enable DNS	false
Protocol Settings	Enable SNMP	false
Protocol Settings	Maximum segment size (TCP_MSS)	536
Protocol Settings	Window size (TCP_WND)	2144
Protocol Settings	TCP sender buffer space [bytes] (TCP_SND_BUF)	1072
Protocol Settings	TCP sender buffer space [pbufs] (TCP_SND_QUEUELEN)	8
Protocol Settings	Enable UDP	true
Memory Settings	Heap size (MEM_SIZE)	1600
Memory Settings	Packet buffer pool size (PBUF_POOL_SIZE)	16
Memory Settings	Number of memp struct pbufs (MEMP_NUM_BPUF)	16
Memory Settings	Number of raw connection PCBs (MEMP_NUM_RAW_PCB)	4
Memory Settings	Simultaneously active UDP connections (MEMP_NUM_UDP_PCB)	4
Memory Settings	Simultaneously active TCP connections (MEMP_NUM_TCP_PCB)	5
Memory Settings	Listening TCP connections (MEMP_NUM_TCP_PCB_LISTEN)	5
Memory Settings	Simultaneously queued TCP segments (MEM_NUM_TCP_SEG)	8
Memory Settings	Simultaneously queued pbufs waiting for ARP response (MEM_NUM_ARP_QUEUE)	30

Abbildung A.1: Konfiguration der DAVE-APP ETH\_LWIP mit dem Namen ETH\_LWIP\_0

## A.3 Quelltexte

### A.3.1 Quelltexte Batteriemodulcontroller

Listing A.1: Quelltext zum lesen der ersten Daten aus dem UART-Eingangspuffer um die Adresse und die ersten Daten zu extrahieren und zu speichern

```
breaklines
1  /*
2  * external_uart_receive_first.c
3  *
4  * Created on: 10 Aug 2021
5  * Author: Fabian Mahler
6  */
7
8  #include <DAVE.h> //Declarations from DAVE Code Generation (includes SFR
    declaration)
9  #include <stdio.h> // for sprintf, (char *__restrict, const char *__restrict, ...)
10 #include "external_uart_receive_first.h"
11 #include "globals.h"
12
13
14
15 /**
16 * If the UART input buffer is not empty, read the first (oldest) data from the
    UART input buffer to extract and save the address and first (oldest) data.
17 * returns true if data was available
18 */
19 bool externalUART_receiveFirst()
20 {
21     bool dataAvailable = false;
22
23     if(!UART_IsRXFIFOEmpty(&UART_External)) // read oldest data from receive
        FIFO and thereby shift all receive FIFO data
24     {
25         externalUART_inputBuffer = UART_GetReceivedWord(&UART_External);
26         externalUART_inputAddress = (uint8_t) ((externalUART_inputBuffer &
            EXTERNAL_UART_MASK_ADDRESS) >>
            EXTERNAL_UART_NUMBER_OF_BITS_DATA);
27         externalUART_inputData = (uint8_t) (externalUART_inputBuffer &
            EXTERNAL_UART_MASK_DATA);
28         dataAvailable = true; // indicate that data has been received
29     }
30
31     return dataAvailable; // indicate that no data has been received
32 }
```

Listing A.2: Headerfile mit Prototyp für das Listing A.1

```
breaklines
1  /*
2  *  external_uart_receive_first.h
3  *
4  *   Created on: 10 Aug 2021
5  *   Author: Fabian Mahler
6  */
7
8  #ifndef EXTERNAL_UART_RECEIVE_FIRST_H_
9  #define EXTERNAL_UART_RECEIVE_FIRST_H_
10
11 // Prototype
12 extern bool externalUART_receiveFirst();
13
14 #endif /* EXTERNAL_UART_RECEIVE_FIRST_H_ */
```

Listing A.3: Quelltext zum lesen der letzten Daten aus dem UART-Eingangspuffer

```
breaklines
1  /*
2  * external_uart_receive_last.c
3  *
4  *   Created on: 10 Aug 2021
5  *   Author: Fabian Mahler
6  */
7
8  #include <DAVE.h> //Declarations from DAVE Code Generation (includes SFR
    declaration)
9  #include <stdio.h> // for sprintf, (char *__restrict, const char *__restrict, ...)
10 #include "external_uart_receive_last.h"
11 #include "globals.h"
12
13 /**
14  * First check whether reception is in progress and if so, wait until it's
    finished.
15  * Then, if the UART input buffer is not empty, read the first (oldest) data from
    the UART input buffer until it is empty to save the last (newest) data.
16  * This discards all older received data in the UART input buffer.
17  * returns true if data was available
18  */
19
20 bool externalUART_receiveLast()
21 {
22     bool dataAvailable = false;
23
24     while(UART_IsRxBusy(&UART_External)); // wait for any running reception to
        finish
25
26     while(!UART_IsRXFIFOEmpty(&UART_External)) // read oldest data from
        receive FIFO and thereby shift all receive FIFO data until the receive
        FIFO is empty to get the latest received data
27     {
28         externalUART_inputBuffer = UART_GetReceivedWord(&UART_External);
29         externalUART_inputAddress = (uint8_t) ((externalUART_inputBuffer &
            EXTERNAL_UART_MASK_ADDRESS) >>
            EXTERNAL_UART_NUMBER_OF_BITS_DATA);
30         externalUART_inputData = (uint8_t) (externalUART_inputBuffer &
            EXTERNAL_UART_MASK_DATA);
31         dataAvailable = true; // indicate that data has been received
32     }
33
34     return dataAvailable; // indicate whether data has been received
35 }
```

Listing A.4: Headerfile mit Prototyp für das Listing A.3

```
breaklines
1  /*
2  *  external_uart_receive_last.h
3  *
4  *   Created on: 10 Aug 2021
5  *   Author: Fabian Mahler
6  */
7
8  #ifndef EXTERNAL_UART_RECEIVE_LAST_H_
9  #define EXTERNAL_UART_RECEIVE_LAST_H_
10
11 // Prototype
12 bool externalUART_receiveLast ();
13
14 #endif /* EXTERNAL_UART_RECEIVE_LAST_H_ */
```

## Listing A.5: Quelltext zum Übergeben eines Symbols mittels UART

```
breaklines
1  /*
2  *  external_uart_transmit.c
3  *
4  *   Created on: 10 Aug 2021
5  *   Author: Fabian Mahler
6  */
7
8  #include <DAVE.h> //Declarations from DAVE Code Generation (includes SFR
   declaration)
9  #include <stdio.h> // for sprintf, (char *__restrict, const char *__restrict, ...)
10 #include "external_uart_transmit.h"
11 #include "globals.h"
12
13 /**
14  * transmit one symbol via UART
15  */
16 void externalUART_transmit(void)
17 {
18     externalUART_outputBuffer = (externalUART_outputAddress <<
   EXTERNAL_UART_NUMBER_OF_BITS_DATA) | externalUART_outputData; // set
   output buffer
19     while(UART_IsTxBusy(&UART_External)); // wait for previous transmission to
   finish
20     UART_Transmit(&UART_External, &externalUART_outputBuffer, 1U);
21 }
```



Listing A.6: Headerfile mit Prototyp für das Listing A.5

```
breaklines
1  /*
2  *  external_uart_transmit.h
3  *
4  *   Created on: 10 Aug 2021
5  *   Author: Fabian Mahler
6  */
7
8  #ifndef EXTERNAL_UART_TRANSMIT_H_
9  #define EXTERNAL_UART_TRANSMIT_H_
10
11 // Prototype
12 extern void externalUART_transmit(void);
13
14 #endif /* EXTERNAL_UART_TRANSMIT_H_ */
```

Listing A.7: Quelltext zum Übergeben eines String mittels UART

```
breaklines
1  /*
2   * external_uart_transmit_string.c
3   *
4   *   Created on: 10 Aug 2021
5   *   Author: Fabian Mahler
6   */
7
8  #include <DAVE.h> //Declarations from DAVE Code Generation (includes SFR
   declaration)
9  #include <stdio.h> // for sprintf, (char *__restrict, const char *__restrict, ...)
10 #include "external_uart_transmit_string.h"
11 #include "globals.h"
12
13 /**
14  * transmit a string via UART
15  */
16 void externalUART_transmitString(char *pointer)
17 {
18     UART_Transmit(&UART_External, (uint8_t*) pointer, strlen(pointer));
19 }
```

Listing A.8: Headerfile mit Prototyp für das Listing A.7

```
breaklines
1  /*
2  *  external_uart_transmit_string.h
3  *
4  *   Created on: 10 Aug 2021
5  *   Author: Fabian Mahler
6  */
7
8  #ifndef EXTERNAL_UART_TRANSMIT_STRING_H_
9  #define EXTERNAL_UART_TRANSMIT_STRING_H_
10
11  // Prototype
12  void externalUART_transmitString(char *pointer);
13
14
15  #endif /* EXTERNAL_UART_TRANSMIT_STRING_H_ */
```

Listing A.9: Quelltext zum Senden einer Nachricht vom externen Gerät über externen UART an die Batteriezellencontroller mittels internen UART und Rückgabe der ersten Antwort

```
breaklines
1 /*
2  * forward_command_and_wait_for_answer.c
3  *
4  * Created on: 10 Aug 2021
5  * Author: Fabian Mahler
6  */
7
8 #include <DAVE.h> //Declarations from DAVE Code Generation (includes SFR
   declaration)
9 #include <stdio.h> // for sprintf, (char *__restrict, const char *__restrict, ...)
10 #include "forward_command_and_wait_for_answer.h"
11 #include "globals.h"
12
13
14 /**
15  * forward the message from the external device via external UART to the slaves
   via internal UART and return the first answer of slave
16  * or a timeout message if the slave didn't respond
17  */
18 void forwardCommandAndWaitForAnswer(void)
19 {
20     internalUART_outputAddress = externalUART_inputAddress;
21     internalUART_outputData = externalUART_inputData;
22     internalUART_transmit();
23
24     oneShotTimerStart(INTERNAL_UART_COMMAND_RESPONSE_TIMEOUT_IN_US, false); //
   start timer for response timeout
25
26     // wait for answer of any slave or until
   INTERNAL_UART_COMMAND_RESPONSE_TIMEOUT_IN_US has elapsed
27     while(true)
28     {
29         // check and handle newly received command from the external
   device
30         if(internalUART_receiveFirst()) // check for new received data
31         {
32             // abort execution
33             if(externalUART_inputData ==
   EXTERNAL_UART_COMMANDMESSAGE_ABORT)
34             {
35                 oneShotTimerElapsed(); // stop timer
36                 externalUART_outputAddress =
   EXTERNAL_UART_ADDRESS_EXTERNAL;
37                 externalUART_outputData =
   EXTERNAL_UART_COMMANDMESSAGE_ABORT;
```

```
38         externalUART_transmit();
39         break; // exit while loop
40     }
41     // inform external device that command is being ignored
42     else
43     {
44         externalUART_outputAddress =
45             EXTERNAL_UART_ADDRESS_EXTERNAL;
46         externalUART_outputData =
47             EXTERNAL_UART_MESSAGE_COMMAND_IGNORED;
48         externalUART_transmit();
49     }
50     // transmission received from the slave
51     else if(internalUART_receiveLast()) // check for new received data
52     {
53         oneShotTimerElapsed(); // stop timer
54         externalUART_outputAddress = internalUART_inputAddress;
55         externalUART_outputData = internalUART_inputData;
56         externalUART_transmit();
57         break; // exit while loop
58     }
59     // timeout; slave didn't answer
60     else if (!oneShotTimer.running)
61     {
62         externalUART_outputAddress =
63             EXTERNAL_UART_ADDRESS_EXTERNAL;
64         externalUART_outputData =
65             EXTERNAL_UART_MESSAGE_SLAVE_DOESNT_RESPOND;
66         externalUART_transmit();
67         break; // exit while loop
68     }
69 }
```

Listing A.10: Headerfile mit Prototyp für das Listing A.9

```
breaklines
1  /*
2  * forward_command_and_wait_for_answer.h
3  *
4  * Created on: 10 Aug 2021
5  * Author: Fabian Mahler
6  */
7
8  #ifndef FORWARD_COMMAND_AND_WAIT_FOR_ANSWER_H_
9  #define FORWARD_COMMAND_AND_WAIT_FOR_ANSWER_H_
10
11 // Prototype
12 extern void forwardCommandAndWaitForAnswer(void);
13
14 #endif /* FORWARD_COMMAND_AND_WAIT_FOR_ANSWER_H_ */
```

Listing A.11: Quelltext zum lesen der ersten Daten aus dem internen UART-Eingangspuffer um die Adresse und die ersten Daten zu extrahieren und zu speichern

```
breaklines
1 /*
2  * internal_uart_receive_first.c
3  *
4  * Created on: 10 Aug 2021
5  * Author: Fabian Mahler
6  */
7 #include <DAVE.h> //Declarations from DAVE Code Generation (includes SFR
   declaration)
8 #include <stdio.h> // for sprintf, (char * __restrict, const char * __restrict, ...)
9 #include "internal_uart_receive_first.h"
10 #include "globals.h"
11
12 /**
13  * If the UART input buffer is not empty, read the first (oldest) data from the
   UART input buffer to extract and save the address and first (oldest) data.
14  * returns true if data was available
15  */
16 bool internalUART_receiveFirst()
17 {
18     bool dataAvailable = false;
19
20     if(!UART_IsRXFIFOEmpty(&UART_Internal)) // read oldest data from receive
   FIFO and thereby shift all receive FIFO data
21     {
22         internalUART_inputBuffer = UART_GetReceivedWord(&UART_Internal);
23         internalUART_inputAddress = (uint8_t) ((internalUART_inputBuffer &
   INTERNAL_UART_MASK_ADDRESS) >>
   INTERNAL_UART_NUMBER_OF_BITS_DATA);
24         internalUART_inputData = (uint8_t) (internalUART_inputBuffer &
   INTERNAL_UART_MASK_DATA);
25         dataAvailable = true; // indicate that data has been received
26     }
27
28     return dataAvailable; // indicate that no data has been received
29 }
```

Listing A.12: Headerfile mit Prototyp für das Listing A.11

```
breaklines
1  /*
2  *  internal_uart_receive_first.h
3  *
4  *   Created on: 10 Aug 2021
5  *   Author: Fabian Mahler
6  */
7
8  #ifndef INTERNAL_UART_RECEIVE_FIRST_H_
9  #define INTERNAL_UART_RECEIVE_FIRST_H_
10
11 // Prototype
12 bool internalUART_receiveFirst();
13
14 #endif /* INTERNAL_UART_RECEIVE_FIRST_H_ */
```



Listing A.13: Quelltext zum lesen der letzten Daten aus dem internen UART-Eingangspuffer um die Adresse und die ersten Daten zu extrahieren und zu speichern

```
breaklines
1 /*
2  * internal_uart_receive_last.c
3  *
4  * Created on: 10 Aug 2021
5  * Author: Fabian Mahler
6  */
7
8 #include <DAVE.h> //Declarations from DAVE Code Generation (includes SFR
   declaration)
9 #include <stdio.h> // for sprintf, (char *__restrict, const char *__restrict, ...)
10 #include "internal_uart_receive_last.h"
11 #include "globals.h"
12
13 /**
14  * First check whether reception is in progress and if so, wait until it's
   finished.
15  * Then, if the UART input buffer is not empty, read the first (oldest) data from
   the UART input buffer until it is empty to save the last (newest) data.
16  * This discards all older received data in the UART input buffer.
17  * returns true if data was available
18  */
19 bool internalUART_receiveLast()
20 {
21     bool dataAvailable = false;
22
23     while(UART_IsRxBusy(&UART_Internal)); // wait for any running reception to
   finish
24
25     while(!UART_IsRXFIFOEmpty(&UART_Internal)) // read oldest data from
   receive FIFO and thereby shift all receive FIFO data until the receive
   FIFO is empty to get the latest received data
26     {
27         internalUART_inputBuffer = UART_GetReceivedWord(&UART_Internal);
28         internalUART_inputAddress = (uint8_t) ((internalUART_inputBuffer &
   INTERNAL_UART_MASK_ADDRESS) >>
   INTERNAL_UART_NUMBER_OF_BITS_DATA);
29         internalUART_inputData = (uint8_t) (internalUART_inputBuffer &
   INTERNAL_UART_MASK_DATA);
30         dataAvailable = true; // indicate that data has been received
31     }
32
33     return dataAvailable; // indicate that no data has been received
34 }
```

Listing A.14: Headerfile mit Prototyp für das Listing A.13

```
breaklines
1  /*
2   * internal_uart_receive_last.h
3   *
4   *   Created on: 10 Aug 2021
5   *   Author: Fabian Mahler
6   */
7
8  #ifndef INTERNAL_UART_RECEIVE_LAST_H_
9  #define INTERNAL_UART_RECEIVE_LAST_H_
10
11 // Prototype
12 extern bool internalUART_receiveLast();
13
14 #endif /* INTERNAL_UART_RECEIVE_LAST_H_ */
```

Listing A.15: Quelltext zum Übertragen eines Symbols mittels der internen UART-Schnittstelle

```
breaklines
1  /*
2  * internal_uart_transmit.c
3  *
4  * Created on: 10 Aug 2021
5  * Author: Fabian Mahler
6  */
7  #include <DAVE.h> //Declarations from DAVE Code Generation (includes SFR
    declaration)
8  #include <stdio.h> // for sprintf, (char *__restrict, const char *__restrict, ...)
9  #include "internal_uart_transmit.h"
10 #include "globals.h"
11
12
13 /**
14 * transmit one symbol via UART
15 * Any received data which was received while sending data is discarded.
16 */
17 void internalUART_transmit(void)
18 {
19     /*
20     * The while loops "while(UART_IsTxBusy(&UART_Internal) || UART_IsRxBusy(&
        UART_Internal))" before and after the function
21     * "UART_Transmit(const UART_t * const handle, uint8_t * data_ptr,
        uint32_t count)" shouldn't be necessary when receive mode
22     * is set to "direct" which blocks the CPU until all data is sent or
        received.
23     * (See description of function "UART_lStartTransmitPolling(const UART_t *
        const handle, uint8_t* data_ptr, uint32_t count)" and
24     * "UART_lStartReceivePolling(const UART_t *const handle, uint8_t*
        data_ptr, uint32_t count)" in "Dave\Generated\UART\uart.c".)
25     */
26     internalUART_outputBuffer = (internalUART_outputAddress <<
        INTERNAL_UART_NUMBER_OF_BITS_DATA) | internalUART_outputData; // set
        output buffer
27     while(UART_IsTxBusy(&UART_Internal) || UART_IsRxBusy(&UART_Internal)); //
        wait for previous transmission or reception to finish
28     UART_Transmit(&UART_Internal, &internalUART_outputBuffer, 1U); // transmit
        contents of output buffer
29     while(UART_IsTxBusy(&UART_Internal) || UART_IsRxBusy(&UART_Internal)); //
        wait for transmission or reception to finish
30     while(!internalUART_receiveLast()); // wait for echoed data from the IrDA
        transmitter and discard it
31 }
```

Listing A.16: Headerfile mit Prototyp für das Listing A.15

```
breaklines
1  /*
2  *  internal_uart_transmit.h
3  *
4  *   Created on: 10 Aug 2021
5  *   Author: Fabian Mahler
6  */
7
8  #ifndef INTERNAL_UART_TRANSMIT_H_
9  #define INTERNAL_UART_TRANSMIT_H_
10
11 // Prototype
12 extern void internalUART_transmit(void);
13
14 #endif /* INTERNAL_UART_TRANSMIT_H_ */
```

Listing A.17: Quelltext für Callback-Funktion des One Shot Timers

```
breaklines
1  /*
2  *  one_shot_timer_elapsed.c
3  *
4  *   Created on: 10 Aug 2021
5  *   Author: Fabian Mahler
6  */
7  #include <DAVE.h> //Declarations from DAVE Code Generation (includes SFR
      declaration)
8  #include <stdio.h> // for sprintf, (char *__restrict, const char *__restrict, ...)
9  #include "one_shot_timer_elapsed.h"
10 #include "globals.h"
11
12 /**
13  * callback function of on shot timer
14  * stop timer and indicate that timer has elapsed
15  */
16 void oneShotTimerElapsed(void)
17 {
18     // stop software timer
19     SYSTIMER_StopTimer(oneShotTimer.id);
20
21     oneShotTimer.running = false;
22 }
```

Listing A.18: Headerfile mit Prototyp für das Listing A.17

```
breaklines
1  /*
2  *  one_shot_timer_elapsed.h
3  *
4  *   Created on: 10 Aug 2021
5  *   Author: Fabian Mahler
6  */
7
8  #ifndef ONE_SHOT_TIMER_ELAPSED_H_
9  #define ONE_SHOT_TIMER_ELAPSED_H_
10
11 // Prototype
12 extern void oneShotTimerElapsed(void);
13
14 #endif /* ONE_SHOT_TIMER_ELAPSED_H_ */
```

Listing A.19: Quelltext für Start und Restart des One Shot Timers

```
breaklines
1  /*
2  *  one_shot_timer_start.c
3  *
4  *   Created on: 10 Aug 2021
5  *   Author: Fabian Mahler
6  */
7  #include <DAVE.h> //Declarations from DAVE Code Generation (includes SFR
      declaration)
8  #include <stdio.h> // for sprintf, (char *__restrict, const char *__restrict, ...)
9  #include "one_shot_timer_start.h"
10 #include "globals.h"
11
12
13 /**
14  * restart software timer and check whether software timer restart failed
15  */
16 void oneShotTimerStart(uint32_t timeToWait, bool waitForTimerToElapse)
17 {
18     if(SYSTIMER_RestartTimer(oneShotTimer.id, timeToWait) ==
19         SYSTIMER_STATUS_SUCCESS)
20     {
21         oneShotTimer.running = true;
22     }
23     else // error handler code
24     {
25         XMC_DEBUG("\nTimer start failed\n");
26         while(true);
27     }
28     // wait for one shot timer to elapse
29     if(waitForTimerToElapse)
30     {
31         while(oneShotTimer.running);
32     }
33 }
34 }
```

Listing A.20: Headerfile mit Prototyp für das Listing A.19

```
breaklines
1  /*
2  *  one_shot_timer_start.h
3  *
4  *   Created on: 10 Aug 2021
5  *   Author: Fabian Mahler
6  */
7
8  #ifndef ONE_SHOT_TIMER_START_H_
9  #define ONE_SHOT_TIMER_START_H_
10
11 // Prototype
12 extern void oneShotTimerStart(uint32_t timeToWait, bool waitForTimerToElapse);
13
14 #endif /* ONE_SHOT_TIMER_START_H_ */
```



Listing A.21: Quelltext für Callback-Funktion des periodischen Timers

```
breaklines
1  /*
2  *  slave_data_update_periodic_timer_elapsed.c
3  *
4  *   Created on: 10 Aug 2021
5  *   Author: Fabian Mahler
6  */
7
8  #include <DAVE.h> //Declarations from DAVE Code Generation (includes SFR
    declaration)
9  #include <stdio.h> // for sprintf, (char *__restrict, const char *__restrict, ...)
10 #include "slave_data_update_periodic_timer_elapsed.h"
11 #include "globals.h"
12
13 volatile bool slaveDataUpdateFlag; // true if an update of slave data is required
14
15
16 /**
17 * callback function of on periodic timer
18 * set flag to indicate that the periodic timer has elapsed
19 */
20 void slaveDataUpdatePeriodicTimerElapsed(void)
21 {
22     slaveDataUpdateFlag = true; // set flag
23 }
```

Listing A.22: Headerfile mit Prototyp für das Listing A.21

```
breaklines
1  /*
2  *  slave_data_update_periodic_timer_elapsed.h
3  *
4  *   Created on: 10 Aug 2021
5  *   Author: Fabian Mahler
6  */
7
8  #ifndef SLAVE_DATA_UPDATE_PERIODIC_TIMER_ELAPSED_H_
9  #define SLAVE_DATA_UPDATE_PERIODIC_TIMER_ELAPSED_H_
10
11  // Prototype
12  extern void slaveDataUpdatePeriodicTimerElapsed(void);
13
14  #endif /* SLAVE_DATA_UPDATE_PERIODIC_TIMER_ELAPSED_H_ */
```

Listing A.23: Quelltext für Handler des Timers0

```
breaklines
1  /*
2  *  timer0_handler.c
3  *
4  *   Created on: 12 Aug 2021
5  *   Author: Fabian Mahler
6  */
7  #include <DAVE.h>           //Declarations from DAVE Code Generation (
    includes SFR declaration)
8  #include <stdbool.h>
9  #include <stdint.h>
10 #include <stdio.h>
11 #include <stdlib.h>
12 #include <string.h>
13 #include <math.h>
14 #include "timer0_handler.h"
15 #include "globals.h"
16
17 /**
18 * Timer handler for updating time stamp
19 *
20 */
21 void Timer0_Handler(void)
22 {
23     TIMER_ClearEvent(&TIMER_0);
24
25     t += 1000;           // update time
26
27 }
```

Listing A.24: Headerfile mit Prototyp für das Listing A.23

```
breaklines
1  /*
2   * timer0_handler.h
3   *
4   *   Created on: 12 Aug 2021
5   *   Author: Fabian Mahler
6   */
7
8  #ifndef TIMER0_HANDLER_H_
9  #define TIMER0_HANDLER_H_
10
11 // Prototype
12 extern void Timer0_Handler(void);
13
14 #endif /* TIMER0_HANDLER_H_ */
```

Listing A.25: Headerfile für die globalen Variablen

```
breaklines
1  /*
2  *  globals.h
3  *
4  *   Created on: 10 Aug 2021
5  *   Author: Fabian Mahler
6  */
7
8  #ifndef DAVE_GENERATED_GLOBALS_H_
9  #define DAVE_GENERATED_GLOBALS_H_
10
11
12  #define TRANSCEIVER_STARTUP_TIME_IN_US ((uint32_t) 10000) // 0,5 ms; time the
    transceiver needs after the SD (shutdown) signal goes low before it can
    operate
13
14  #define SLAVE_DATA_UPDATE_TIME_IN_US ((uint32_t) 500000) // 0,5 s; time between
    slave data update (time before flag for update request is set to true again)
15
16  #define REMOTE_PORT 45174
17  #define LOCAL_PORT 45175
18
19  //IP Address Host PC
20  #define IP_ADDR0_PC 192
21  #define IP_ADDR1_PC 168
22  #define IP_ADDR2_PC 0
23  #define IP_ADDR3_PC 5
24
25  #define CELL_ADDR "01"
26
27  //commands from master
28  #define CMD_GET_SINGLE_DATA "01"
29  #define CMD_GET_DATA_CONNECTED "02"
30  #define CMD_GET_ALL_DATA "03"
31  #define CMD_GET_ADDRESS_CONNECTED "04"
32
33
34  #define EXTERNAL_UART_NUMBER_OF_BITS_ADDRESS ((uint32_t) 4) // number of address
    bits
35  #define EXTERNAL_UART_NUMBER_OF_BITS_DATA ((uint32_t) 4) // number of data bits
36
37  #define EXTERNAL_UART_MASK_ADDRESS ((uint8_t) 240) // (2 ^
    EXTERNAL_UART_NUMBER_OF_BITS_ADDRESS - 1U) <<
    EXTERNAL_UART_NUMBER_OF_BITS_DATA; mask for address
38  #define EXTERNAL_UART_MASK_DATA ((uint8_t) 15) // 2 ^
    EXTERNAL_UART_NUMBER_OF_BITS_DATA - 1U; mask for data
39
40  #define EXTERNAL_UART_ADDRESS_MASTER ((uint8_t) 0) // address of master
    transceiver
```

```

41 #define EXTERNAL_UART_ADDRESS_EXTERNAL ((uint8_t) 1) // address of external
    device
42
43 #define EXTERNAL_UART_MESSAGE_UNKNOWN_COMMAND ((uint8_t) 1) //
    message for unknown command
44 #define EXTERNAL_UART_COMMANDMESSAGE_PING ((uint8_t) 2) //
    command and message for requesting a response
45 #define EXTERNAL_UART_MESSAGE_SLAVE_DOESNT_RESPOND ((uint8_t) 3) //
    message for no response received within timeout time
46 #define EXTERNAL_UART_MESSAGE_COMMAND_IGNORED ((uint8_t) 4) //
    message for not executed and ignored command
47 #define EXTERNAL_UART_COMMANDMESSAGE_ABORT ((uint8_t) 5) //
    command and message for aborting current action
48 #define EXTERNAL_UART_COMMAND_SHOW_ALL_AVAILABLE_SLAVE_ADDRESSES ((uint8_t) 7) //
    command for sending addresses of all currently connected slaves
49 #define EXTERNAL_UART_COMMAND_SHOW_DATA_OF_ALL_AVAILABLE_SLAVES ((uint8_t) 8) //
    command for sending data of all currently connected slaves
50 #define EXTERNAL_UART_COMMAND_SHOW_DATA_OF_ALL_SLAVES ((uint8_t) 9) //
    command for sending data of all slaves
51 #define EXTERNAL_UART_COMMAND_TOGGLE_AUTO_UPDATE_SLAVE_DATA ((uint8_t) 10) //
    command for toggling periodic sending of all slave data after it was updated
52 //...
53 // #define EXTERNAL_UART_ ((uint8_t) 15)
    // ...
54
55 // transmission time = (1 + 8 + 1 + 1) / (115200 1/s) = 95,486 us
56 #define EXTERNAL_UART_COMMAND_RESPONSE_TIMEOUT_IN_US ((uint32_t) 1000) // 1000 s
    ; maximum time a slave has to respond to any command
57
58
59 #define INTERNAL_UART_NUMBER_OF_BITS_ADDRESS ((uint32_t) 4) // number of address
    bits
60 #define INTERNAL_UART_NUMBER_OF_BITS_DATA ((uint32_t) 4) // number of data bits
61
62 #define INTERNAL_UART_MASK_ADDRESS ((uint8_t) 240) // (2 ^
    INTERNAL_UART_NUMBER_OF_BITS_ADDRESS - 1U) <<
    INTERNAL_UART_NUMBER_OF_BITS_ADDRESS; mask for address
63 #define INTERNAL_UART_MASK_DATA ((uint8_t) 15) // 2 ^
    INTERNAL_UART_NUMBER_OF_BITS_DATA - 1U; mask for data
64
65 #define INTERNAL_UART_ADDRESS_MASTER ((uint8_t) 0) // address of master
    transceiver
66 #define INTERNAL_UART_ADDRESS_SLAVE_START ((uint8_t) 1) // lowest address of
    first cell slave
67 #define INTERNAL_UART_ADDRESS_SLAVE_END ((uint8_t) 12) // highest address of
    last cell slave
68 #define INTERNAL_UART_ADDRESS_BROADCAST ((uint8_t) 15) // 2 ^
    INTERNAL_UART_NUMBER_OF_BITS_ADDRESS - 1U; broadcast address to reach all bus
    participants
69

```

```

70 #define INTERNAL_UART_MESSAGE_UNKNOWN_COMMAND ((uint8_t) 1) // message for
    unknown command
71 #define INTERNAL_UART_COMMANDMESSAGE_PING ((uint8_t) 2) // command and
    message for requesting a response
72 #define INTERNAL_UART_COMMANDMESSAGE_ABORT ((uint8_t) 3) // command and
    message for aborting current action
73 #define INTERNAL_UART_COMMAND_SEND_ALL_DATA_PACKAGES ((uint8_t) 4) // command for
    sending all available data
74 // ...
75 // #define INTERNAL_UART_ (INTERNAL_UART_MASK_DATA)
    // command for ...
76
77 #define INTERNAL_UART_COMMAND_SEND_ALL_DATA_PACKAGES_MAXIMUM_TRIES ((uint32_t) 2)
    // number of retries of command for sending all data packages
78
79 // transmission time of one character = (1 + 8 + 1 + 1) / (115200 1/s) = 95,486 us
80 #define INTERNAL_UART_COMMAND_RESPONSE_TIMEOUT_IN_US ((uint32_t) 1000) // 1000 s
    ; maximum time a slave has to respond to any command
81
82
83
84 #define SLAVE_DATA_NUMBER_OF_BITS_ROTARY_SWITCH ((uint32_t) 4) // number of
    bits sent by the slave for the rotary switch position (Should be multiple of
    INTERNAL_UART_NUMBER_OF_BITS_DATA.)
85 #define SLAVE_DATA_NUMBER_OF_BITS_POTENTIOMETER_1 ((uint32_t) 12) // number of
    bits sent by the slave for the ADC value of potentiometer 1 (or supply voltage
    ) (Should be multiple of INTERNAL_UART_NUMBER_OF_BITS_DATA.)
86 #define SLAVE_DATA_NUMBER_OF_BITS_POTENTIOMETER_2 ((uint32_t) 12) // number of
    bits sent by the slave for the ADC value of potentiometer 2 (or temperature) (
    Should be multiple of INTERNAL_UART_NUMBER_OF_BITS_DATA.)
87
88 #define SLAVE_DATA_MASK_ROTARY_SWITCH ((uint32_t) 255) // 2 ^
    SLAVE_DATA_NUMBER_OF_BITS_ROTARY_SWITCH - 1U; mask for rotary switch position
    bits to be send to the master
89 #define SLAVE_DATA_MASK_POTENTIOMETER_1 ((uint32_t) 4095) // 2 ^
    SLAVE_DATA_NUMBER_OF_BITS_POTENTIOMETER_1 - 1U; mask for ADC value of
    potentiometer 1 (or supply voltage) bits to be send to the master
90 #define SLAVE_DATA_MASK_POTENTIOMETER_2 ((uint32_t) 4095) // 2 ^
    SLAVE_DATA_NUMBER_OF_BITS_POTENTIOMETER_2 - 1U; mask for ADC value of
    potentiometer 2 (or temperature) bits to be send to the master
91
92 #define SLAVE_DATA_NUMBER_OF_PACKAGES ((SLAVE_DATA_NUMBER_OF_BITS_ROTARY_SWITCH +
    SLAVE_DATA_NUMBER_OF_BITS_POTENTIOMETER_2 +
    SLAVE_DATA_NUMBER_OF_BITS_POTENTIOMETER_1) / INTERNAL_UART_NUMBER_OF_BITS_DATA
    ) // number of transmissions from the slave after
    COMMAND_SEND_ALL_DATA_PACKAGES
93
94
95 extern volatile uint8_t externalUART_inputBuffer; // only read and write in UART
    receive event handler; buffer for received data

```

```
96 extern uint8_t externalUART_outputBuffer; // only read and write in UART
    transmission function; buffer for transmission data
97
98 extern uint8_t externalUART_inputAddress; // source address were the received data
    came from
99 extern uint8_t externalUART_inputData; // data received from source
100
101 extern uint8_t externalUART_outputAddress; // destination address were data will
    be send to
102 extern uint8_t externalUART_outputData; // data to send to destination
103
104 extern volatile bool slaveDataUpdateFlag; // true if an update of slave data is
    required
105
106 extern volatile uint8_t internalUART_inputBuffer; // only read and write in UART
    receive event handler; buffer for received data
107 extern uint8_t internalUART_outputBuffer; // only read and write in UART
    transmission function; buffer for transmission data
108
109 extern uint8_t internalUART_inputAddress; // source address were the received data
    came from
110 extern uint8_t internalUART_inputData; // data received from source
111
112 extern uint8_t internalUART_outputAddress; // destination address were data will
    be send to
113 extern uint8_t internalUART_outputData; // data to send to destination
114
115 extern struct struct_slave {
116     uint8_t address; // address of slave
117     bool connectionState; // state of connection: false: not connected | true:
        connected
118     bool connectionStateChanged; // state of connection changed: false: no
        change | true: if connectionState == true then newly connected else
        connection lost
119     bool connectionProblems; // indicates problems with the communication, if
        a connection is established
120     uint8_t rotarySwitch; // position of rotary switch
121     uint16_t potentiometer1ADC; // ADC value of potentiometer 1; this analog
        input can also be used for supply voltage measurement
122     uint16_t potentiometer2ADC; // ADC value of potentiometer 2; this analog
        input can also be used for temperature measurement
123 };
124
125
126 //extern volatile bool slaveDataUpdateFlag; // true if an update of slave data is
    required
127
128 extern struct struct_oneShotTimer {
129     uint32_t id; // timer ID for controlling one the timer
130     volatile bool running; // true while one shot timer is running
131 };
```



```
132
133 //extern struct struct_oneShotTimer oneShotTimer; // one shot timer parameters
134 struct struct_oneShotTimer oneShotTimer;
135
136 extern uint64_t t; // time stored in MCU
137
138 #endif /* DAVE_GENERATED_GLOBALS_H_ */
```

Listing A.26: Quelltext main() Funktion mit udp Funktion

```
breaklines
1 #include <DAVE.h> //Declarations from DAVE Code Generation (
    includes SFR declaration)
2 #include <stdbool.h>
3 #include <stdint.h>
4 #include <stdio.h>
5 #include <stdlib.h>
6 #include <string.h>
7 #include <math.h>
8
9
10 // include headerfiles
11 #include "globals.h"
12 #include "one_shot_timer_start.h"
13 #include "one_shot_timer_elapsed.h"
14 #include "slave_data_update_periodic_timer_elapsed.h"
15 #include "slave_data_update_periodic_timer_elapsed.h"
16 #include "external_uart_receive_first.h"
17 #include "external_uart_receive_last.h"
18 #include "external_uart_transmit.h"
19 #include "internal_uart_receive_first.h"
20 #include "internal_uart_receive_last.h"
21 #include "internal_uart_transmit.h"
22 #include "forward_command_and_wait_for_answer.h"
23 #include "timer0_handler.h"
24
25
26
27
28 // pointers for udp connection
29 struct udp_pcb *pcb_tr;
30 struct pbuf *p_tx; // transmit buffer
31 ip_addr_t ip_hostpc;
32
33
34
35 uint64_t t = 0; // time stored in MCU
36
37
38
39 struct struct_slave slaveData[INTERNAL_UART_ADDRESS_SLAVE_END -
    INTERNAL_UART_ADDRESS_SLAVE_START + 1U] = {}; // struct array for all slave
    data
40 uint32_t slaveDataNumberOfElements = sizeof(slaveData) / sizeof(slaveData[0]); //
    number of elements in slaveData
41
42
43
```

```

44 bool externalUART_autoUpdateSlaveData = false; // flag that indicates whether all
    slave data shall be send to the external device via UART after it was updated
45
46 uint32_t slavDataUpdatePeriodicTimerID = 0U; // timer ID for controlling the timer
47
48
49 volatile uint8_t externalUART_inputBuffer = 0U; // only read and write in UART
    receive event handler; buffer for received data
50 uint8_t externalUART_outputBuffer = 0U; // only read and write in UART
    transmission function; buffer for transmission data
51
52 uint8_t externalUART_inputAddress = 0U; // source address were the received data
    came from
53 uint8_t externalUART_inputData = 0U; // data received from source
54
55 uint8_t externalUART_outputAddress = 0U; // destination address were data will be
    send to
56 uint8_t externalUART_outputData = 0U; // data to send to destination
57
58
59 volatile uint8_t internalUART_inputBuffer = 0U; // only read and write in UART
    receive event handler; buffer for received data
60 uint8_t internalUART_outputBuffer = 0U; // only read and write in UART
    transmission function; buffer for transmission data
61
62 uint8_t internalUART_inputAddress = 0U; // source address were the received data
    came from
63 uint8_t internalUART_inputData = 0U; // data received from source
64
65 uint8_t internalUART_outputAddress = 0U; // destination address were data will be
    send to
66 uint8_t internalUART_outputData = 0U; // data to send to destination
67
68
69
70
71 /**
72  * send all slave data as a string (table format)
73  */
74 void sendSlaveDataString(bool onlyPrintIfSlaveAvailable)
75 {
76     char uart_outputBuffer[128U] = {};
77     // print header
78     sprintf(uart_outputBuffer, "\n Address | Connection | Rotary Switch |
        Potentiometer | Potentiometer");
79     externalUART_transmitString(uart_outputBuffer);
80     sprintf(uart_outputBuffer, "\n          | State          | Position          | 1
        ADC Value      | 2 ADC Value");
81     externalUART_transmitString(uart_outputBuffer);

```

```

82     sprintf(uart_outputBuffer, "\n
      |-----|-----|-----|
      ");
83     externalUART_transmitString(uart_outputBuffer);
84     // print table content
85     for(uint32_t idx = 0U; idx < slaveDataNumberOfElements; idx += 1U) {
86         // check and handle newly received command from the external
            device
87         if(internalUART_receiveFirst()) // check for new received data
88         {
89             // abort execution
90             if(externalUART_inputData ==
                EXTERNAL_UART_COMMANDMESSAGE_ABORT)
91             {
92                 externalUART_outputAddress =
                    EXTERNAL_UART_ADDRESS_EXTERNAL;
93                 externalUART_outputData =
                    EXTERNAL_UART_COMMANDMESSAGE_ABORT;
94                 externalUART_transmit();
95
96                 return; // exit function
97             }
98             // inform external device that command is being ignored
99             else
100             {
101                 externalUART_outputAddress =
                    EXTERNAL_UART_ADDRESS_EXTERNAL;
102                 externalUART_outputData =
                    EXTERNAL_UART_MESSAGE_COMMAND_IGNORED;
103                 externalUART_transmit();
104             }
105         }
106         else if(!onlyPrintIfSlaveAvailable || slaveData[idx].
            connectionState)
107         {
108             sprintf(uart_outputBuffer, "\n  0b%u%u%u%u | %s %s | %13hu
                | %13hu | %13hu",
109                 (slaveData[idx].address & 8U) ? (1U) : (0U),
110                 (slaveData[idx].address & 4U) ? (1U) : (0U),
111                 (slaveData[idx].address & 2U) ? (1U) : (0U),
112                 (slaveData[idx].address & 1U) ? (1U) : (0U),
113                 (slaveData[idx].connectionProblems) ? ("ERR ") : ("
                    "),
114                 (slaveData[idx].connectionState) ? ((slaveData[idx].
                    connectionStateChanged) ? (" New") : (" C")) : ((
                    slaveData[idx].connectionStateChanged) ?
115                 ("Lost") : (" NC")),
116                 (unsigned short) slaveData[idx].rotarySwitch,
117                 (unsigned short) slaveData[idx].potentiometer1ADC,
118                 (unsigned short) slaveData[idx].potentiometer2ADC);
119             externalUART_transmitString(uart_outputBuffer);

```

```
120         }
121     }
122 }
123
124
125 /*
126  * send all slave addresses to the external device via UART
127  */
128 void showAllAvailableSlaveAddresses(void)
129 {
130     // iterate over all slaves
131     for(uint32_t idx = 0U; idx < slaveDataNumberOfElements; idx += 1U)
132     {
133         // check and handle newly received command from the external
134         // device
135         if(internalUART_receiveFirst()) // check for new received data
136         { // check command
137             // abort execution
138             if(externalUART_inputData ==
139                EXTERNAL_UART_COMMANDMESSAGE_ABORT)
140             {
141                 externalUART_outputAddress =
142                     EXTERNAL_UART_ADDRESS_EXTERNAL;
143                 externalUART_outputData =
144                     EXTERNAL_UART_COMMANDMESSAGE_ABORT;
145                 externalUART_transmit();
146                 break; // exit for loop
147             }
148             // inform external device that command is being ignored
149             else
150             {
151                 externalUART_outputAddress =
152                     EXTERNAL_UART_ADDRESS_EXTERNAL;
153                 externalUART_outputData =
154                     EXTERNAL_UART_MESSAGE_COMMAND_IGNORED;
155                 externalUART_transmit();
156             }
157         }
158         // transmit all known slave addresses
159         else if(slaveData[idx].connectionState)
160         {
161             externalUART_outputAddress =
162                 EXTERNAL_UART_ADDRESS_EXTERNAL;
163             externalUART_outputData = slaveData[idx].address;
164             externalUART_transmit();
165         }
166     }
167 }
```

```
164
165 /**
166  * request information from slave and save it if the slave responds
167  */
168 void slaveDataUpdate(uint8_t *address)
169 {
170     uint32_t commandTryCounter = 0U; // number of times the command has been
           sent
171     uint32_t receivedDataBuffer; // buffer for data from received
           transmissions
172     uint32_t packageCounter; // number of received transmissions from the
           slave
173     uint32_t slaveDataArrayIndex; // index of the slave in the slaveData array
           with the given address
174
175     // search for correct address and save the index
176     for(slaveDataArrayIndex = 0U; slaveDataArrayIndex <
           slaveDataNumberOfElements; slaveDataArrayIndex += 1U)
177     {
178         if(slaveData[slaveDataArrayIndex].address == *address)
179         {
180             break; // exit for loop
181         }
182         // if the slave address was not found in slaveData handle error
183         else if(slaveDataArrayIndex == (slaveDataNumberOfElements - 1U))
184         {
185             // error handler code
186             XMC_DEBUG("\nSlave not found.\n");
187             while(true);
188         }
189     }
190
191     // check command retry count
192     while(commandTryCounter <
           INTERNAL_UART_COMMAND_SEND_ALL_DATA_PACKAGES_MAXIMUM_TRIES)
193     {
194         commandTryCounter += 1U; // increment number of command tries
195         receivedDataBuffer = 0U; // reset received data
196         packageCounter = 0U; // reset number of received data packages
197
198         internalUART_receiveLast(); // clear UART input buffer by reading
           it until it is empty
199
200         internalUART_outputAddress = *address;
201         internalUART_outputData =
           INTERNAL_UART_COMMAND_SEND_ALL_DATA_PACKAGES;
202         internalUART_transmit();
203         oneShotTimerStart(INTERNAL_UART_COMMAND_RESPONSE_TIMEOUT_IN_US,
           false); // start timer for response timeout
204
205         // receive data packages and update slave data array
```

```
206     while(packageCounter < SLAVE_DATA_NUMBER_OF_PACKAGES)
207     {
208         // check and handle newly received command from the slave
209         if(internalUART_receiveFirst()) // check for new received
            data
210         {
211             oneShotTimerElapsed(); // stop timer
212             packageCounter += 1U; // increment data package
                count
213             receivedDataBuffer |= internalUART_inputData &
                INTERNAL_UART_MASK_DATA; // save received data
                to local buffer
214
215             /**
216              * save data and clear receivedDataBuffer
217              * or
218              * shift receivedDataBuffer for the data from the
                next transmission
219              */
220             switch(packageCounter)
221             {
222             case (SLAVE_DATA_NUMBER_OF_BITS_ROTARY_SWITCH /
                INTERNAL_UART_NUMBER_OF_BITS_DATA) :
223
224 SLAVE_DATA_MASK_ROTARY_SWITCH); // save the rotary switch position
225             receivedDataBuffer = 0U; // clear buffer
226             break;
227             case ((SLAVE_DATA_NUMBER_OF_BITS_ROTARY_SWITCH +
                SLAVE_DATA_NUMBER_OF_BITS_POTENTIOMETER_1) /
                INTERNAL_UART_NUMBER_OF_BITS_DATA) :
228
```

```
229 SLAVE_DATA_MASK_POTENTIOMETER_1); // save the potentiometer 1 ADC value
230     receivedDataBuffer = 0U; // clear buffer
231     break;
232     case ((SLAVE_DATA_NUMBER_OF_BITS_ROTARY_SWITCH +
           SLAVE_DATA_NUMBER_OF_BITS_POTENTIOMETER_1 +
           SLAVE_DATA_NUMBER_OF_BITS_POTENTIOMETER_2) /
          INTERNAL_UART_NUMBER_OF_BITS_DATA) :
233
234 SLAVE_DATA_MASK_POTENTIOMETER_2); // save the potentiometer 2 ADC value
235     receivedDataBuffer = 0U; // clear buffer
236     break;
237     default :
238         receivedDataBuffer <<=
                INTERNAL_UART_NUMBER_OF_BITS_DATA; //
                shift bits to make room for the data
                from the next transmission
239         break;
240     }
241
242     // there are still packages left to receive
243     if(packageCounter < SLAVE_DATA_NUMBER_OF_PACKAGES)
244     {
```



```
245         oneShotTimerStart(
                INTERNAL_UART_COMMAND_RESPONSE_TIMEOUT_IN_US
                , false); // start timer for response
                        timeout of a following package
246     }
247     // all packages received
248     else
249     {
250         // wait for any follow-up packages to
                detect a faulty communication
251         oneShotTimerStart(
                INTERNAL_UART_COMMAND_RESPONSE_TIMEOUT_IN_US
                , true); // restart timer for response
                        timeout and wait for it to elapse
252         // if data is available, the communication
                had problems and the received data is
                likely incorrect
253         if(internalUART_receiveLast())
254         {
255             packageCounter += 1U; // increment
                data package count to
                indicate a incorrect amount of
                received packages
256             break; // exit inner while loop
257         }
258         else
259         {
260             commandTryCounter =
                INTERNAL_UART_COMMAND_SEND_ALL_DATA_PACKAGES_MA
                ; // exit outer while loop
                since all packages have been
                received correctly and
                therefore no retry is
261         required
262             }
263         }
264     }
265     // check if INTERNAL_UART_COMMAND_RESPONSE_TIMEOUT_IN_US
        has elapsed since the last data package was received
        from the slave
266     else if(!oneShotTimer.running)
267     {
268         oneShotTimerStart(
                INTERNAL_UART_COMMAND_RESPONSE_TIMEOUT_IN_US,
                true); // start timer for response timeout and
                        wait for it to elapse
269         // The following line is only required if ...
270         // ...at least one transmission has been received
                while waiting for the timeout,
271         // ...no retry will follow and
272         // ...it was the last slave to be contacted.
```

```
273             internalUART_receiveLast(); // clear FIFO input
274                 buffer
275             break; // exit inner while loop
276         }
277     }
278
279     // update connection state
280     // slave responded
281     if(packageCounter > 0U)
282     {
283         // slave responded with the correct number of packages
284         if(packageCounter == SLAVE_DATA_NUMBER_OF_PACKAGES)
285         {
286             slaveData[slaveDataArrayIndex].connectionProblems = false;
287                 // indicate no connection problems
288         }
289         // slave responded with a incorrect number of packages
290         else
291         {
292             slaveData[slaveDataArrayIndex].connectionProblems = true;
293                 // indicate connection problems
294         }
295
296         // update connection state: existing/new connection
297         if(!slaveData[slaveDataArrayIndex].connectionState)
298         {
299             slaveData[slaveDataArrayIndex].connectionState = true; //
300                 indicate connection
301             slaveData[slaveDataArrayIndex].connectionStateChanged =
302                 true; // indicate new connection
303         }
304         else
305         {
306             slaveData[slaveDataArrayIndex].connectionStateChanged =
307                 false; // if slave was connected before, indicate no
308                 change
309         }
310     }
311     // slave did not respond
312     else
313     {
314         slaveData[slaveDataArrayIndex].connectionProblems = false; //
315             indicate no connection problems
316
317         // update connection state: no/lost connection
318         if(slaveData[slaveDataArrayIndex].connectionState)
319         {
320             slaveData[slaveDataArrayIndex].connectionState = false; //
321                 indicate no connection
```

```
314         slaveData[slaveDataArrayIndex].connectionStateChanged =
           true; // indicate lost connection
315     }
316     else
317     {
318         slaveData[slaveDataArrayIndex].connectionStateChanged =
           false; // if slave was not connected before, indicate
           no change
319     }
320 }
321 }
322
323
324
325 /**
326  * update all slave information
327  * check each slave and save the data sent by them unless aborted by the external
           device or slave connection loss
328  */
329 void slaveDataUpdateAll(void)
330 {
331     for(uint8_t idx = 0U; idx < slaveDataNumberOfElements; idx += 1U)
332     {
333         // check and handle newly received command from the external
           device
334         if(externalUART_receiveFirst()) // check for new received data
335         {
336             // abort execution
337             if(externalUART_inputData ==
                 EXTERNAL_UART_COMMANDMESSAGE_ABORT)
338             {
339                 externalUART_outputAddress =
                 EXTERNAL_UART_ADDRESS_EXTERNAL;
340                 externalUART_outputData =
                 EXTERNAL_UART_COMMANDMESSAGE_ABORT;
341                 externalUART_transmit();
342
343                 return; // exit function
344             }
345             // inform external device that command is being ignored
346             else
347             {
348                 externalUART_outputAddress =
                 EXTERNAL_UART_ADDRESS_EXTERNAL;
349                 externalUART_outputData =
                 EXTERNAL_UART_MESSAGE_COMMAND_IGNORED;
350                 externalUART_transmit();
351             }
352         }
353     }
354 }
```

```
355         slaveDataUpdate(&slaveData[idx].address);
356     }
357 }
358 }
359
360
361
362
363 void udp_receive(void *arg, struct udp_pcb *pcb, struct pbuf *p_rx, ip_addr_t *
    addr, u16_t port)
364 {
365
366     DIGITAL_IO_ToggleOutput(&LED1); // Indicates Activity
367
368     uint8_t j;
369
370
371     if (p_rx != NULL) // check if buffer not empty
372     {
373
374         char *recv_data; //
375         received_data string
376         recv_data = (char *)p_rx->payload; // get payload
377         from receive buffer
378
379         char recv_addr[2]; //
380         aux var for received address
381         char recv_cmd[2]; //
382         aux var for received command
383         char recv_sladdr[2]; // aux var for received
384         slave address
385
386         strncpy(recv_addr, recv_data, 2); // get address
387         recv_data += 2; //
388         remove first two characters
389         strncpy(recv_cmd, recv_data, 2); // get command
390         recv_data += 2; //
391         remove first two characters
392         strncpy(recv_sladdr, recv_data, 2);
393
394         char send_data[16]; // string for data to be send //
395         Besser ndern zu char*
396
397         if (strcmp(recv_addr, CELL_ADDR, 2) == 0){
398             // check cell addr
```

```
395         if(strncmp(recv_cmd, CMD_GET_SINGLE_DATA,2)==0){
// cmd: Get data of
// specific cellcontroller
396
397
398         if(strncmp(recv_sladdr, "01",2) == 0){
399             j = 0;
400         }else if(strncmp(recv_sladdr, "02",2) == 0){
401             j = 1;
402         }else if(strncmp(recv_sladdr, "03",2) == 0){
403             j = 2;
404         }else if(strncmp(recv_sladdr, "04",2) == 0){
405             j = 3;
406         }else if(strncmp(recv_sladdr, "05",2) == 0){
407             j = 4;
408         }else if(strncmp(recv_sladdr, "06",2) == 0){
409             j = 5;
410         }else if(strncmp(recv_sladdr, "07",2) == 0){
411             j = 6;
412         }else if(strncmp(recv_sladdr, "08",2) == 0){
413             j = 7;
414         }else if(strncmp(recv_sladdr, "09",2) == 0){
415             j = 8;
416         }else if(strncmp(recv_sladdr, "10",2) == 0){
417             j = 9;
418         }else if(strncmp(recv_sladdr, "11",2) == 0){
419             j = 10;
420         }else if(strncmp(recv_sladdr, "12",2) == 0){
421             j = 11;
422         }
423
424         snprintf(send_data, (sizeof(send_data)+1), "
0101%02X%02X%04X%04X",slaveData[j].address,
slaveData[j].connectionState, slaveData[j].
potentiometer1ADC, slaveData[j].
potentiometer2ADC); //
425 write data string
426         p_tx = pbuf_alloc(PBUF_TRANSPORT, sizeof(send_data
), PBUF_RAM); // allocate transmit
buffer
427         memcpy(p_tx->payload, send_data, sizeof(send_data
)); // copy msg to
buffer
428
429         udp_sendto(pcb_tr, p_tx, &ip_hostpc, REMOTE_PORT);
// send message via udp
430     }
431     else if(strncmp(recv_cmd, CMD_GET_DATA_CONNECTED,2)==0){
// cmd: get data of connected cellcontroller
432
```

```

433
434         for(j = 0U; j < 12U; j += 1U){
435             if(slaveData[j].connectionState == true)
436                 {
437
438                     snprintf(send_data, (sizeof(
                        send_data)+1), "0103%02X%02X
                        %04X%04X",slaveData[j].address
                        , slaveData[j].connectionState
                        , slaveData[j].
                        potentiometer1ADC ,
439 slaveData[j].potentiometer2ADC); // write data string: cell addr 8bit, msg
                        8bit, time 64bit
440
                        p_tx = pbuf_alloc(PBUF_TRANSPORT,
                            sizeof(send_data), PBUF_RAM);
                            // allocate transmit
                            buffer
441 memcpy (p_tx->payload, send_data,
                            sizeof(send_data));
                            // copy msg to
                            buffer
442
                        udp_sendto(pcb_tr, p_tx, &ip_hostpc
                            , REMOIE_PORT);
443
                        pbuf_free(p_tx); // free transmit
                        buffer
444
                        }
445
                        }
446
                        }
447
                        }
448
                        }
449
                        }
450 else if(strncmp(recv_cmd, CMD_GET_ALL_DATA,2)==0){ // cmd
                        : get all data
451
452
453         for(j = 0U; j < 12U; j += 1U){
454             snprintf(send_data, (sizeof(send_data)+1),
                "0103%02X%02X%04X%04X",slaveData[j].
                address, slaveData[j].connectionState,
                slaveData[j].potentiometer1ADC,
                slaveData[j].potentiometer2ADC);
455 // write data string: cell addr 8bit, msg 8bit, time 64bit
456             p_tx = pbuf_alloc(PBUF_TRANSPORT, sizeof(
                send_data), PBUF_RAM); //
                allocate transmit buffer
457             memcpy (p_tx->payload, send_data, sizeof(
                send_data));
                // copy msg to buffer
458

```

```

459         udp_sendto(pcb_tr, p_tx, &ip_hostpc,
460                   REMOTE_PORT);
461
462         pbuf_free(p_tx); // free transmit buffer
463
464     }
465 }
466 else if(strncmp(recv_cmd, CMD_GET_ADDRESS_CONNECTED, 2) == 0)
467 {
468     // cmd: get address of connected cellcontrollers
469
470     for(j = 0U; j < 12U; j += 1U){
471         if(slaveData[j].connectionState == true)
472         {
473             snprintf(send_data, (sizeof(
474                 send_data)+1), "0104%012X",
475                 slaveData[j].address); // write data string: cell addr 8
476                                     bit, msg 8bit, time 64bit
477             p_tx = pbuf_alloc(PBUF_TRANSPORT,
478                             sizeof(send_data), PBUF_RAM);
479                 // allocate transmit
480                 buffer
481             memcpy(p_tx->payload, send_data,
482                 sizeof(send_data));
483                 // copy msg to
484                 buffer
485             udp_sendto(pcb_tr, p_tx, &ip_hostpc,
486                       REMOTE_PORT);
487
488             pbuf_free(p_tx); // free transmit
489                 buffer
490         }
491     }
492 }
493 else{ // return command unknown
494
495     snprintf(send_data, (sizeof(send_data)+1), "
496         UNKNOWN_CMD"); // write data string: cell
497                         addr 8bit, msg 8bit, time 64bit
498     p_tx = pbuf_alloc(PBUF_TRANSPORT, sizeof(send_data)
499                     ), PBUF_RAM); // allocate transmit
500         buffer

```

```

490             memcpy (p_tx->payload, send_data, sizeof(send_data
491                     ));                               // copy msg to
492                     buffer
493
494             udp_sendto(pcb_tr, p_tx, &ip_hostpc, REMOTE_PORT);
495
496         }
497
498         pbuf_free(p_tx);           // Free transmit buffer
499
500     }
501
502     pbuf_free(p_rx);             // Free receive buffer
503
504     DIGITAL_IO_ToggleOutput(&LED1); // Indicates end of activity
505
506 }
507
508
509
510 int main(void)
511 {
512
513
514
515     // variables for initialization of DAVE APPs
516     DAVE_STATUS_t dave_init_status;
517
518     // initialize DAVE APPs
519     dave_init_status = DAVE_Init();
520
521     // check whether initialization of DAVE APPs was successful
522     if(dave_init_status != DAVE_STATUS_SUCCESS)
523     {
524         // error handler code
525         XMC_DEBUG("\nDAVE APPs initialization failed\n");
526         while(true);
527     }
528
529
530     // indicate activity
531     DIGITAL_IO_ToggleOutput(&LED2);
532
533
534     // create a software timer which generates a single callback event after
535     // TRANSCEIVER_STARTUP_TIME_IN_US
536     oneShotTimer.id = SYSTIMER_CreateTimer(TRANSCEIVER_STARTUP_TIME_IN_US,
537     SYSTIMER_MODE_ONE_SHOT, (void*)oneShotTimerElapsed, NULL);

```



```
537 // check whether software timer was created successfully
538 if(oneShotTimer.id == 0U) // error handler code
539 {
540     XMC_DEBUG("\nTimer creation failed\n");
541     while(true);
542 }
543
544
545 // create a software timer which generates a cyclic callback event after
546 // SLAVE_DATA_UPDATE_TIME_IN_US
547 slavDataUpdatePeriodicTimerID = SYSTIMER_CreateTimer(
548     SLAVE_DATA_UPDATE_TIME_IN_US, SYSTIMER_MODE_PERIODIC, (void*)
549     slavDataUpdatePeriodicTimerElapsed, NULL);
550
551 // check whether software timer was created successfully
552 if(slavDataUpdatePeriodicTimerID == 0U) // error handler code
553 {
554     XMC_DEBUG("\nTimer creation failed\n");
555     while(true);
556 }
557
558 // enable transceiver
559 DIGITAL_IO_SetOutputLow(&DO_TransceiverShutDown);
560
561 // start software timer
562 oneShotTimerStart(TRANSCIEVER_STARTUP_TIME_IN_US, false);
563
564 // initialize slave data array while waiting for transceiver to start
565 for(uint32_t idx = 0U, address = INTERNAL_UART_ADDRESS_SLAVE_START; idx <
566     slavDataNumberOfElements; idx += 1U, address += 1U)
567 {
568     slavData[idx].address = (uint8_t) address;
569     slavData[idx].connectionState = false;
570     slavData[idx].connectionStateChanged = false;
571     slavData[idx].rotarySwitch = 0U;
572     slavData[idx].potentiometer1ADC = 0U;
573     slavData[idx].potentiometer2ADC = 0U;
574 }
575
576 // wait for one shot timer to elapse and transceiver is ready
577 while(oneShotTimer.running);
578
579 // clear UART receive FIFO
580 internalUART_receiveLast();
581 externalUART_receiveLast();
582
583 // communicate initialization complete and reading of slave data
584 externalUART_transmitString("\nInitialization complete.\n");
585 externalUART_transmitString("\nReading slave data...");
586
```

```
583 // look for available slaves and get their data and set slaveData[idx].
      connectionStateChanged = false; as this was the first execution
584 slaveDataUpdateAll();
585 for(uint32_t idx = 0; idx < slaveDataNumberOfElements; idx += 1) {
      slaveData[idx].connectionStateChanged = false; }
586
587 // start software timer and check whether software timer start failed
588 if(SYSTIMER_StartTimer(slavDataUpdatePeriodicTimerID) !=
      SYSTIMER_STATUS_SUCCESS) // error handler code
589 {
590     XMC_DEBUG("\nTimer start failed\n");
591     while(true);
592 }
593
594 // send updated slave data to the external device if enabled
595 if(externalUART_autoUpdateSlaveData)
596 {
597     sendSlaveDataString(false);
598 }
599
600 externalUART_transmitString("done.\n");
601 externalUART_transmitString("\nReady.\n");
602
603
604
605 pcb_tr = udp_new(); // create UDP
                        PCB
606 IP4_ADDR(&ip_hostpc, IP_ADDR0_PC,IP_ADDR1_PC,IP_ADDR2_PC,IP_ADDR3_PC); //
      set host pc ip-addr
607 udp_bind(pcb_tr, IP4_ADDR_ANY, LOCAL_PORT); // bind UDP PCB
608 udp_rcv(pcb_tr, udp_receive, NULL);
609
610
611 // indicate activity
612 DIGITAL_IO_ToggleOutput(&LED2);
613
614 // cyclic application code
615 while (true)
616 {
617
618     // indicate activity
619     DIGITAL_IO_ToggleOutput(&LED2);
620
621     // check whether any slave sent something when it wasn't requested
      to ensure a free bus
622     if(internalUART_receiveLast()) // check for new received data
623     {
624
625
```

```
626      /*
627      * This has the potential for an endless waiting loop if a
        slave keeps sending data, but the bus must be free
        as it is only half-duplex.
628      * Sending an abort message probably doesn't work as the
        bus is only half-duplex and the slave might receive
        corrupted data or nothing at all,
629      * since it ignores any data received while transmitting.
630      * Waiting for the communication cycle time could also
        cause an unresponsive user interface.
631      */
632      //oneShotTimerStart(
        INTERNAL_UART_COMMAND_RESPONSE_TIMEOUT_IN_US, true);
        // start timer for response timeout and wait for it to
        elapse

633
634
635    }
636    // check and handle newly received command from the external
        device

637
638    else if(externalUART_receiveFirst()) // check for new received
        data
639    {
640
641        // check target address
642        if(externalUART_inputAddress ==
        EXTERNAL_UART_ADDRESS_MASTER)
643        {
644            // check received command
645            // abort command
646            if(externalUART_inputData ==
        EXTERNAL_UART_COMMANDMESSAGE_ABORT)
647            {
648                externalUART_outputAddress =
        EXTERNAL_UART_ADDRESS_EXTERNAL;
649                externalUART_outputData =
        EXTERNAL_UART_COMMANDMESSAGE_ABORT;
650                externalUART_transmit();
651            }
652            // ping command
653            else if(externalUART_inputData ==
        EXTERNAL_UART_COMMANDMESSAGE_PING)
654            {
655                externalUART_outputAddress =
        EXTERNAL_UART_ADDRESS_EXTERNAL;
656                externalUART_outputData =
        EXTERNAL_UART_COMMANDMESSAGE_PING;
657                externalUART_transmit();
658            }
659            // show addresses of all available slaves
```

```
660     else if (externalUART_inputData ==
661             EXTERNAL_UART_COMMAND_SHOW_ALL_AVAILABLE_SLAVE_ADDRESSES
662             )
663     {
664         externalUART_outputAddress =
665             EXTERNAL_UART_ADDRESS_EXTERNAL;
666         externalUART_outputData =
667             externalUART_inputData;
668         externalUART_transmit(); // echo command
669         slaveDataUpdateAll();
670         showAllAvailableSlaveAddresses();
671     }
672     // show data of all available slaves
673     else if (externalUART_inputData ==
674             EXTERNAL_UART_COMMAND_SHOW_DATA_OF_ALL_AVAILABLE_SLAVES
675             )
676     {
677         externalUART_outputAddress =
678             EXTERNAL_UART_ADDRESS_EXTERNAL;
679         externalUART_outputData =
680             externalUART_inputData;
681         externalUART_transmit(); // echo command
682         slaveDataUpdateAll();
683         sendSlaveDataString(true);
684     }
685     // show data of all slaves
686     else if (externalUART_inputData ==
687             EXTERNAL_UART_COMMAND_SHOW_DATA_OF_ALL_SLAVES)
688     {
689         externalUART_outputAddress =
690             EXTERNAL_UART_ADDRESS_EXTERNAL;
691         externalUART_outputData =
692             externalUART_inputData;
693         externalUART_transmit(); // echo command
694         slaveDataUpdateAll();
695         sendSlaveDataString(false);
696     }
697     // toggle flag that indicates whether all slave
698     // data shall be send to the external device
699     // after it was updated
700     else if (externalUART_inputData ==
701             EXTERNAL_UART_COMMAND_TOGGLE_AUTO_UPDATE_SLAVE_DATA
702             )
703     {
704         externalUART_outputAddress =
705             EXTERNAL_UART_ADDRESS_EXTERNAL;
706         externalUART_outputData =
707             externalUART_inputData;
708         externalUART_transmit(); // echo command
709         externalUART_autoUpdateSlaveData = !
710             externalUART_autoUpdateSlaveData;
```

```
693     }
694     // unknown command
695     else
696     {
697         externalUART_outputAddress =
698             EXTERNAL_UART_ADDRESS_EXTERNAL;
699         externalUART_outputData =
700             EXTERNAL_UART_MESSAGE_UNKNOWN_COMMAND;
701         externalUART_transmit();
702     }
703     else // since the master was not addressed, forward
704         message to internal UART and return answer of slave or
705         timeout message
706     {
707         forwardCommandAndWaitForAnswer();
708     }
709     // if no new data has been received, check whether the user input
710     // changed or the timer for update interval has elapsed and
711     // update the external device (if enabled) and the LCD
712     else
713     {
714         if(slaveDataUpdateFlag)
715         {
716             // if timer for update interval has elapsed update
717             // slave data
718             if(slaveDataUpdateFlag)
719             {
720                 slaveDataUpdateAll(); // get current data
721                 // from all slaves
722                 slaveDataUpdateFlag = false; // reset flag
723                 // send updated slave data to the external
724                 // device if enabled
725                 if(externalUART_autoUpdateSlaveData)
726                 {
727                     sendSlaveDataString(false);
728                 }
729             }
730         }
731         sys_check_timeouts(); // required for UDP
732         // stop indicating activity
733         DIGITAL_IO_ToggleOutput(&LED2);
734     }
```

735

736

737

738

739

740 }

}

}

### A.3.2 Quelltext Matlab

Listing A.27: Quelltext der Matlab Software zur Steuerung des Batteriemodulcontrollers und zur Visualisierung der empfangenen Daten

```
breaklines
1 %%%%%%%%%%%%%%%%%%%%%%%%%%%%%%%%%%%%%%%%%%%%%%%%%%%%%%%%%%%%%%%%%%%%%%%%%%
2 % Author:      Fabian Mahler
3 % Filename:    lwipp_command.m
4 % Date: 30.09.21
5 % Description: This is a code
6 %              to send different
7 %              commands to XMC4700 mu
8 %              and display received
9 %              data
10 %%%%%%%%%%%%%%%%%%%%%%%%%%%%%%%%%%%%%%%%%%%%%%%%%%%%%%%%%%%%%%%%%%%%%%%%%%
11
12
13 clear;
14 close all;
15 clc;
16
17 % clear old connections
18 if(exist('u0', 'var'))
19     flush(u0, 'output');
20     clear u0
21 end
22
23 % obtain network information
24 [~, result] = system('ipconfig')
25
26 transmission_error = 0; % transmission error flag
27
28 % set local host, local port, timeout
29 LocalIP = '192.168.0.5';
30 LocalPort = 45174;
31 % open UDP connection
32 u0 = udpport('IPV4', 'LocalHost', LocalIP, 'LocalPort', LocalPort, 'Timeout', 10);
33 configureTerminator(u0, 0); % set NULL terminator for UDP socket
34 %u0 % uncomment to check settings
35
36 % set remote ip and remote port
37 % change values only in agreement with XMC4700
38 RemoteIP = '192.168.0.10';
39 RemotePort = 45175;
40
41
42 select_cellcontroller = 0; %set default
43 user_input = 0; % set default
44 cyclic_flag = 2; %set default
```

```
45
46
47
48
49 % user input with error handling
50 while user_input < 1 || user_input > 4
51     clc;
52     fprintf("*****\n")
53     ;
54     fprintf("| This program allows you to control the XMC4700 Master Module. |\n")
55     ;
56     fprintf("| You can select a command by typing in a number shown below    |\n")
57     ;
58     fprintf("*****\n\n");
59     fprintf("Available commands:\n");
60     fprintf("1 = get data of one specific controller\n");
61     fprintf("2 = get data of all connected controllers\n");
62     fprintf("3 = get all controller data\n");
63     fprintf("4 = get the addresses of the connected controllers\n");
64
65
66 % selection of command with error handling
67 user_input = input('\nType in one number of above: ');
68
69 if user_input < 1 || user_input > 4
70     clc;
71     fprintf("Your input is exceeding limits , try again\n");
72     pause
73 end
74
75 % select cellcontroller with error handling
76 if user_input == 1
77     while select_cellcontroller < 1 || select_cellcontroller > 12
78         clc;
79         select_cellcontroller = input('Type in the number of the Controller you
80         want to select: ');
81
82         if select_cellcontroller < 1 || select_cellcontroller > 12
83             clc;
84             fprintf("Your input is exceeding limits , try again\n");
85             pause
86         end
87     end
88 end
89
90 % assign user input to string
91 switch select_cellcontroller
92     case 1
93         select_cellcontroller = "01";
```



```

91     case 2
92         select_cellcontroller = "02";
93     case 3
94         select_cellcontroller = "03";
95     case 4
96         select_cellcontroller = "04";
97     case 5
98         select_cellcontroller = "05";
99     case 6
100        select_cellcontroller = "06";
101     case 7
102        select_cellcontroller = "07";
103     case 8
104        select_cellcontroller = "08";
105     case 9
106        select_cellcontroller = "09";
107     case 10
108        select_cellcontroller = "10";
109     case 11
110        select_cellcontroller = "11";
111     case 12
112        select_cellcontroller = "12";
113 end
114
115 % select query mode with error handling
116 while cyclic_flag > 1 || cyclic_flag < 0
117     clc;
118     cyclic_flag = input('Do you want a cyclic query? [y = 1/n = 0]: ');
119
120     if cyclic_flag > 1 || cyclic_flag < 0
121         clc;
122         fprintf("Wrong input, try again");
123         pause
124     end
125 end
126
127
128 % assing and assemble message for mu
129 switch user_input
130     case 1
131         t_str = strcat("0101" , select_cellcontroller , "\0"); % cmd to get data
132             of one specific controller
133     case 2
134         t_str = strcat("0102", "\0"); % cmd get data of all connected controller
135     case 3
136         t_str = strcat("0103" , "\0"); % cmd get all data
137     case 4
138         t_str = strcat("0104" , "\0"); % cmd get address of all cellcontrollers
139             connected
140 end

```

```

140 pause(0.1);
141
142 % write command to mu
143 write(u0, t_str, RemoteIP, RemotePort) % send command
144
145 % print headline for output
146 if user_input == 1 || user_input == 2 || user_input == 3
147     clr;
148     fprintf("Address | Connected | Potentiometer 1 | Potentiometer 2\n")
149     fprintf("-----|-----|-----|-----\n");
150
151
152
153     while 1
154
155
156         % assign received data to array
157         data_recv = char(read(u0,16));
158
159         % mask the data and assign to variable
160         address = hex2dec(data_recv(6));
161         connected = hex2dec(data_recv(8));
162         pot1 = hex2dec(data_recv(9:12));
163         pot2 = hex2dec(data_recv(13:16));
164
165
166
167
168         % formatted output of data
169         fprintf("    %2d |    %d    |    %4d    |    %4d    \n",
170             address, connected, pot1, pot2);
171
172
173         % repeat write while data is available
174         if u0.NumBytesAvailable == 0
175
176             write(u0, t_str, RemoteIP, RemotePort) % send command
177
178         end
179         pause(.18);
180
181
182         % print headline
183         if user_input == 1
184             if cyclic_flag == 0
185                 pause;
186             end
187             clr;
188             fprintf("Address | Connected | Potentiometer 1 | Potentiometer 2\n")
189             fprintf("-----|-----|-----|-----\n");

```

```
190     end
191
192     % print headline
193     if(address == 12)
194         if cyclic_flag == 0
195             pause;
196         end
197         clc;
198         fprintf("Address | Connected | Potentiometer 1 | Potentiometer 2\n")
199         fprintf("-----|-----|-----|-----\n");
200     end
201
202     end
203
204
205 elseif user_input == 4
206
207     % print headline
208     fprintf("Connected Addresses\n")
209     fprintf("-----\n");
210
211
212
213     while 1
214
215         % assign received data to array
216         data_recv = char(read(u0,16));
217
218         % mask the data and assign to variable
219         address = hex2dec(data_recv(15:16));
220
221         % formatted output of received data
222         fprintf("    %2d    \n ", address);
223
224         % repeat write while data is available
225         if u0.NumBytesAvailable == 0
226
227             write(u0, t_str, RemoteIP, RemotePort) % send command
228
229         end
230         pause(.18);
231
232         % print headline
233         if(address == 12)
234             if cyclic_flag == 0
235                 pause;
236             end
237             clc;
238             fprintf("Connected Addresses\n")
239             fprintf("-----\n");
240         end
```

241        *end*  
242 *end*

# Abbildungsverzeichnis

1.1	Inhalte dieser Thesis mit Entwicklungsstand . . . . .	3
2.1	Aufbau Kommunikation der Busteilnehmer mittels Daisy-Chain Topologie [8, S. 3] . . . . .	5
2.2	Aufbau Kommunikation der Busteilnehmer mittels Power-Line-Communication Topologie [8, S. 4] . . . . .	6
2.3	Aufbau Kommunikation der Busteilnehmer mit Hilfe elektromagnetischer Radiowellen [8, S. 5] . . . . .	7
2.4	Aufbau Kommunikation der Busteilnehmer mit Hilfe eines Lichtleitkörpers [8, S. 6] . . . . .	8
2.5	Aufbau des IrDA Protocol Stack, modifiziert nach: [12, S. 21] . . . . .	10
2.6	Funktionsweise des IrLAP [12, S. 21] . . . . .	11
2.7	Infrarot Transceiver-Modul TFDU 4101 von Vishay Semiconductors [7] . . . . .	13
2.8	Mikrocontroller Infineon XMC 2Go [5] . . . . .	14
2.9	Mikrocontroller Infineon XMC4700 Relax Kit [6] . . . . .	14
2.10	Batteriezellencontroller für den Funktionsdemonstrator. 1 Zeigt die Be- dientelemente zur Simulation von Sensorwerten, 2 zeigt den IrDA-Transceiver, 3 zeigt den Mikrocontroller . . . . .	15
2.11	Überwachungsmodul als Schnittstelle für den Mastercontroller . . . . .	16
2.12	Lichtleitkörper als Datenbus, der dargestellte Lichtleitkörper basiert auf Basis von Reflexbohrungen . . . . .	17
2.13	Lichtleitkörper auf der Basis von ausgerichteten Reflektorflächen . . . . .	17
3.1	Signalverlauf einer ein Byte großen Präambel eines Datenpakets zum Ein- synchronisieren des Datenempfängers . . . . .	21
3.2	Schematische Darstellung der Kalibrierung des internen Takts MCLK mit Hilfe einer externen Taktquelle REFCLK [3, S. 3] . . . . .	23
3.3	Paketaufbau und Signalverlauf der UART-Übertragung in Anlehnung an eine IrDA-SIR-Spezifikation nach Jonas Ernsting [8, S. 20] . . . . .	24

3.4	Paketaufbau einer Datenübertragung nach Nico Sassano [10, S. 38] . . . . .	25
3.5	Header einer Uplink-Übertragung nach Nico Sassano [10, S. 39] . . . . .	25
3.6	Header einer Downlink-Übertragung nach Nico Sassano [10, S. 39] . . . . .	25
3.7	Tabellarische Darstellung ausgewählter Sensoren zur Abschätzung des Over- heads des adaptierten Übertragungsprotokolls [1]. . . . .	27
3.8	Paketaufbau des adaptierten Übertragungsprotokolls . . . . .	29
3.9	Header einer Uplink-Datenübertragung des adaptierten Übertragungspro- tokolls . . . . .	29
3.10	Header einer Downlink-Datenübertragung des adaptierten Übertragungs- protokolls . . . . .	29
3.11	Schematischer Aufbau des Funktionsdemonstrators mit Anordnung der Komponenten . . . . .	32
3.12	3D-Ansicht der Installationshilfe für die Batteriezellencontroller . . . . .	33
3.13	3D-Ansicht der Installationshilfe für das Überwachungsmodul des Batterie- modulcontrollers . . . . .	34
4.1	Zugeschnittene Holzplatte mit angebrachter Installationshilfe für die Batteriezellencontroller des Überwachungsmoduls und Bohrungen für die USB-Leitungen . . . . .	35
4.2	Fertiggestellter Aufbau des Funktionsdemonstrators . . . . .	36
4.3	Vereinfachtes Flussdiagramm des Hauptprogrammablaufs im Überwachungs- modul als Master, Teil 1 [8, S. 92] . . . . .	39
4.4	Vereinfachtes Flussdiagramm des Hauptprogrammablaufs im Überwachungs- modul als Master, Teil 2. Auf der rechten Seite, mit den roten Zahlen 1 und 2 gekennzeichnet, befindet sich der Einschub für die Erweiterung der UDP-Funktionalität, modifiziert nach [8, S. 93] . . . . .	40
4.5	Vereinfachtes Flussdiagramm des Hauptprogrammablaufs im Überwachungs- modul als Master, Teil 3 mit Erweiterung um eine UDP-Schnittstelle. Die Rote 1 markiert den Beginn der Programmsequenz, die Rote 2 markiert das Ende der Programmsequenz mit Rückkehr zum Programmablauf in Abbildung4.4. Die Abkürzung BMC steht für Batteriemodulcontroller, die Abkürzung BZC steht für Batteriezellencontroller . . . . .	41
4.6	Vereinfachtes Flussdiagramm der PC Software zur Visualisierung und Steue- rung des Batteriemodulcontrollers . . . . .	44

A.1 Konfiguration der DAVE-APP ETH_LWIP mit dem Namen ETH_LWIP_0 .....	60
--	----

# Tabellenverzeichnis

2.1	Übersicht: Übertragungsraten im IrDA-Physical-Layer mit Modulation und Codierung . . . . .	11
3.1	Darstellung der Adressierung der einzelnen Module mit entsprechender binärer Codierung . . . . .	19
3.2	Zusammenfassung des Fast-Internal-Clock Parameter [4, S. 82] . . . . .	22
3.3	Zusammenfassung des Slow-Internal-Clock Parameter [4, S. 83] . . . . .	22
4.1	Übersicht der implementierten Befehle, die von einem externen Computeran den Batteriemodulcontroller gesendet werden können . . . . .	38
A.1	Konfiguration der DAVE-APP INTERRUPT mit dem Namen INTERRUPT_0 . . . . .	58
A.2	Konfiguration der DAVE-APP TIMER mit dem Namen TIMER_0 . . . . .	59



# Listings

A.1 Quelltext zum lesen der ersten Daten aus dem UART-Eingangspuffer um die Adresse und die ersten Daten zu extrahieren und zu speichern . . . . .	61
A.2 Headerfile mit Prototyp für das Listing A.1 . . . . .	62
A.3 Quelltext zum lesen der letzten Daten aus dem UART-Eingangspuffer . .	63
A.4 Headerfile mit Prototyp für das Listing A.3 . . . . .	64
A.5 Quelltext zum Übergeben eines Symbols mittels UART . . . . .	65
A.6 Headerfile mit Prototyp für das Listing A.5 . . . . .	66
A.7 Quelltext zum Übergeben eines String mittels UART . . . . .	67
A.8 Headerfile mit Prototyp für das Listing A.7 . . . . .	68
A.9 Quelltext zum Senden einer Nachricht vom externen Gerät über externen UART an die Batteriezellencontroller mittels internen UART und Rückgabe der ersten Antwort . . . . .	69
A.10 Headerfile mit Prototyp für das Listing A.9 . . . . .	71
A.11 Quelltext zum lesen der ersten Daten aus dem internen UART-Eingangspuffer um die Adresse und die ersten Daten zu extrahieren und zu speichern . . .	72
A.12 Headerfile mit Prototyp für das Listing A.11 . . . . .	73
A.13 Quelltext zum lesen der letzten Daten aus dem internen UART-Eingangspuffer um die Adresse und die ersten Daten zu extrahieren und zu speichern . . .	74
A.14 Headerfile mit Prototyp für das Listing A.13 . . . . .	75
A.15 Quelltext zum Übertragen eines Symbols mittels der internen UART-Schnittstelle . . . . .	76
A.16 Headerfile mit Prototyp für das Listing A.15 . . . . .	77
A.17 Quelltext für Callback-Funktion des One Shot Timers . . . . .	78
A.18 Headerfile mit Prototyp für das Listing A.17 . . . . .	79
A.19 Quelltext für Start und Restart des One Shot Timers . . . . .	80
A.20 Headerfile mit Prototyp für das Listing A.19 . . . . .	81
A.21 Quelltext für Callback-Funktion des periodischen Timers . . . . .	82
A.22 Headerfile mit Prototyp für das Listing A.21 . . . . .	83

A.23 Quelltext für Handler des Timers0 . . . . .	84
A.24 Headerfile mit Prototyp für das Listing A.23 . . . . .	85
A.25 Headerfile für die globalen Variablen . . . . .	86
A.26 Quelltext main() Funktion mit udp Funktion . . . . .	91
A.27 Quelltext der Matlab Software zur Steuerung des Batteriemodulcontrollers und zur Visualisierung der empfangenen Daten . . . . .	112

## **Erklärung zur selbstständigen Bearbeitung einer Abschlussarbeit**

Hiermit versichere ich, dass ich die vorliegende Arbeit ohne fremde Hilfe selbständig verfasst und nur die angegebenen Hilfsmittel benutzt habe. Wörtlich oder dem Sinn nach aus anderen Werken entnommene Stellen sind unter Angabe der Quellen kenntlich gemacht.

---

Ort

Datum

Unterschrift im Original